

# Основные формулы ОТО

А.С.Цветков

2010 г.

## 1 Принцип относительности

### 1.1 Интервал

$$s_{12} = \sqrt{c^2(t_2 - t_1)^2 - (x_2 - x_1)^2 - (y_2 - y_1)^2 - (z_2 - z_1)^2}$$

$$ds^2 = c^2 dt^2 - dx^2 - dy^2 - dz^2 \quad (1)$$

### 1.2 Времениподобные и пространственноподобные интервалы

$$t_{12} \equiv t_2 - t_1, \quad l_{12}^2 = (x_2 - x_1)^2 + (y_2 - y_1)^2 + (z_2 - z_1)^2$$

В одной системе

$$s_{12}^2 = c^2 t_{12}^2 - l_{12}^2,$$

во второй системе

$$s'_{12}^2 = c^2 t'_{12}^2 - l'^2_{12}.$$

Система, в которой события произошли в одной точке  $t'_{12} = 0$

$$s_{12}^2 = c^2 t_{12}^2 - l_{12}^2 = c^2 t'_{12}^2 > 0,$$

связаны *времениподобным* интервалом ( $l_{12} < ct_{12}$ ).

$$t'_{12} = \frac{1}{c} \sqrt{c^2 t_{12}^2 - l_{12}^2} = \frac{s_{12}}{c}$$

Система, в которой события произошли в одно время  $t'_{12} = 0$

$$s_{12}^2 = c^2 t_{12}^2 - l_{12}^2 = -l'^2_{12} < 0,$$

связаны *пространственноподобным* интервалом ( $l_{12} > ct_{12}$ ).

$$l'_{12} = \sqrt{l_{12}^2 - c^2 t_{12}^2} = i s_{12}$$

### 1.3 Собственное время

$$\underbrace{dt'}_{\text{собств.}} = \underbrace{dt}_{\text{набл.}} \sqrt{1 - \frac{dl^2}{c^2 dt^2}} = dt \sqrt{1 - \frac{v^2}{c^2}}$$

## 2 Преобразования Лоренца

### 2.1 Поворот в псевдопространстве

Преобразование, сохраняющее интервал – поворот в четырехмерном псевдопространстве.

$$x = x' \operatorname{ch} \psi + ct' \operatorname{sh} \psi \quad (2)$$

$$ct = x' \operatorname{sh} \psi + ct' \operatorname{ch} \psi \quad (3)$$

$$\operatorname{th} \psi = V/c$$

$$\operatorname{sh} \psi = \frac{V/c}{\sqrt{1 - V^2/c^2}}, \quad \operatorname{ch} \psi = \frac{1}{\sqrt{1 - V^2/c^2}}$$

$$x = \frac{x' + Vt'}{\sqrt{1 - V^2/c^2}}, \quad y = y', \quad z = z', \quad t = \frac{t' + (V/c^2)x'}{\sqrt{1 - V^2/c^2}} \quad (4)$$

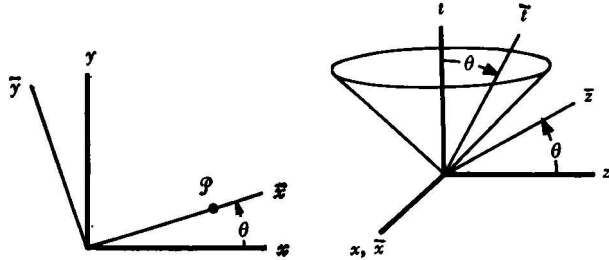


Рис. 1: Поворот в евклидовом и псевдоевклидовом пространствах

### 2.2 Собственная длина

$$\underbrace{l}_{\text{набл.}} = \underbrace{l_0}_{\text{собств.}} \sqrt{1 - V^2/c^2} \quad (5)$$

### 2.3 Преобразование скорости

Введем обозначения

$$\mathbf{v} = \frac{\mathbf{r}}{dt}, \quad \mathbf{v}' = \frac{\mathbf{r}'}{dt}$$

Находим

$$v_x = \frac{v'_x + V}{1 + v'_x V/c^2}, \quad v_y = \frac{v'_y \sqrt{1 - V^2/c^2}}{1 + v'_x V/c^2}, \quad v_z = \frac{v'_z \sqrt{1 - V^2/c^2}}{1 + v'_x V/c^2} \quad (6)$$

В частном случае

$$v = \frac{v' + V}{1 + v' V/c^2} \quad (7)$$

### 2.4 Аберрация

Пусть скорость частицы лежит в плоскости  $xy$ . Тогда в системе  $K$  скорость частицы имеет компоненты

$$v_x = v \cos \theta, \quad v_y = v \sin \theta,$$

а в системе  $K'$

$$v'_x = v' \cos \theta', \quad v'_y = v' \sin \theta'.$$

С помощью (6) находим:

$$\tan \theta = \frac{v' \sqrt{1 - V^2/c^2} \sin \theta'}{v' \cos \theta' + V}. \quad (8)$$

Частный случай  $v = v' = c$

$$\tan \theta = \frac{\sqrt{1 - V^2/c^2}}{\cos \theta' + V/c} \sin \theta'. \quad (9)$$

$$\sin \theta = \frac{\sqrt{1 - V^2/c^2}}{1 + (V/c) \cos \theta'} \sin \theta', \quad \cos \theta = \frac{\cos \theta' + V/c}{1 + (V/c) \cos \theta'}. \quad (10)$$

В случае  $V \ll c$  с точностью до членов порядка  $V/c$

$$\sin \theta - \sin \theta' = -\frac{V}{c} \sin \theta' \cos \theta'.$$

С той же точностью

$$\Delta \theta = \theta' - \theta = \frac{V}{c} \sin \theta'. \quad (11)$$

### 3 Четырехмерные векторы

#### 3.1 Определение

$$x^0 = ct, \quad x^1 = x, \quad x^2 = y, \quad x^3 = z.$$

*Четырехмерный вектор (4-вектор)* – совокупность четырех величин  $A^0, A^1, A^2, A^3$ , которые преобразуются при преобразовании как компоненты 4-радиус вектора

$$A^0 = \frac{A'^0 + (V/c)A'^1}{\sqrt{1 - V^2/c^2}}, \quad A^1 = \frac{A'^1 + (V/c)A'^0}{\sqrt{1 - V^2/c^2}}, \quad A^2 = A'^2, \quad A^3 = A'^3. \quad (12)$$

Квадрат величины 4-вектора определяется:

$$(A^0)^2 - (A^1)^2 - (A^2)^2 - (A^3)^2$$

#### 3.2 Два вида координат

Два «сорта» координат

$$A_0 = A^0, \quad A_1 = -A^1, \quad A_2 = -A^2, \quad A_3 = -A^3. \quad (13)$$

$A^i$  – **контравариантные** компоненты,  $A_i$  – **ковариантные** компоненты.

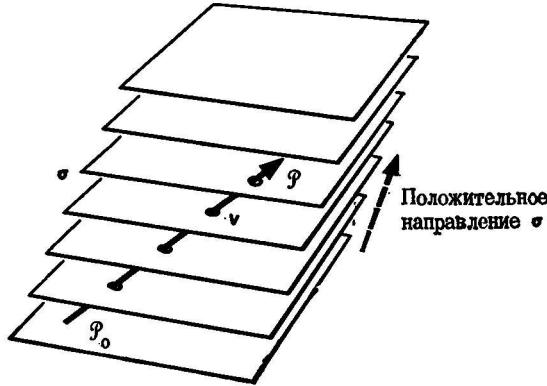


Рис. 2: Геометрическая интерпретация контравариантного (дифференциальной 1-формы) и ковариантного вектора и их произведения

Суммирование по *немым индексам*:

$$A^i A_i \equiv \sum_{i=0}^2 A^i A_i = A^0 A_0 + A^1 A_1 + A^2 A_2 + A^3 A_3.$$

Скалярное произведение

$$A^i B_i = A^0 B_0 + A^1 B_1 + A^2 B_2 + A^3 B_3.$$

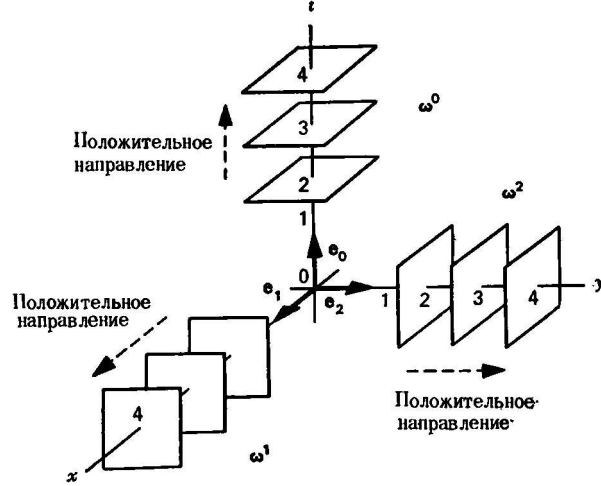


Рис. 3: Геометрическая интерпретация ковариантного и контравариантного базиса

### 3.3 Четырехмерные тензоры

4-тензор 2-го ранга – совокупность 16 величин  $A^{ik}$ , которые при преобразовании координат изменяются как произведения компонент двух 4-векторов. Надо различать контравариантные  $A^{ik}$ , ковариантные  $A_{ik}$  и смешанные  $A_k^i$  компоненты (в последнем случае также  $A_k^i$  и  $A_i^k$ ). Поднятие и опускание временного индекса (0) не меняет знак компоненты, а пространственного (1, 2, 3) меняет.

$$\begin{aligned} A_{00} &= A^{00}, & A_{01} &= -A^{01}, & A_{11} &= A^{11}, & \dots, \\ A_0^0 &= A^{00}, & A_0^1 &= A^{01}, & A_1^0 &= -A^{01}, & \dots \end{aligned}$$

Симметричный тензор  $A^{ik} = A^{ki}$ , антисимметричный тензор  $A^{ik} = -A^{ki}$ . У симметричного тензора все смешанные компоненты совпадают  $A_k^i$ . У антисимметричного тензора все диагональные компоненты равны 0.

### 3.4 След тензора

$$A_i^i = A_0^0 + A_1^1 + A_2^2 + A_3^3$$

– свертывание или упрощение тензора.

### 3.5 Единичный тензор

$$\delta_i^k A^i = A^k \quad (14)$$

$$\delta_i^k = \begin{cases} 1, & i = k \\ 0, & i \neq k \end{cases} \quad (15)$$

### 3.6 Метрический тензор

$$g^{ik} = g_{ik} = \begin{bmatrix} 1 & 0 & 0 & 0 \\ 0 & -1 & 0 & 0 \\ 0 & 0 & -1 & 0 \\ 0 & 0 & 0 & -1 \end{bmatrix} \quad (16)$$

Метрический тензор можно использовать для «поднятия» и «опускания» значков:

$$g_{ik} A^k = A_i, \quad g^{ik} A_k = A^i. \quad (17)$$

Скалярное произведение можно записать в виде

$$A^i A_i = g_{ik} A^i A^k = g^{ik} A_i A_k \quad (18)$$

### 3.7 Единичный антисимметричный тензор 4-го ранга (тензор Леви-Чевиты)

$e^{iklm}$  – при перестановке любых двух индексов меняет знак. Отличные от нуля компоненты  $\pm 1$ . Если хотя бы два индекса совпадают, то компоненты равна 0.

$$e^{0123} = +1 \quad (19)$$

$$e^{0123} e_{0123} = -24 \quad (20)$$

$e^{iklm}$  – псевдотензор. Псевдотензоры ведут себя, как тензоры при поворотах СК, но не при отражениях.

Если  $A^{ik}$  – антисимметричный тензор, то тензор  $A^{ik}$  и псевдотензор

$$A^{*ik} = 1/2 e^{iklm} A_{lm}$$

называются *дуальными* друг другу.

Аналогично  $e^{iklm} A_m$  – антисимметричный псевдотензор 3-го ранга дуальный вектору  $A^i$ .

*Полярные* векторы при отражении СК меняют знаки компонент. Векторное произведение не меняет – это *аксиальный* вектор. Скалярное произведение полярного и аксиального вектора является псевдоскаляром. Аксиальный вектор – псевдовектор, дуальный антисимметричному тензору:

$$C_\alpha = \frac{1}{2} e_{\alpha\beta\gamma} C_{\beta\gamma}, \quad C_{\beta\gamma} = A_\beta B_\gamma - A_\gamma B_\beta.$$

Компоненты антисимметричного 4-тензора можно представить в виде таблицы:

$$A^{ik} = \begin{bmatrix} 0 & p_x & p_y & p_z \\ -p_x & 0 & -a_z & a_y \\ -p_y & a_z & 0 & -a_x \\ -p_z & -a_y & a_x & 0 \end{bmatrix} \quad (21)$$

Можно записать  $A^{ik} = (\mathbf{p}, \mathbf{a})$  и  $A^{ik} = (-\mathbf{p}, \mathbf{a})$

### 3.8 Дифференциальные и интегральные операции

#### 3.8.1 Дифференциальные операции

4-градиент скаляра есть 4-вектор

$$\frac{\partial \varphi}{\partial x^i} = \left( \frac{1}{c} \frac{\partial \varphi}{\partial t}, \nabla \varphi \right).$$

Вообще операторы дифференцирования по координатам  $x^i \frac{\partial}{\partial x^i}$  должны рассматриваться как ковариантные компоненты операторного 4-вектора. Иногда пишут  $\partial_i = \frac{\partial}{\partial x^i}$  или  $\varphi_{,i} = \frac{\partial \varphi}{\partial x^i}$

#### 3.8.2 Интегральные операции

1. Интеграл по кривой в 4-пространстве. Эл-т интегрирования 4-вектор.
2. Интеграл по двумерной поверхности в 4-пространстве. Эл-т интегрирования параллелограмм, построенный на двух векторах  $d\mathbf{r}$  и  $d\mathbf{r}'$ , его эл-т определяется  $df^{ik} = dx^i dx'^k - dx^k dx'^i$ . Вектора, нормального к «поверхности», построить нельзя, но можно построить дуальный тензор

$$df^{*ik} = \frac{1}{2} e^{iklm} df_{lm}.$$

3. Интеграл по гиперповерхности. Эл-т интегрирования – параллелепипед на трех 4-векторах  $dx^i, dx'^i, dx''^i$ :

$$dS^{ikl} = \begin{vmatrix} dx^i & dx'^i & dx''^i \\ dx^k & dx'^k & dx''^k \\ dx^l & dx'^l & dx''^l \end{vmatrix}$$

Можно использовать 4-вектор  $dS^i$ , дуальным тензору  $dS^{ikl}$

$$dS^i = -\frac{1}{6} e^{iklm} dS_{ikl}, \quad dS_{ikl} = e_{iklm} dS^i.$$

При этом  $dS^0 = dS^{123}, \quad dS^1 = dS^{023}, \dots$

4. Интеграл по четырехмерному объему по  $d\Omega = dx^0 dx^1 dx^2 dx^3 = c dt dV$

Обобщение теоремы Гаусса

$$\oint A^i dS_i = \int \frac{\partial A^i}{\partial x^i} d\Omega. \quad (22)$$

Обобщение теоремы Стокса

$$\oint A_i dx^i = \int df^{ki} \frac{\partial A_i}{\partial x^k} = \frac{1}{2} \int df^{ki} \left( \frac{\partial A_k}{\partial x^i} - \frac{\partial A_i}{\partial x^k} \right). \quad (23)$$

## 4 4-скорость

$$u^i = \frac{dx^i}{ds} \quad (24)$$

$$ds = c dt \sqrt{1 - v^2/c^2}$$

$$u^i = \left( \frac{1}{\sqrt{1 - v^2/c^2}}, \frac{\mathbf{v}}{c\sqrt{1 - v^2/c^2}} \right) \quad (25)$$

4-скорость есть величина безразмерная, геометрически – 4-вектор касательной к мировой линии частицы. Ее компоненты не независимы:

$$u^i u_i = 1 \quad (26)$$

4-ускорение

$$w^i = \frac{d^2 x^i}{ds^2} = \frac{du^i}{ds} \quad (27)$$

Дифференцируя соотношение (26) находим что векторы 4-скорости и 4-ускорения ортогональны:

$$u^i w_i = 0 \quad (28)$$

## 5 Принцип наименьшего действия

Действие для свободной частицы

$$S = -\alpha \int_a^b ds$$

Действие в виде интеграла по времени

$$S = \int_{t_1}^{t_2} L dt$$

$L$  – функция Лагранжа для механической системы. С помощью  $\frac{ds}{c} = dt\sqrt{1 - \frac{v^2}{c^2}}$  находим

$$S = - \int_{t_1}^{t_2} \alpha c \sqrt{1 - \frac{v^2}{c^2}} dt, \quad L = -\alpha c \sqrt{1 - \frac{v^2}{c^2}}$$

При  $c \rightarrow \infty$   $L \rightarrow \frac{mv^2}{2}$

$$L = -\alpha c \sqrt{1 - \frac{v^2}{c^2}} \approx -\alpha c + \frac{\alpha v^2}{2c}$$

Сравнив с классическим выражением  $L = mv^2/2$ , находим  $\alpha = mc$ . Таким образом действие для свободной материальной точки равно

$$S = -mc \int_a^b ds, \quad (29)$$

а функция Лагранжа

$$L = -mc^2 \sqrt{1 - \frac{v^2}{c^2}}. \quad (30)$$

## 6 Энергия и импульс

### 6.1 Импульс частицы

$\mathbf{p} = \partial L / \partial \mathbf{v}$  С помощью (30) находим

$$\mathbf{p} = \frac{m\mathbf{v}}{\sqrt{1 - v^2/c^2}} \quad (31)$$

Сила, направленная перпендикулярно скорости:

$$\frac{d\mathbf{p}}{dt} = \frac{m}{\sqrt{1 - v^2/c^2}} \frac{d\mathbf{v}}{dt} \quad (32)$$

Сила направлена вдоль скорости:

$$\frac{d\mathbf{p}}{dt} = \frac{m}{(1 - v^2/c^2)^{3/2}} \frac{d\mathbf{v}}{dt} \quad (33)$$

### 6.2 Энергия частицы

$$\mathcal{E} = \mathbf{p}\mathbf{v} - L.$$

Подставляя сюда (30) и (31) получим:

$$\mathcal{E} = \frac{mc^2}{\sqrt{1 - v^2/c^2}}. \quad (34)$$

Энергия  $\neq 0$  при  $v = 0$ !

$$\mathcal{E}_0 = mc^2. \quad (35)$$

При  $v \ll c$ , разлагая в ряд (34):

$$\mathcal{E} \approx mc^2 + \frac{mv^2}{2}.$$

Масса сложного тела не равна сумме масс, необходимо учитывать взаимное движение его частиц. Имеет место только закон сохранения энергии.

Возведя (31) и (34) в квадрат и сравнивая их найдем

$$\frac{\mathcal{E}^2}{c^2} = p^2 + m^2 c^2. \quad (36)$$

Энергия, выраженная через импульс, называется функцией Гамильтона:

$$\mathcal{H} = c\sqrt{p^2 + m^2 c^2}. \quad (37)$$

При  $v \ll c$

$$\mathcal{H} \approx mc^2 + \frac{p^2}{2m}.$$

Из (31) и (34) следует

$$\mathbf{p} = \frac{\mathcal{E}\mathbf{v}}{c^2} \quad (38)$$

для частиц с  $m \neq 0$ . Для фотонов ( $m = 0$ ) и приближенно для *ультрапрелистических* частиц имеем

$$p = \frac{\mathcal{E}}{c} \quad (39)$$

### 6.3 Четырехмерные формулы для энергии и импульса

$$\delta S = mc \delta \int_a^b ds = 0.$$

Замечая, что  $ds = \sqrt{dx_i dx^i}$  и поэтому

$$\delta S = -mc \int_a^b \frac{dx_i \delta x^i}{ds} = -mc \int_a^b u_i d\delta x^i.$$

Интегрируя по частям, находим

$$\delta S = -mc u_i \delta x^i|_a^b + mc \int_a^b \delta x^i \frac{du_i}{ds} ds. \quad (40)$$

На пределах  $(\delta x^i)_a = (\delta x^i)_b = 0$ . Истинная траектория определяется из условия  $\delta S = 0$ . Из (40) получаем  $du_i/ds = 0$  – постоянство скорости свободной частицы в четырехмерном виде.

Вариация как функция от координат. Считаем заданной только одну точку  $(\delta x^i)_a = 0$

$$\delta S = -mcu_i dx^i. \quad (41)$$

4-импульс

$$p_i = -\frac{\partial S}{\partial x^i}. \quad (42)$$

$$p_i = \left( \frac{\mathcal{E}}{c}, -\mathbf{p} \right), \quad p^i = \left( \frac{\mathcal{E}}{c}, \mathbf{p} \right) \quad (43)$$

Из (41) видно

$$p^i = mcu^i. \quad (44)$$

Подставив сюда компоненты 4-скорости из (25) получим выражения (31) и (34). Из определения 4-импульса (44) и тождества  $u^i u_i = 1$  имеем

$$p^i p_i = m^2 c^2 \quad (45)$$

#### 6.4 4-сила

$$g^i = \frac{dp^i}{ds} = mc \frac{du^i}{ds} \quad (46)$$

Компоненты удовлетворяют тождеству  $g_i u^i = 0$  и выражаются через обычный 3-мерный вектор  $\mathbf{f} = d\mathbf{p}/dt$ :

$$g^i = \left( \frac{\mathbf{f}\mathbf{v}}{c^2 \sqrt{1 - v^2/c^2}}, \frac{\mathbf{f}}{c \sqrt{1 - v^2/c^2}} \right) \quad (47)$$

Временная компонента связана с работой силы.

### 7 Гравитационное поле в классической механике

Функция Лагранжа

$$L = \frac{mv^2}{2} - m\varphi, \quad (48)$$

где  $\varphi$  – гравитационный потенциал. Уравнения движения

$$\dot{\mathbf{v}} = -\text{grad } \varphi. \quad (49)$$

## 8 Гравитационное поле в релятивистской механике

В ИСО интервал

$$ds^2 = c^2 dt^2 - dx^2 - dy^2 - dz^2$$

В неинерциальной системе  $ds^2$  не будет суммой квадратов дифференциалов четырех координат! А будет некоторой квадратичной формой общего вида:

$$ds^2 = g_{ik} dx^i dx^k, \quad (50)$$

где  $g_{ik}$  – некоторые функции  $x^i$ . Четырехмерная СК  $x^0, x^1, x^2, x^3$ , является, таким образом, при пользовании не ИСО криволинейной. Величины  $g_{ik}$  устанавливают *метрику* пространства-времени. Очевидно  $g_{ik} = g_{ki}$  – всего 10 независимых величин.

Если

$$g_{00} = 1, \quad g_{11} = g_{22} = g_{33} = -1, \quad g_{ik} = 0, \quad i \neq k, \quad (51)$$

то будем называть такую СК *галилеевой*.

- Гравитационное поле – изменение метрики пространства времени  $g_{ik}$ .
- В не ИСО  $g_{ik}$  получаются преобразованием координат, обратным преобразованием можно привести *во всем пространстве* к галилееву виду.
- В истинном гравитационном поле этого сделать нельзя, однако в любой точке  $g_{ik}$  можно привести к диагональному виду.

Всегда будет

$$g = |g_{ik}| < 0 \quad (52)$$

Изменение метрики пространства-времени означает также изменение и чисто пространственной метрики. В общем случае метрика не только неевклидова, но еще и меняется со временем. Само понятие СО нуждается в пересмотре.

## 9 Криволинейные координаты

Рассмотрим преобразование одной СК  $x^0, x^1, x^2, x^3$  в другую  $x'^0, x'^1, x'^2, x'^3$

$$x^i = f^i(x'^0, x'^1, x'^2, x'^3)$$

При преобразовании координат их дифференциалы преобразуются

$$dx^i = \frac{\partial x^i}{\partial x'^k} dx'^k \quad (53)$$

*Контравариантный 4-вектор* – совокупность 4 величин  $A^i$ , которые преобразуются как их дифференциалы координат:

$$A^i = \frac{\partial x^i}{\partial x'^k} A'^k \quad (54)$$

Пусть  $\varphi$  – скаляр, производные преобразуются согласно

$$\frac{\partial \varphi}{\partial x^i} = \frac{\partial \varphi}{\partial x'^k} \frac{\partial x'^k}{\partial x^i} \quad (55)$$

*Ковариантный 4-вектор* – совокупность 4 величин  $A_i$ , которые преобразуются как производные от скаляра.

$$A_i = \frac{\partial x'^k}{\partial x^i} A'_k \quad (56)$$

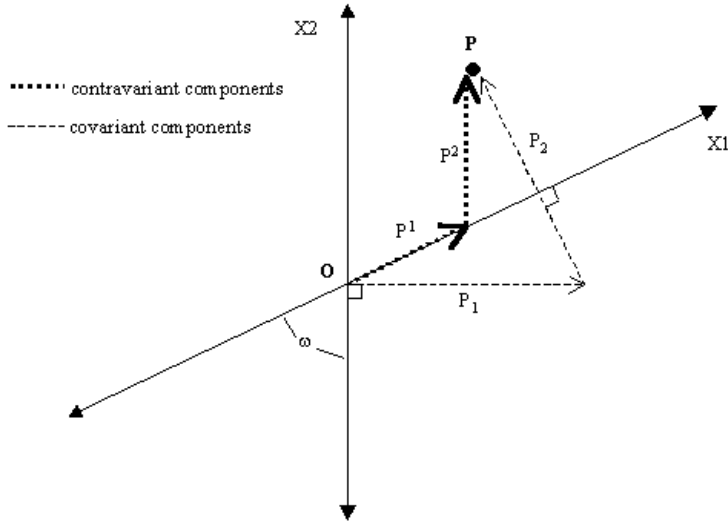


Рис. 4: Геометрическое представление контра- и ковариантных координат в косоугольной СК

*Контравариантный тензор*

$$A^{ik} = \frac{\partial x^i}{\partial x'^l} \frac{\partial x^k}{\partial x'^m} A'^{lm}. \quad (57)$$

*Ковариантный тензор*

$$A_{ik} = \frac{\partial x'^l}{\partial x^i} \frac{\partial x'^m}{\partial x^k} A'_{lm}. \quad (58)$$

*Смешанный тензор*

$$A_k^i = \frac{\partial x^i}{\partial x'^l} \frac{\partial x'^m}{\partial x^k} A'_{lm}. \quad (59)$$

Дифференциалы координат  $dx^i$  составляют контравариантный вектор, а производные  $\partial\varphi/\partial x^i$  – ковариантный 4-вектор.

Скалярное произведение инвариантно:

$$A^i B_i = \frac{\partial x^i}{\partial x'^l} \frac{\partial x'^m}{\partial x^i} A'^l B'_m = \frac{\partial x'^m}{\partial x'^l} A'^l B'_m = A'^l B'_l$$

Квадрат элемента длины в криволинейных координатах:

$$ds^2 = g_{ik} dx^i dx^k \quad (60)$$

*Метрический тензор*

$$g_{ik} = g_{ki} \quad (61)$$

Обратные друг другу тензоры

$$A_{ik} B^{kl} = \delta_i^l \quad (62)$$

Контравариантный метрический тензор – обратный к ковариантному

$$g_{ik} g^{kl} = \delta_i^l \quad (63)$$

Связь между контра- и ковариантными компонентами:

$$A^i = g^{ik} A_k, \quad A_i = g_{ik} A^k \quad (64)$$

В галилеевой СК

$$g_{ik}^{(0)} = g^{ik(0)} = \begin{pmatrix} 1 & 0 & 0 & 0 \\ 0 & -1 & 0 & 0 \\ 0 & 0 & -1 & 0 \\ 0 & 0 & 0 & -1 \end{pmatrix} \quad (65)$$

Формулы (64) дают известную связь  $A^0 = A_0$ ,  $A^{1,2,3} = -A_{1,2,3}$ ,

## 9.1 Антисимметричный псевдотензор к криволинейных координатах

Пусть  $x'^i$  – галилеевы, а  $x^i$  – произвольные координаты, согласно общим правилам

$$E^{iklm} = \frac{\partial x^i}{\partial x'^p} \frac{\partial x^k}{\partial x'^r} \frac{\partial x^l}{\partial x'^s} \frac{\partial x^m}{\partial x'^t} e^{prst},$$

или

$$E^{iklm} = J e^{iklm},$$

где  $J$  – определитель, составленный из производных или якобиан преобразования от галилеевых координат к произвольным:

$$J = \frac{\partial(x^0, x^1, x^2, x^3)}{\partial(x'^0, x'^1, x'^2, x'^3)}$$

Можно легко показать, что  $J = 1/\sqrt{-g}$ . Напишем формулу преобразования метрического тензора:

$$g^{ik} = \frac{\partial x^i}{\partial x'^l} \frac{\partial x^k}{\partial x'^m} g^{lm(0)},$$

и приравниваем определители, составленные из обеих частей этого равенства: определитель обратного тензора  $|g^{ik}| = 1/g$ , а  $|g^{lm(0)}| = -1$ , Поэтому  $1/g = -J^2$ .

$$E^{iklm} = \frac{1}{\sqrt{-g}} e^{iklm}. \quad (66)$$

Опускание индексов у этого тензора осуществляется по формуле

$$e^{prst} g_{ip} g_{kr} g_{ls} g_{mt} = -g e_{iklm},$$

так что его ковариантные компоненты

$$E_{iklm} = \sqrt{-g} e_{iklm}$$

## 9.2 Элементы интегрирования в криволинейных координатах

В галилеевой системе  $d\Omega' = dx'^0 dx'^1 dx'^2 dx'^3$  – скаляр. В криволинейной системе скаляр

$$\frac{1}{J} d\Omega = \sqrt{-g} d\Omega \quad (67)$$

Элемент площади – контравариантный антисимметричный тензор  $dS^{ikl}$ , дуальный ему вектор:

$$\sqrt{-g} dS_i = -\frac{1}{6} e_{iklm} dS^{klm} \sqrt{-g} \quad (68)$$

Элемент поверхности –  $df^{ik}$ , дуальный ему тензор:

$$\sqrt{-g} df_{ik}^* = \frac{1}{2} \sqrt{-g} e_{iklm} df^{lm} \quad (69)$$

В теореме Гаусса потребуется замена

$$dS_i \rightarrow d\Omega \frac{\partial}{\partial x^i} \quad (70)$$

## 10 Расстояния и промежутки времени

### 10.1 Связь времени с координатой $x^0$

Два события в одной точке, интервал  $-ds = c d\tau$ , полагая  $dx^\alpha = 0$ , имеем

$$ds^2 = c^2 d\tau^2 = g_{00}(dx^0)^2,$$

откуда

$$d\tau = \frac{1}{c} \sqrt{g_{00}} dx^0. \quad (71)$$

Промежуток собственного времени между любыми двумя событиями в одной и той же точке пространства:

$$\tau = \frac{1}{c} \int \sqrt{g_{00}} dx^0. \quad (72)$$

## 10.2 Элемент пространственного расстояния $dl$

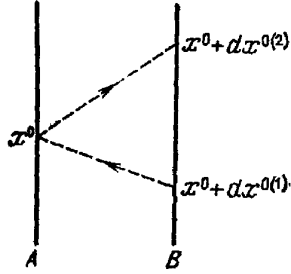


Рис. 5: Световой сигнал  $A \leftrightarrow B$

$$ds^2 = g_{\alpha\beta} dx^\alpha dx^\beta + 2g_{0\alpha} dx^0 dx^\alpha + g_{00}(dx^0)^2 \quad (73)$$

Решая уравнение  $ds^2 = 0$ , находим

$$dx^{0(1,2)} = \frac{1}{g_{00}} \left( -g_{0\alpha} dx^\alpha \mp \sqrt{(g_{0\alpha} g_{0\beta} - g_{\alpha\beta} g_{00}) dx^\alpha dx^\beta} \right) \quad (74)$$

Полный промежуток времени –

$$dx^{0(2)} - dx^{0(1)} = \frac{2}{g_{00}} \sqrt{(g_{0\alpha} g_{0\beta} - g_{\alpha\beta} g_{00}) dx^\alpha dx^\beta} \quad (75)$$

Промежуток собственного времени из (71) получается умножением на  $\sqrt{g_{00}}/c$ , а расстояние – еще умножением на  $c/2$ :

$$dl^2 = \left( -g_{\alpha\beta} + \frac{g_{0\alpha} g_{0\beta}}{g_{00}} \right) dx^\alpha dx^\beta \quad (76)$$

Перепишем это выражение в виде:

$$dl^2 = \gamma_{\alpha\beta} dx^\alpha dx^\beta, \quad (77)$$

где

$$\gamma_{\alpha\beta} = -g_{\alpha\beta} + \frac{g_{0\alpha} g_{0\beta}}{g_{00}} \quad (78)$$

– трехмерный метрический тензор.  $g_{ik}$  зависят от  $x^0$  –  $\gamma_{\alpha\beta}$  меняется со временем. Нет смысла интегрировать по  $dl$ . Расстояние теряет определенность (только в б.м.).

### 10.3 Связь трехмерного и четырехмерного метрического тензоров

$-\gamma_{\alpha\beta}$  – обратный  $g^{\alpha\beta}$ . Распишем  $g^{ik}g_{ik} = \delta_k^i$ :

$$\begin{aligned} g^{\alpha\beta}g_{\beta\gamma} + g^{\alpha 0}g_{0\gamma} &= \delta_\gamma^\alpha, \\ g^{\alpha\beta}g_{\beta 0} + g^{\alpha 0}g_{00} &= 0, \\ g^{0\beta}g_{\beta 0} + g^{00}g_{00} &= 1. \end{aligned} \quad (79)$$

Определив  $g^{\alpha 0}$  из второго равенства и подставив в первое, получим

$$-g^{\alpha\beta}\gamma_{\beta\gamma} = \delta_\gamma^\alpha.$$

Иначе можно сформулировать, что  $-g^{\alpha\beta}$  – контравар. трехмерн. метрич. тензор:

$$\gamma^{\alpha\beta} = -g^{\alpha\beta} \quad (80)$$

Определители  $g = |g_{ik}|$ ,  $\gamma = |\gamma_{\alpha\beta}|$ :

$$-g = g_{00}\gamma \quad (81)$$

Введем трехмерный вектор  $textbf{g}$ , его ковариантные компоненты:

$$g_\alpha = -\frac{g_{0\alpha}}{g_{00}}, \quad (82)$$

контравариантные компоненты:

$$g^\alpha = \gamma^{\alpha\beta} \equiv -g^{0\alpha}. \quad (83)$$

Из третьего равенства (79) следует

$$g^{00} = \frac{1}{g_{00}} - g_\alpha g^\alpha \quad (84)$$

### 10.4 Понятие одновременности в ОТО

Рассмотрим опять (10.2). Одновременным с моментом  $x^0$  в точке  $A$  следует считать показание часов в точке  $B$ , лежащее посередине между моментами отправления и обратного прибытия:

$$x^0 + \Delta x^0 = x^0 + \frac{1}{2}(dx^{0(2)} + dx^{0(1)}).$$

Подставляя сюда (74), находим разность значений  $x^0$  для двух одновременных событий в бесконечно близких точках:

$$\Delta x^0 = -\frac{g_{0\alpha}dx^\alpha}{g_{00}} \equiv g_\alpha dx^\alpha. \quad (85)$$

Продолжая подобную синхронизацию дальше, можно синхронизовать часы вдоль любой незамкнутой линии. Синхронизация вдоль замкнутого контура, вообще говоря, невозможна! Вернемся назад в точку с  $\Delta x^0 \neq 0$ . Тем более невозможна однозначная синхронизация часов во всем пространстве. Исключение составляют лишь такие СО, в которых все компоненты  $g_{0\alpha}$  равны нулю.

Невозможность синхронизации времени является свойством именно произвольной СО, а не пространства времени как такового. В любом гравитационном поле всегда можно выбрать (даже бесчисленным числом способов) СО, т.о. чтобы обратить в нуль все три величины  $g_{0\alpha}$  (*синхронная СО*)

Уже в СТО течение собственного времени различно для разных СО. А в ОТО в разных точках пространства уже разное течение времени даже в одной СО.

## 11 Ковариантное дифференцирование

### 11.1 Символы Кристоффеля

В галилеевых координатах  $dA_i$  – вектор,  $\partial A_i / \partial x^k$  – тензор, в криволинейных координатах это не так.  $dA_i$  – разность векторов в разных (хоть и бесконечно близких) точках, в разных точках векторы преобразуются по разному! Убедимся в этом.

Ковариантный вектор преобразуется согласно

$$A_i = \frac{\partial x'^k}{\partial x^i} A'_k,$$

поэтому

$$dA_i = \frac{\partial x'^k}{\partial x^i} dA'_k + A'_k d\frac{\partial x'^k}{\partial x^i} = \frac{\partial x'^k}{\partial x^i} dA'_k + A'_k \frac{\partial^2 x'^k}{\partial x^i \partial x^l} dx^l$$

Только в случае если 2-е производные равны 0, т.е.  $x'^k$  являются линейными функциями от  $x^k$ ,  $dA_i$  преобразуется как вектор.

Необходимо преобразовать тензор  $\partial A_i / \partial x^k$  от галилеевых координат к криволинейным.

Для того чтобы получить в криволинейных координатах дифференциал вектора, являющийся вектором, необходимо «перенести» один из векторов в точку, в которой находится второй, затем определить разность векторов уже в одной точке пространства.

При *параллельном переносе* вектора в галилеевой системе его координаты не меняются, а в криволинейных координатах меняются.

Рассмотрим контравариантный вектор  $A^i$  в точке  $x^i$ , в соседней точке  $x^i + dx^i$  он равен  $A^i + dA^i$ . Вектор  $A^i$  перенесем в  $x^i + dx^i$ , его изменение обозначим  $\delta A^i$ . Разность между векторами, находящимися в одной точке теперь

равна

$$DA^i = dA^i - \delta A^i. \quad (86)$$

Изменение  $\delta A^i$  компонент вектора при б.м. параллельном переносе:

$$\delta A^i = -\Gamma_{kl}^i A^k dx^l, \quad (87)$$

$\Gamma_{kl}^i$  – некоторые функции координат ( $i$ -я компонента изменения  $\mathbf{e}_k$  при параллельном переносе вдоль  $\mathbf{e}_l$ ), вид которых зависит от выбора СК, в галилеевой системе все  $\Gamma_{kl}^i = 0$ .  $\Gamma_{kl}^i$  – не тензор! (В галилеевой =0, то тензор был бы везде 0). Принцип эквивалентности<sup>1</sup> требует, чтобы в б.м. участке пространства можно было бы обратить в 0 величины  $\Gamma_{kl}^i$ . Но во всем пространстве в искривленной СК невозможно обратить  $\Gamma_{kl}^i$  в ноль везде! Величины  $\Gamma_{kl}^i$  играют роль напряженности грав. поля.

Величины  $\Gamma_{kl}^i$  называют *коэффициентами связности* или символами Кристоффеля.

Введем

$$\Gamma_{i,kl} = g_{im} \Gamma_{kl}^m, \quad \text{обрано:} \quad \Gamma_{kl}^i = g^{im} \Gamma_{m,kl}. \quad (88)$$

## 11.2 Изменение ковариантных компонент вектора при параллельном переносе

Пусть  $A_i$  и  $B^i$  – произвольные векторы. Для скалярного произведения имеем  $\delta(A_i B^i) = 0$ , тогда сразу запишем

$$B^i \delta A_i = -A_i \delta B^i = \Gamma_{kl}^i B^k A_i dx^l,$$

меняем расположение индексов:

$$B^i \delta A_i = \Gamma_{il}^k A_k B^i dx^l,$$

ввиду произвольности  $B^i$ :

$$\delta A_i = \Gamma_{il}^k A_k dx^l, \quad (89)$$

## 11.3 Ковариантная производная

Подставим (87) и  $dA^i = \frac{\partial A^i}{\partial x^l} dx^l$  в (86):

$$DA^i = \left( \frac{\partial A^i}{\partial x^l} + \Gamma_{kl}^i A^k \right) dx^l. \quad (90)$$

Для ковариантного вектора находим

$$DA_i = \left( \frac{\partial A_i}{\partial x^l} - \Gamma_{il}^k A_k \right) dx^l. \quad (91)$$

---

<sup>1</sup>Неинерциальная система отсчета эквивалента некоторому гравитационному полю

Выражения в скобках являются тензорами, т.к. умноженные на вектор они снова дают вектор. Эти тензоры носят название *ковариантных производных* векторов  $A^i$  и  $A_i$ . Обозначим их через  $A_{;k}^i$  и  $A_{i;k}$ :

$$DA^i = A_{;l}^i dx^l, \quad DA_i = A_{i;l} dx^l. \quad (92)$$

Сами ковариантные производные

$$A_{;l}^i = \frac{\partial A^i}{\partial x^l} + \Gamma_{kl}^i A^k, \quad (93)$$

$$A_{i;l} = \frac{\partial A_i}{\partial x^l} - \Gamma_{il}^k A_k. \quad (94)$$

В галилеевых координатах ( $\Gamma_{kl}^i = 0$ ) ковариантные производные переходят в обычные.

#### 11.4 Ковариантные производные от тензора

Рассмотрим контравариантный тензор  $A^i B^k$ . При параллельном переносе имеем:

$$\delta(A^i B^k) = A^i \delta B^k + B^k \delta A^i = -A^i \Gamma_{lm}^k B^l dx^m - B^k \Gamma_{lm}^i A^l dx^m.$$

В силу линейности этого преобразования оно должно иметь место для любого тензора  $A^{ik}$ :

$$\delta A^{ik} = -(A^{im} \Gamma_{lm}^k + A^{mk} \Gamma_{ml}^i) dx^l. \quad (95)$$

Подставляя это в

$$DA^{ik} = dA^{ik} - \delta A^{ik} \equiv A_{;l}^{ik} dx^l,$$

находим *ковариантную производную тензора*  $A^{ik}$ :

$$A_{;l}^{ik} = \frac{\partial A^{ik}}{\partial x^l} + \Gamma_{ml}^i A^{mk} + \Gamma_{ml}^k A^{im}. \quad (96)$$

Ковариантные производные смешанного и ковариантного тензоров

$$A_{k;l}^i = \frac{\partial A_k^i}{\partial x^l} - \Gamma_{kl}^m A_m^i + \Gamma_{ml}^i A_k^m, \quad (97)$$

$$A_{ik;l} = \frac{\partial A_{ik}}{\partial x^l} - \Gamma_{il}^m A_{mk} - \Gamma_{kl}^m A_{im}. \quad (98)$$

#### 11.5 Свойства ковариантной производной

Ковариантная производная произведения

$$(A_i B_k)_{;l} = A_{i;l} B_k + A_i B_{k;l}.$$

*Контравариантная* производная

$$A_i^{;k} = g^{kl} A_{i;l}, \quad A^{i;k} = g^{kl} A_{i;l}^k.$$

## 11.6 Преобразования символов Кристоффеля при переходе к другой СК

Получаются при преобразовании обеих частей равенств, определяющую любую из ковариантных производных:

$$\Gamma_{kl}^i = \Gamma'_{np}^m \frac{\partial x^i}{\partial x'^m} \frac{\partial x'^n}{\partial x^k} \frac{\partial x'^p}{\partial x^l} + \frac{\partial^2 x'^m}{\partial x^k \partial x^l} \frac{\partial x^i}{\partial x'^m} \quad (99)$$

Первое слагаемое ведет себя как тензор, второе равно нулю лишь при линейных преобразованиях координат. Второе слагаемое симметрично по  $k$  и  $l$ , выпадает для  $S_{kl}^i = \Gamma_{kl}^i - \Gamma_{lk}^i$ :

$$S_{kl}^i = S'_{np}^m \frac{\partial x^i}{\partial x'^m} \frac{\partial x'^n}{\partial x^k} \frac{\partial x'^p}{\partial x^l},$$

– тензор кручения пространства. При выполнении принципа эквивалентности  $S_{kl}^i = 0$ . Действительно, в локальной галилеевой СК  $\Gamma_{kl}^i = 0$ , следовательно и  $S_{kl}^i = 0$ , а это тензор, т.е. он равен нулю в любой СК. Следовательно:

$$\Gamma_{kl}^i = \Gamma_{lk}^i, \quad \Gamma_{i,kl} = \Gamma_{i,lk}, \quad (100)$$

т.о. имеется всего 40 уникальных значений.

Формула (99) при условии (100) позволяет сделать утверждение о возможности выбора такой СК, в которой все  $\Gamma_{kl}^i$  обращаются в нуль в любой наперед заданной точке<sup>2</sup>. Такую систему называют *локально-инерциальной* или *локально-геодезической*. Пусть заданная точка  $x^i$  выбрана в качестве начала СК и  $\Gamma_{kl}^i$  имеют в ней значение  $(\Gamma_{kl}^i)_0$ . Произведем вблизи этой точки преобразование:

$$x'^i = x^i + \frac{1}{2}(\Gamma_{kl}^i)_0 x^k x^l, \quad (101)$$

тогда

$$\frac{\partial^2 x'^m}{\partial x^k \partial x^l} \frac{\partial x^i}{\partial x'^m} = (\Gamma_{kl}^i)_0 \quad (102)$$

и согласно (99) все  $\Gamma'_{np}^m = 0$ .

Заметим, что для преобразования (101)

$$\left( \frac{\partial x'^i}{\partial x^k} \right)_0 = \delta_k^i,$$

поэтому оно не меняет значений любого тензора, поэтому одновременно можно привести и  $g_{ik}$  к галилееву виду.

---

<sup>2</sup>Можно показать, что надлежащим выбором СК можно обратить в нуль все  $\Gamma_{kl}^i$  вдоль заданной мировой линии

## 12 Связь символов Кристоффеля с метрическим тензором

### 12.1 Ковариантная производная от метрического тензора

Докажем, что  $g_{ik;l} = 0$ . Заметим, что

$$DA_i = g_{ik}DA^k.$$

С другой стороны,  $A_i = g_{ik}A^k$ , поэтому

$$DA_i = D(g_{ik}A^k) = g_{ik}DA^k + A^kDg_{ik}.$$

В виду произвольности  $A^i$  получаем  $Dg_{ik} = 0$ , поэтому

$$g_{ik;l} = 0. \quad (103)$$

Т.о. при ковариантном дифференцировании  $g_{ik}$  следует рассматривать как постоянные.

### 12.2 Выражение символов Кристоффеля через метрический тензор

$$g_{ik;l} = \frac{\partial g_{ik}}{\partial x^l} - g_{mk}\Gamma_{il}^m - g_{im}\Gamma_{kl}^m = \frac{\partial g_{ik}}{\partial x^l} - \Gamma_{k, il} - \Gamma_{i, kl} = 0$$

Производные от  $g_{ik}$  выражаются через символы Кристоффеля. Запишем, переставляя индексы:

$$g_{ik, l} = \Gamma_{k, il} + \Gamma_{i, kl}, \quad g_{li, k} = \Gamma_{i, kl} + \Gamma_{l, ik}, \quad -g_{kl, i} = -\Gamma_{l, ki} - \Gamma_{k, li}$$

Взяв полусумму этих равенств (помня  $\Gamma_{i, kl} = \Gamma_{i, lk}$ )

$$\Gamma_{i, kl} = \frac{1}{2} \left( \frac{\partial g_{ik}}{\partial x^l} + \frac{\partial g_{il}}{\partial x^k} - \frac{\partial g_{kl}}{\partial x^i} \right). \quad (104)$$

$$\Gamma_{kl}^i = \frac{1}{2} g^{im} \left( \frac{\partial g_{mk}}{\partial x^l} + \frac{\partial g_{ml}}{\partial x^k} - \frac{\partial g_{kl}}{\partial x^m} \right). \quad (105)$$

### 12.3 Некоторые полезные выражения

#### 12.3.1 Упрощенный символ Кристоффеля

Найдем  $\Gamma_{ki}^i$ , для этого определим  $dg$ , взяв дифференциал каждой компоненты  $g_{ik}$  и умножив ее на свой коэффициент в определителе (соответствующий минор). Компоненты обратного тензора  $g^{ik}$  равны минорам определителя из величин  $g_{ik}$ , деленным на этот определитель. Поэтому миноры определителя  $g$  равны  $gg^{ik}$ , т.о.

$$dg = gg^{ik}dg_{ik} = -gg_{ik}dg^{ik} \quad (106)$$

$$\Gamma_{ki}^i = \frac{1}{2} g^{im} \left( \frac{\partial g_{mk}}{\partial x^i} + \frac{\partial g_{mi}}{\partial x^k} - \frac{\partial g_{ki}}{\partial x^m} \right).$$

Меняя индексы  $m$  и  $i$  в 3-м и 1-м членах, видим, что они сокращаются:

$$\Gamma_{ki}^i = \frac{1}{2} g^{im} \frac{\partial g_{im}}{\partial x^k},$$

или согласно (106)

$$\Gamma_{ki}^i = \frac{1}{2g} \frac{\partial g}{\partial x^k} = \frac{\partial \ln \sqrt{-g}}{\partial x^k}. \quad (107)$$

### 12.3.2 Выражение для $g^{kl}\Gamma_{kl}^i$ :

$$g^{kl}\Gamma_{kl}^i = \frac{1}{2} g^{kl} g^{im} \left( \frac{\partial g_{mk}}{\partial x^l} + \frac{\partial g_{lm}}{\partial x^k} - \frac{\partial g_{kl}}{\partial x^m} \right) = g^{kl} g^{im} \left( \frac{\partial g_{mk}}{\partial x^l} - \frac{1}{2} \frac{\partial g_{kl}}{\partial x^m} \right).$$

С помощью (106) преобразуется к

$$g^{kl}\Gamma_{kl}^i = -\frac{1}{\sqrt{-g}} \frac{\partial(\sqrt{-g}g^{ik})}{\partial x^k}. \quad (108)$$

### 12.3.3 Связь производных от контра- и ковариантного метрического тензора

$$g_{il} \frac{\partial g^{lk}}{\partial x^m} = -g^{lk} \frac{\partial g_{il}}{\partial x^m} \quad (109)$$

– получается при дифференцировании равенства  $g_{il}g^{lk} = \delta_l^k$

### 12.3.4 Выражение производных от $g^{ik}$ через $\Gamma_{kl}^i$

Из тождества  $g^{ik}_{;l} = 0$  следует:

$$\frac{\partial g^{ik}}{\partial x^l} = -\Gamma_{ml}^i g^{mk} - \Gamma_{ml}^k g^{im}. \quad (110)$$

## 12.4 Дивергенция в криволинейных координатах

Обобщение дивергенции  $A^i_{;i}$ , используя (107) имеем

$$A^i_{;i} = \frac{\partial A^i}{\partial x^i} + \Gamma_{li}^i A^l = \frac{\partial A^i}{\partial x^i} + A^i \frac{\partial \ln \sqrt{-g}}{\partial x^i},$$

или окончательно

$$A^i_{;i} = \frac{1}{\sqrt{-g}} \frac{\partial \sqrt{-g} A^i}{\partial x^i}. \quad (111)$$

Дивергенция антисимметричного тензора

$$A^i_{;k} = \frac{\partial A^i}{\partial x^k} + \Gamma_{mk}^i A^{mk} + \Gamma_{mk}^k A^{im}$$

Поскольку  $A^{mk} = -A^{km}$ , то  $\Gamma_{mk}^i A^{mk} = -\Gamma_{km}^i A^{km} = 0$ , подставляя (107) находим:

$$A_{;k}^{ik} = \frac{1}{\sqrt{-g}} \frac{\partial \sqrt{-g} A^{ik}}{\partial x^k}. \quad (112)$$

Пусть  $A_{ik}$  – симметричный тензор, определим выражение  $A_{i;k}^k$  для смешанных компонент:

$$A_{i;k}^k = \frac{\partial A_i^k}{\partial x^k} + \Gamma_{lk}^k A_l^l - \Gamma_{ik}^l A_l^k = \frac{1}{\sqrt{-g}} \frac{(\partial A_i^k \sqrt{-g})}{\partial x^k} - \Gamma_{ki}^l A_l^k.$$

Последний член равен

$$-\frac{1}{2} \left( \frac{\partial g_{il}}{\partial x^k} + \frac{\partial g_{kl}}{\partial x^i} - \frac{\partial g_{ik}}{\partial x^l} \right) A^{kl}.$$

В силу симметрии  $A^{kl}$  два члена в скобках взаимосокращаются:

$$A_{i;k}^k = \frac{1}{\sqrt{-g}} \frac{\partial \sqrt{-g} A_i^k}{\partial x^k} - \frac{1}{2} \frac{\partial g_{kl}}{\partial x^i} A^{kl}. \quad (113)$$

В декартовых координатах  $\frac{\partial A_i}{\partial x^k} - \frac{\partial A_k}{\partial x^i}$  – антисимметричный тензор. В криволинейных координатах – это  $A_{i;k} - A_{k;i}$ , однако в виду того что  $\Gamma_{kl}^i = \Gamma_{lk}^i$

$$A_{i;k} - A_{k;i} = \frac{\partial A_i}{\partial x^k} - \frac{\partial A_k}{\partial x^i}. \quad (114)$$

## 12.5 Аналог оператора Лапласа (Далабмера)

$\frac{\partial^2 \varphi}{\partial x_i \partial x^i}$  в криволинейных координатах  $\varphi_{;i}^{;i}$ . Ковариантное дифференцирование скаляра – обычное дифференцирование:  $\varphi_{;i} = \partial \varphi / \partial x^i$ , поднимая индекс

$$\begin{aligned} \varphi^{;i} &= g^{ik} \frac{\partial \varphi}{\partial x^k} \\ \varphi_{;i}^{;i} &= \frac{1}{\sqrt{-g}} \frac{\partial}{\partial x^i} \left( \sqrt{-g} g^{ik} \frac{\partial \varphi}{\partial x^k} \right) \end{aligned} \quad (115)$$

## 12.6 Теорема Гаусса

$$\oint A^i \sqrt{-g} dS_i = \int A_{i;}^i \sqrt{-g} d\Omega. \quad (116)$$

## 13 Движение частицы в гравитационном поле

### 13.1 Движение частицы

В СТО движение частицы определяется принципом наименьшего действия:

$$\delta S = -mc \int ds = 0. \quad (117)$$

В галилеевой 4-системе координат решение  $-du^i/ds = 0$  или  $du^i = 0$ , где  $u^i = dx^i/ds$ . В криволинейной СК это уравнение обращается в

$$Du^i = 0. \quad (118)$$

Из (90) имеем  $du^i + \Gamma_{kl}^i u^k dx^l$ , разделив на  $ds$ :

$$\frac{d^2x^i}{ds^2} + \Gamma_{kl}^i \frac{dx^k}{ds} \frac{dx^l}{ds} = 0. \quad (119)$$

$\frac{d^2x^i}{ds^2}$  – 4-ускорение,  $\Gamma_{kl}^i u^k u^l$  – 4-сила,  $g_{ik}$  – «потенциалы» гравитационного поля, его производные  $\Gamma_{kl}^i$  – «напряженность» поля.

В ковариантных координатах  $Du_i = 0$  приводит к

$$\frac{du}{ds} - \Gamma_{il}^k u^k u^l = 0. \quad (120)$$

Подстановка (104) дает

$$\frac{du}{ds} - \frac{1}{2} \frac{\partial g_{kl}}{\partial x^i} u^k u^l = 0. \quad (121)$$

Выбор СК, в которой  $\Gamma_{kl}^i = 0$ , означает исключение гравитационного поля.

4-импульс частицы в гравитационном поле и его квадрат:

$$p^i = mcu^i, \quad p_i p^i = m^2 c^2. \quad (122)$$

Подставив сюда  $-\partial S/\partial x^i$  вместо  $p_i$  найдет ур-е Гамильтона-Якоби:

$$g^{ik} \frac{\partial S}{\partial x^i} \frac{\partial S}{\partial x^k} - m^2 c^2 = 0. \quad (123)$$

### 13.2 Распространение света

Для распространения света ур-е (119) неприменимо ( $ds = 0$ ). Волновой вектор:  $k^i = dx^i/d\lambda$ , где  $\lambda$  – некоторый параметр, меняющийся вдоль луча. В СТО  $dk^i = 0$ , в грав. поле  $Dk^i = 0$  или

$$\frac{dk^i}{d\lambda} + \Gamma_{kl}^i k^k k^l = 0. \quad (124)$$

Квадрат волнового 4-вектора равен нулю<sup>3</sup>

$$k_i k^i = 0. \quad (125)$$

Ур-е эйконала<sup>4</sup>

$$g^{ik} \frac{\partial \psi}{\partial x^i} \frac{\partial \psi}{\partial x^k} = 0. \quad (126)$$

### 13.3 Предельный переход к классическим уравнениям

Нерелятивистская функция Лагранжа (добавлена  $-mc^2$ )

$$L = -mc^2 + \frac{mv^2}{2} - m\varphi, \quad (127)$$

$$S = \int L dt = -mc \int \left( c - \frac{v^2}{2c} + \frac{\varphi}{c} \right) dt.$$

Сравнивая это с  $S = -mc \int ds$ , мы видим, что в предельном случае

$$ds = \left( c - \frac{v^2}{2c} + \frac{\varphi}{c} \right) dt$$

Возводя в квадрат и  $c \rightarrow \infty$ , находим, учитывая, что  $\mathbf{v} dt = d\mathbf{r}$

$$ds^2 = (c^2 + 2\varphi)dt^2 - d\mathbf{r}^2. \quad (128)$$

Таким образом,

$$g_{00} = 1 + \frac{2\varphi}{c^2}. \quad (129)$$

Следовало бы ожидать, что  $g_{\alpha\beta} = \delta_{\alpha\beta}$ ,  $g_{0\alpha} = 0$ , но это не так. Поправки к ним того же порядка, что и для  $g_{00}$ .

## 14 Постоянное гравитационное поле

### 14.1 Статическое и стационарное гравитационное поле

Гравитационное поле называется *постоянным*, если можно выбрать такую СО, в которой все компоненты  $g_{ik}$  не зависят от  $x^0$  (*мировое время*). Если создающее поле тело неподвижно, то оба направления времени эквивалентны и все компоненты  $g_{0\alpha} = 0$ . Такие поля будем называть *статическими*. Гравитационное поле вращающегося тела – не статическое ( $g_{0\alpha} \neq 0$ ), но *стационарное*.

Смысл мирового времени в постоянном гравитационном поле: промежуток в между двумя событиями в одной точке пространства совпадает с промежутком с одновременными событиями в другой точке пространства. Но

---

<sup>3</sup> $\mathbf{k} = \frac{\omega}{c} \mathbf{n}$ ,  $k^i = \frac{\omega}{c}, \mathbf{k}$

<sup>4</sup> $f = ae^{i(-k_i x^i + \alpha)} = ae^{i\psi}$ ,  $\psi$  – эйконал,  $\mathbf{k} = \text{grad } \psi$ ,  $k_i = -\frac{\partial \psi}{\partial x^i}$

одинаковым промежуткам мирового времени  $x^0$  соответствуют различные (конечные, а не только бесконечно малые (71)) промежутки собственного времени  $\tau$ :

$$\tau = \frac{1}{c} \sqrt{g_{00}} x^0. \quad (130)$$

В слабом гравитационном поле:

$$\tau = \frac{x^0}{c} \left( 1 + \frac{\varphi}{c^2} \right). \quad (131)$$

Время течет тем медленнее, чем меньше гравитационный потенциал ( $\varphi < 0$ ). Если из двух одинаковых часов одни находились в гравитационном поле, то они окажутся отставшими.

В *статическом* гравитационном поле  $g_{0\alpha} = 0$  – синхронизация часов во всем пространстве возможна, а

$$dl^2 = -g_{\alpha\beta} dx^\alpha dx^\beta. \quad (132)$$

В *стационарном* гравитационном поле  $g_{0\alpha} \neq 0$  – синхронизация часов во всем пространстве невозможна.  $g_{ik}$  не зависят  $x^0$ , то (85) можно переписать

$$\Delta x^0 = - \int \frac{g_{0\alpha} dx^\alpha}{g_{00}}, \quad (133)$$

при синхронизации вдоль замкнутого контура разность значений мирового времени равна

$$\Delta x^0 = - \oint \frac{g_{0\alpha} dx^\alpha}{g_{00}}. \quad (134)$$

## 14.2 Распространение света в гравитационном поле

Частота света – производная (с обратным знаком) по времени от эйконала  $\psi$ . Частота, измеренная в мировом времени  $x^0/c$  равна  $\omega_0 = -c \partial\psi/\partial x^0$ . Поскольку уравнение эйконала (126) в постоянном поле не содержит  $x^0$  явно, то  $\omega_0$  остается постоянной при распространении луча света. Частота в собственном времени  $\omega = -\partial\psi/\partial\tau$  – различна в разных точках пространства:

$$\frac{\partial\psi}{\partial\tau} = \frac{\partial\psi}{\partial x^0} \frac{\partial x^0}{\partial\tau} = \frac{\partial\psi}{\partial x^0} \frac{c}{\sqrt{g_{00}}},$$

окончательно имеем:

$$\omega = \frac{\omega_0}{\sqrt{g_{00}}}. \quad (135)$$

В слабом гравитационном поле получаем приближенно:

$$\omega = \omega_0 \left( 1 - \frac{\varphi}{c^2} \right). \quad (136)$$

Частота света возрастает с увеличением  $|\varphi|$ , т.е. возрастает при приближении к создающим поле телам; наоборот, при удалении луча от этих тел частота света уменьшается.

Если луч света испущен из точки с потенциалом  $\varphi_1$  с частотой  $\omega$ , то придя в точку с потенциалом  $\varphi_2$ , он будет иметь частоту (в собственном времени этой точки)

$$\omega \frac{\left(1 - \frac{\varphi_2}{c^2}\right)}{\left(1 - \frac{\varphi_1}{c^2}\right)} \approx \omega \left(1 - \frac{\varphi_1 - \varphi_2}{c^2}\right) \quad (137)$$

Таким образом сдвиг частоты составит

$$\Delta\omega = \frac{\varphi_1 - \varphi_2}{c^2} \omega, \quad (138)$$

где  $\varphi_1$  и  $\varphi_2$  – потенциалы в месте испускания и месте наблюдения. При наблюдении спектра Солнца на Земле  $|\varphi_1| > |\varphi_2|$  и  $|\Delta\omega| < 0$  – *гравитационное красное смещение*.

### 14.3 Энергия частицы в гравитационном поле

При движении частицы сохраняется ее энергия ( $-c \partial S / \partial x^0$ ). Это временная компонента ковариантного 4-вектора импульса  $p_k = mc u_k = mc g_{ki} u^i$ . В статическом поле  $ds^2 = g_{00}(dx^0)^2 - dl^2$  и энергия есть:

$$\mathcal{E}_0 = mc^2 g_{00} \frac{dx^0}{ds} = mc^2 g_{00} \frac{x^0}{\sqrt{g_{00}(dx^0)^2 - dl^2}}$$

Введем скорость частицы, измеренную в собственном времени:

$$v = \frac{dl}{d\tau} = \frac{c dl}{\sqrt{g_{00}} dx^0}$$

Тогда энергия, которая остается постоянной при движении частицы:

$$\mathcal{E}_0 = \frac{mc^2 \sqrt{g_{00}}}{\sqrt{1 - v^2/c^2}}. \quad (139)$$

Легко показать, что (139) для энергии остается в силе и в стационарном поле, если измерять  $v$  в собственном времени, синхронизованным вдоль траектории частицы.

В предельном случае слабого гравитационного поля, подставляя в (139)  $g_{00} = 1 + 2\varphi/c^2$  получим

$$\mathcal{E}_0 \approx mc^2 + \frac{mv^2}{2} + m\varphi. \quad (140)$$

### 15 Вращение

Особый случай стационарных гравитационных полей – равномерно вращающаяся СО. В неподвижной цилиндрической СК  $r'$ ,  $\varphi'$ ,  $z'$ ,  $t$  интервал

$$ds^2 = c^2 dt^2 - dr'^2 - r'^2 d\varphi'^2 - dz'^2. \quad (141)$$

Во вращающейся СК  $r, \varphi, z$ , если ось вращения  $z, z', r' = r, z' = z, \varphi' = \varphi + \Omega t$  ( $\Omega$  – угловая скорость вращения)

$$ds^2 = (c^2 - \Omega^2 r^2)dt^2 - 2\Omega r^2 d\varphi dt - dz^2 - r^2 d\varphi^2 - dr^2. \quad (142)$$

Вращающейся СО можно пользоваться только до расстояний  $c/\Omega$ !

На вращающемся теле часы не могут быть однозначно синхронизованы во всех точках. Проводя синхронизацию вдоль замкнутой линии, возвратясь в исходную точку получим разность

$$\Delta t = -\frac{1}{c} \oint \frac{g_{0\alpha}}{g_{00}} dx^\alpha = \frac{1}{c^2} \oint \frac{\Omega^2 r^2 d\varphi}{1 - \Omega^2 r^2/c^2}$$

Предполагая  $\Omega r/c \ll 1$

$$\Delta t = \frac{\Omega}{c^2} \int r^2 d\varphi = \pm \frac{2\Omega}{c^2} S, \quad (143)$$

где  $S$  – площадь проекции контура на плоскость перпендикулярную оси вращения.

Пусть по замкнутому контуру длиной  $L$  распространяется луч света. Вычислим (с точностью до членов порядка  $v/c$ ) время  $t$  между отправлением и возвращением его в исходную точку. Скорость света есть  $c$ , если время синхронизируется вдоль замкнутой линии и в каждой точке мы пользуемся собственным временем. Разность между собственным временем и мировым порядка  $v^2/c^2$ , то этим можно пренебречь. Поэтому имеем

$$t \approx \frac{L}{c} \pm \frac{2\Omega}{c^2} S.$$

Соответственно скорость света, измеренная как отношение  $L/t$  равна

$$c \pm 2\Omega \frac{S}{L}. \quad (144)$$

## 16 Тензор кривизны

### 16.1 Параллельный перенос

Бесконечно малый параллельный перенос – перенос, при котором компоненты вектора не меняются в СК, галилеевой в данном б.м. элементе объема. Если  $x^i = x^i(s)$  ( $s$  – длина дуги, отсчитываемая от некоторой точки), то  $u^i = dx^i/ds$  – единичный вектор, касательный к кривой. Для геодезической кривой  $Du^i = 0$ , т.е. при параллельном переносе  $u^i$  из  $x^i$  в  $x^i + dx^i$  он совпадет с  $u^i + du^i$ , по-прежнему, касательном в новой точке.

- При передвижении вдоль геодезической вектор касательной переносится параллельно самому себе.

- Угол между вектором и касательной при пар. переносе вдоль геодезической остается неизменным.
- Пар. перенос дает разные результаты, если он совершается по разным путям (частный случай – замкнутый контур).

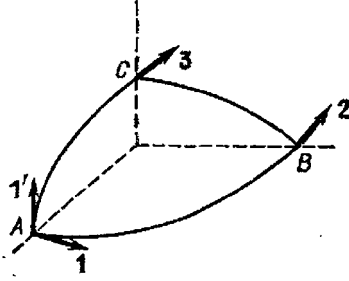


Рис. 6: Параллельный перенос вектора по замкнутому контуру

## 16.2 Изменение вектора при параллельном переносе по замкнутому контуру

Это изменение  $\Delta A_k$  можно записать как  $\oint \delta A_k$ , подставляя (89) имеем

$$\Delta A_k = \oint \Gamma_{kl}^i A_i dx^l; \quad (145)$$

где  $A_i$  меняется по мере его переноса вдоль контура, но неоднозначно, однако неоднозначность второго порядка. С точность до первого порядка  $\delta A_i = \Gamma_{il}^n A_n dx^l$ , т.е.

$$\frac{\partial A_i}{\partial x^l} = \Gamma_{il}^n A_n. \quad (146)$$

Применяя к интегралу (145) теорему Стокса (23), учитывая, что б.м. площадь огибаемой поверхности есть  $\Delta f^{lm}$ , получим

$$\begin{aligned} \Delta A_k &= \frac{1}{2} \left[ \frac{\partial(\Gamma_{km}^i A_i)}{\partial x^l} - \frac{\partial(\Gamma_{kl}^i A_i)}{\partial x^m} \right] \Delta f^{lm} = \\ &= \frac{1}{2} \left[ \frac{\partial \Gamma_{km}^i}{\partial x^l} A_i - \frac{\partial \Gamma_{kl}^i}{\partial x^m} A_i + \Gamma_{km}^i \frac{\partial A_i}{\partial x^l} - \Gamma_{kl}^i \frac{\partial A_i}{\partial x^m} \right] \Delta f^{lm}. \end{aligned}$$

Подставляя сюда (146) находим

$$\Delta A_k = \frac{1}{2} R_{klm}^i A_i \Delta f^{lm}, \quad (147)$$

где  $R_{klm}^i$  – тензор кривизны или тензор Римана:

$$R_{klm}^i = \frac{\partial \Gamma_{km}^i}{\partial x^l} - \frac{\partial \Gamma_{kl}^i}{\partial x^m} + \Gamma_{nl}^i \Gamma_{km}^n - \Gamma_{nm}^i \Gamma_{kl}^n. \quad (148)$$

Легко получить аналогичную формулу для контравариантного вектора  $A^k$ . При пар. переносе скаляры не меняются:  $\Delta(A^k B_k) = 0$ .

$$\begin{aligned} \Delta(A^k B_k) &= A^k \Delta B_k + B_k \Delta A^k = \frac{1}{2} A^k B_i R_{klm}^i \Delta f^{lm} + B_k \Delta A^k = \\ &= B_k \left( \Delta A^k + \frac{1}{2} A^i R_{ilm}^k \Delta f^{lm} \right) = 0, \end{aligned}$$

в виду произвольности  $B_k$ :

$$\Delta A^k = -\frac{1}{2} R_{ilm}^k A^i \Delta f^{lm}. \quad (149)$$

### 16.3 Двойное ковариантное дифференцирование

Если дважды ковариантно продифференцировать  $A_i$  по  $x^k$  и по  $x^l$ , то результат зависит от порядка дифференцирования:

$$A_{i;k;l} - A_{i;l;k} = A_m R_{ikl}^m, \quad (150)$$

$$A_{i;k;l}^i - A_{i;l;k}^i = -A^m R_{mkl}^i. \quad (151)$$

Аналогично для тензора:

$$A_{ik;l;m} - A_{ik;m;l} = A_{in} R_{klm}^n + A_{nk} R_{ilm}^n. \quad (152)$$

### 16.4 Плоское и искривленное пространство

- В плоском 4-пространстве везде  $\Gamma_{kl}^i = 0$ , поэтому и  $R_{klm}^i = 0$ .
- Верно и обратное: если  $R_{klm}^i = 0$ , то пространство плоское.
- Если выбрана в кривом пространстве локально-геодезическая СК, то  $\Gamma_{kl}^i = 0$ , но  $R_{klm}^i \neq 0$ , т.к. производные от  $\Gamma_{kl}^i$  не обращаются в нуль одновременно с самими  $\Gamma_{kl}^i$ .

## 17 Свойства тензора кривизны

### 17.1 Свойства симметрии

$$R_{iklm} = g_{im} R_{klm}^n$$

$$R_{iklm} = \frac{1}{2} \left( \frac{\partial^2 g_{im}}{\partial x^k \partial x^l} + \frac{\partial^2 g_{kl}}{\partial x^i \partial x^m} - \frac{\partial^2 g_{il}}{\partial x^k \partial x^m} - \frac{\partial^2 g_{km}}{\partial x^i \partial x^l} \right) + g_{np} (\Gamma_{kl}^n \Gamma_{im}^p - \Gamma_{km}^n \Gamma_{il}^p). \quad (153)$$

Из этого выражения следует

$$R_{iklm} = -R_{kilm} = -R_{ikml} \quad (154)$$

$$R_{iklm} = R_{lmik} \quad (155)$$

Антисимметричен по каждой из пар индексов  $ik$  и  $lm$  и симметричен к перестановке этих двух пар. В частности все компоненты, диагональные по паре индексов  $ik$  или  $lm$ , равны нулю.

Равна нулю циклическая сумма из компонент, образованная по любым из трех индексов, например:

$$R_{iklm} + R_{imkl} + R_{ilmk} = 0. \quad (156)$$

*Тождество Бианки*

$$R_{ikl;m}^n + R_{imk;l}^n + R_{ilm;k}^n = 0. \quad (157)$$

Докажем в локально-инерциальной СК. Дифференцируем (148) и полагаем затем  $\Gamma_{kl}^i = 0$ , находим:

$$R_{ikl;m}^n = \frac{\partial R_{ikl}^n}{\partial x^m} = \frac{\partial^2 \Gamma_{il}^n}{\partial x^m \partial x^k} - \frac{\partial^2 \Gamma_{ik}^n}{\partial x^m \partial x^l}.$$

С помощью этого выражения можно убедиться в справедливости тождества Бианки.

## 17.2 Упрощения тензора кривизны

### 17.2.1 Тензор Риччи

В силу антисимметричности упрощение можно производить только одним способом:

$$R_{ik} = g^{lm} R_{limk} = R_{ilk}^l. \quad (158)$$

Согласно (148) имеем

$$R_{ik} = \frac{\partial \Gamma_{ik}^l}{\partial x^l} - \frac{\partial \Gamma_{il}^l}{\partial x^k} + \Gamma_{ik}^l \Gamma_{lm}^m - \Gamma_{il}^m \Gamma_{km}^l. \quad (159)$$

Этот тензор, очевидно, симметричен:

$$R_{ik} = R_{ki}. \quad (160)$$

### 17.2.2 Скалярная кривизна

Упрощая  $R_{ik}$ , получаем

$$R = g^{ik} R_{ik} = g^{il} g^{km} R_{iklm} \quad (161)$$

Упрощение тождества Бианки (157) по парам  $ik$  и  $ln$  дает

$$R^l_{m;l} = \frac{1}{2} \frac{\partial R}{\partial x^m} \quad (162)$$

### 17.3 Число независимых компонент тензора кривизны

Рассмотрим случай 2-х измерений. Пусть тензор кривизны  $P_{abcd}$ , а метрический тензор –  $\gamma_{ab}$ . Индексы пробегают значения только 1, 2. В этом случае все отличные от нуля компоненты либо равны, либо различаются знаком. Т.о. имеется только одна независимая компонента, например  $P_{1212}$ . Скалярная кривизна при этом равна

$$P = \frac{2P_{1212}}{\gamma}, \quad \gamma \equiv |\gamma_{\alpha\beta}| = \gamma_{11}\gamma_{22} - (\gamma_{12})^2. \quad (163)$$

Величина  $P/2$  совпадает с *гауссовой кривизной* поверхности  $K$ :

$$\frac{P}{2} = K = \frac{1}{\rho_1\rho_2}. \quad (164)$$

В 3-мерном пространстве тензор кривизны  $P_{\alpha\beta\gamma\delta}$ , а метрический тензор  $\gamma_{\alpha\beta}$ . Пары индексов  $\alpha\beta$  и  $\alpha\beta\gamma\delta$  пробегают три существенно различных набора значений: 32, 31, 12. Поскольку тензор  $P_{\alpha\beta\gamma\delta}$  симметричен по отношению к перестановке этих пар, то имеется всего 3 независимых компоненты, а также 3 компоненты с одинаковыми парами – всего 6 компонент. Столько же компонент имеет симметричный тензор  $P_{\alpha\beta}$ . Если же привести тензор к главным осям, то останется всего три числа.

В 4-пространстве пары индексов  $ik$  и  $lm$  пробегают 6 различных наборов, поэтому имеется 6 компонент  $R_{iklm}$  с одинаковыми и  $6 \cdot 5/2 = 15$  компонент с различными парами индексов. Последние в силу тождества (156) связаны

$$R_{0123} + R_{0312} + R_{0231} = 0 \quad (165)$$

В 4-пространстве тензор кривизны имеет 20 независимых компонент.

Выбирая СК, галилееву в данной точке, и рассматривая преобразования, поворачивающие эту систему, можно добиться обращения в ноль еще 6 компонент. В общем случае остается 14 величин, определяющих кривизну пространства. Если  $R_{ik} = 0$ <sup>5</sup>, то в произвольной СК тензор кривизны имеет всего 10 независимых компонент. Если же привести тензор  $R_{iklm}$  (в заданной точке) привести к «каноническому» виду, то его компоненты выражаются через 4 независимых величины.

---

<sup>5</sup>Этим свойством обладает тензор кривизны для гравитационного поля в пустоте

## 18 Действие для гравитационного поля

Действие  $S_g = \int G\sqrt{-g}d\Omega$ , взятый по всему пространству и по времененной координате  $x^0$  между двумя значениями. Будем исходить из того, что уравнения гравитационного поля должны содержать производные от «потенциалов» поля не выше 2-го порядка, для этого необходимо, чтобы выражение  $G$  содержало производные от  $g_{ik}$  выше 1-го порядка, т.е.  $G$  должно содержать только тензор  $g_{ik}$  и величины  $\Gamma_{kl}^i$ , однако из них невозможно построить скаляр. Существует еще и  $R$ , который содержит наряду с  $g_{ik}$  и первыми производными, еще и вторые производные от  $g_{ik}$ , но последние входят только линейно. С помощью теоремы Гаусса интеграл  $\int R\sqrt{-g}d\Omega$  можно преобразовать в интеграл от выражения, не содержащего вторых производных:

$$\int R\sqrt{-g}d\Omega = \int G\sqrt{-g}d\Omega + \int \frac{\partial(\sqrt{-g}w^i)}{\partial x^i}d\Omega,$$

где  $G$  содержит только тензор  $g_{ik}$  и его первые производные. Второе слагаемое – дивергенция некоторой величины  $w^i$ , согласно теореме Гаусса его можно преобразовать в интеграл по гиперповерхности, охватывающей 4-объем. При варьировании, вариация второго слагаемого равно нулю, т.к. на границе области вариация есть ноль:

$$\delta \int R\sqrt{-g}d\Omega = \delta \int G\sqrt{-g}d\Omega.$$

Слева – скаляр, следовательно и справа – скаляр, хотя  $G$  скаляром не является. В гауссовой системе единиц мы можем записать

$$\delta S_g = -\frac{c^3}{16\pi k}\delta \int G\sqrt{-g}d\Omega = -\frac{c^3}{16\pi k}\delta \int R\sqrt{-g}d\Omega, \quad (166)$$

здесь  $k$  – гравитационная постоянная. Действие имеет размерность  $\text{г} \cdot \text{см}^2 \cdot \text{с}^{-1}$ ; все координаты имеют размерность см,  $g_{ik}$  – безразмерные, следовательно  $R$  имеет размерность  $\text{см}^{-2}$ , в результате размерность  $k$  есть  $\text{г}^{-1} \cdot \text{см}^3 \cdot \text{с}^{-2}$ , ее численное значение

$$k = 6.67 \cdot 10^{-8} \text{ см}^3 \cdot \text{г}^{-1} \cdot \text{с}^{-2}. \quad (167)$$

Можно было бы положить  $k$  равной единице, при этом определился бы выбор единицы для измерения массы<sup>6</sup>.

Вычислим  $G$  в (166). Из (159) для  $R_{ik}$  имеем

$$\sqrt{-g}R = \sqrt{-g}g^{ik}R_{ik} =$$

---

<sup>6</sup>Если положить  $k = c^2$ , то масса будет измеряться в см, причем  $1 \text{ см} = 1.35 \cdot 10^{28} \text{ г}$ . Иногда вместо  $k$  используют  $\kappa = \frac{8\pi k}{c^2} = 1.86 \cdot 10^{-27} \text{ см} \cdot \text{г}^{-1}$ , которую называют эйнштейновской гравитационной постоянной.

$$\sqrt{-g} \left( g^{ik} \frac{\partial \Gamma_{ik}^l}{\partial x^l} - g^{ik} \frac{\partial \Gamma_{il}^l}{\partial x^k} + g^{ik} \Gamma_{ik}^l \Gamma_{lm}^m - g^{ik} \Gamma_{il}^m \Gamma_{km}^l \right).$$

Представим первые два слагаемые как

$$\sqrt{-g} g^{ik} \frac{\partial \Gamma_{ik}^l}{\partial x^l} = \frac{\partial}{\partial x^l} (\sqrt{-g} g^{ik} \Gamma_{ik}^l) - \Gamma_{ik}^l \frac{\partial}{\partial x^l} (\sqrt{-g} g^{ik}),$$

$$\sqrt{-g} g^{ik} \frac{\partial \Gamma_{il}^l}{\partial x^k} = \frac{\partial}{\partial x^k} (\sqrt{-g} g^{ik} \Gamma_{il}^l) - \Gamma_{il}^l \frac{\partial}{\partial x^k} (\sqrt{-g} g^{ik}),$$

Опуская полные производные, находим

$$\sqrt{-g} G = \Gamma_{im}^m \frac{\partial}{\partial x^k} (\sqrt{-g} g^{ik}) - \Gamma_{ik}^l \frac{\partial}{\partial x^l} (\sqrt{-g} g^{ik}) - (\Gamma_{il}^m \Gamma_{km}^l - \Gamma_{ik}^l \Gamma_{lm}^m) g^{ik} \sqrt{-g}.$$

С помощью (107–110) находим, что первые два члена равны

$$\sqrt{-g} (2\Gamma_{ik}^l \Gamma_{lm}^i g^{mk} - \Gamma_{im}^m \Gamma_{kl}^i g^{kl} - \Gamma_{ik}^l \Gamma_{im}^m g^{ik}) = 2\sqrt{-g} g^{ik} (\Gamma_{il}^m \Gamma_{km}^l - \Gamma_{ik}^l \Gamma_{lm}^m).$$

Окончательно имеем

$$G = g^{ik} (\Gamma_{il}^m \Gamma_{km}^l - \Gamma_{ik}^l \Gamma_{lm}^m). \quad (168)$$

Величинами, определяющими гравитационное поле, являются компоненты метрического тензора, поэтому варьированию подлежат именно величины  $g_{ik}$ . Однако, не всякое изменение  $g_{ik}$  соответствует изменению метрики пространства-времени, т.к. возможны просто преобразования СК. Чтобы исключить не связанные с изменением метрики изменения  $g_{ik}$  необходимо наложить четыре дополнительных условия, при соблюдении которых действие имеет минимум по отношению к варьированию.

Покажем, что гравитационная постоянная должна быть положительной. В качестве четырех дополнительных условий потребуем:

$$g_{0\alpha} = 0, \quad |g_{\alpha\beta}| = \text{const};$$

в силу последнего из этих условий:

$$g^{\alpha\beta} \frac{\partial g_{\alpha\beta}}{\partial x^0} = \frac{\partial}{\partial x^0} |g_{\alpha\beta}| = 0.$$

Члены, которые содержат производные от  $g_{ik}$  по  $x^0$ :

$$-\frac{1}{4} g^{00} g^{\alpha\beta} g^{\gamma\delta} \frac{\partial g_{\alpha\gamma}}{\partial x^0} \frac{\partial g_{\beta\delta}}{\partial x^0}$$

Легко видеть, что эта величина отрицательна. Выбирая пространственную СК, которая была бы декартовой в данной точке в данный момент времени (так что  $g_{\alpha\beta} = g^{\alpha\beta} = -\delta_{\alpha\beta}$ , получим

$$-\frac{1}{4} g^{00} \left( \frac{\partial g_{\alpha\beta}}{\partial x^0} \right)^2,$$

поскольку  $g^{00} = 1/g_{00} > 0$ , то знак очевиден.

Достаточно быстрым изменением компонент  $g_{\alpha\beta}$  со временем  $x^0$  можно сделать величину  $-G$  сколь угодно большой. Если бы постоянная  $k$  была бы отрицательной, то действие при этом неограниченно уменьшалось бы (не имело бы минимума).

## 19 Тензор энергии-импульса

### 19.1 Определение тензора энергии-импульса

Рассмотрим некоторую систему, интеграл действия для которой имеет вид

$$S = \int \Lambda \left( q, \frac{\partial q}{\partial x^i} \right) dV dt = \frac{1}{c} \int \Lambda d\Omega, \quad (169)$$

где  $\Lambda$  – некоторая функция от величин  $q$ , определяющих состояние системы. Заметим, что интеграл по пространству  $\int \Lambda dV$  – функция Лагранжа.  $\Lambda$  – плотность функции Лагранжа. Для краткости будем рассматривать только одну величину  $q$ . Обозначим  $q_{,i} \equiv \partial q / \partial x^i$ . Уравнения движения получаются путем варьирования  $S$ :

$$\delta S = \frac{1}{c} \int \left( \frac{\partial \Lambda}{\partial q} \delta q + \frac{\partial \Lambda}{\partial q_{,i}} \delta q_{,i} \right) = \frac{1}{c} \int \left[ \frac{\partial \Lambda}{\partial q} \delta q + \frac{\partial}{\partial x^i} \left( \frac{\partial \Lambda}{\partial q_{,i}} \delta q \right) - \delta q \frac{\partial}{\partial x^i} \frac{\partial \Lambda}{\partial q_{,i}} \right]$$

Второй член исчезает при интегрировании по всему пространству (т-ма Гаусса) и мы находим «уравнения движения»:

$$\frac{\partial}{\partial x^i} \frac{\partial \Lambda}{\partial q_{,i}} - \frac{\partial \Lambda}{\partial q} = 0 \quad (170)$$

Далее пишем

$$\frac{\partial \Lambda}{\partial x^i} = \frac{\partial \Lambda}{\partial q} \frac{\partial q}{\partial x^i} + \frac{\partial \Lambda}{\partial q_{,k}} \frac{\partial q_{,k}}{\partial x^i}$$

Подставляя сюда (170) и замечая, что  $q_{,k,i} = q_{,i,k}$ , находим

$$\frac{\partial \Lambda}{\partial x^i} = \frac{\partial}{\partial x^k} \left( \frac{\partial \Lambda}{\partial q_{,k}} \right) q_{,i} + \frac{\partial \Lambda}{\partial q_{,k}} \frac{\partial q_{,i}}{\partial x^k} = \frac{\partial}{\partial x^k} \left( q_{,i} \frac{\partial \Lambda}{\partial q_{,k}} \right).$$

Заменив в левой части равенства

$$\frac{\partial \Lambda}{\partial x^i} = \delta_i^k \frac{\partial \Lambda}{\partial x^k}$$

и введя обозначение

$$T_i^k = q_{,i} \frac{\partial \Lambda}{\partial q_{,k}} - \delta_i^k \Lambda, \quad (171)$$

напишем полученное соотношение в виде

$$\frac{\partial T_i^k}{\partial x^k} = 0. \quad (172)$$

Если имеется не одна а несколько величин  $q^{(l)}$ , то

$$T_k^i = \sum_l q_{,i}^{(l)} \frac{\partial \Lambda}{\partial q_{,k}^{(l)}} - \delta_i^k \Lambda. \quad (173)$$

Уравнение (172) (дивергенция, но тензора по одному индексу) эквивалентно утверждению

$$P^i = \text{const} \cdot \int T^{ik} dS_k.$$

Этот вектор должен быть отождествлен с 4-импульсом системы. Константу подберем так, чтобы  $P^0$  была по-прежнему равна энергии системы, деленной на  $c$ .

$$P^0 = \text{const} \cdot \int T^{0k} dS_k = \text{const} \cdot \int T^{00} dV,$$

если интегрировать по гиперплоскости  $x^0 = \text{const}$ . С другой стороны, согласно (171)

$$T^{00} = \dot{q} \frac{\partial \Lambda}{\partial \dot{q}} - \Lambda,$$

где  $\dot{q} \equiv \partial q / \partial t$ . В соответствии с обычной формулой, связывающей энергию с функцией Лагранжа, эту величину надо рассматривать как плотность энергии, и поэтому  $\int T^{00} dV$  – полная энергия. Т.о.

$$P^i = \frac{1}{c} \int T^{ik} dS_k. \quad (174)$$

Тензор  $T^{ik}$  называется *тензором энергии-импульса* системы.

## 19.2 Смысл компонент тензора энергии-импульса

Существует неоднозначность в определении  $T^{ik}$  (с точностью до некоторой величины). Для однозначного определения можно потребовать, чтобы 4-тензор момента импульса выражался обычным образом:

$$M^{ik} = \int (x^i dP^k - x^k dP^i) = \frac{1}{c} \int (x^i T^{kl} - x^k T^{il}) dS_l, \quad (175)$$

легко показать, что отсюда следует

$$T^{ik} = T^{ki}. \quad (176)$$

Если производить интегрирование по гиперплоскости  $x^0 = \text{const}$ , то

$$P^i = \frac{1}{c} \int T^{i0} dV. \quad (177)$$

Пространственные компоненты  $P^\alpha$  образуют 3-вектор импульса системы, а  $c \cdot P^0$  – энергия системы. Поэтому вектор

$$\frac{1}{c} T^{\alpha 0}$$

назовем *плотностью импульса*, а

$$W = T^{00}$$

– *плотностью энергии*.

Выясним смысл остальных компонент, выписав уравнения сохранения (172), отделив пространственные и временные производные:

$$\frac{1}{c} \frac{\partial T^{00}}{\partial t} + \frac{\partial T^{0\alpha}}{\partial x^\alpha} = 0, \quad \frac{1}{c} \frac{\partial T^{\alpha 0}}{\partial t} + \frac{\partial T^{\alpha\beta}}{\partial x^\beta} = 0. \quad (178)$$

Интегрируя эти уравнения по некоторому объему пространства  $V$ , имеем

$$\frac{1}{c} \frac{\partial}{\partial t} \int T^{00} dV + \int \frac{\partial T^{0\alpha}}{\partial x^\alpha} dV = 0,$$

преобразуя второй интеграл по теореме Гаусса:

$$\frac{1}{c} \frac{\partial}{\partial t} \int T^{00} dV = -c \oint T^{0\alpha} df_\alpha. \quad (179)$$

Слева – скорость изменения энергии в объеме  $V$ , справа – количество энергии, протекающей через границу этого объема. Вектор  $\mathbf{S}$  с составляющими

$$cT^{0\alpha}$$

– плотность потока энергии, протекающего в единицу времени через единицу поверхности.

Из второго уравнения (178) аналогично находим:

$$\frac{\partial}{\partial t} \int \frac{1}{c} T^{\alpha 0} dV = - \oint T^{\alpha\beta} df_\beta. \quad (180)$$

Слева – изменение импульса системы в объеме  $V$  в единицу времени, поэтому  $\oint T^{\alpha\beta} df_\beta$  – количество импульса, вытекающего в единицу времени из этого объема.  $T^{\alpha\beta}$  составляют 3-тензор плотности потока импульса, обозначим его через  $-\sigma_{\alpha\beta}$  (*тензор напряжений*).

Плотность потока энергии (скаляра) – вектор, плотность потока импульса (вектора) – тензор. Окончательно

$$T^{ik} = \begin{pmatrix} W & S_x/c & S_y/c & S_z/c \\ S_x/c & -\sigma_{xx} & -\sigma_{xy} & -\sigma_{xz} \\ S_y/c & -\sigma_{yx} & -\sigma_{yy} & -\sigma_{yz} \\ S_z/c & -\sigma_{zx} & -\sigma_{zy} & -\sigma_{zz} \end{pmatrix}. \quad (181)$$

Для макроскопических тел тензор энергии импульса равен

$$T_{ik} = (p + \varepsilon)u_i u_k - p g_{ik}. \quad (182)$$

Поток импульса через элемент поверхности тела – сила, действующая на этот элемент, поэтому  $-\sigma_{\alpha\beta} df_\beta$  есть  $\alpha$ -компоненты силы. В СО, в которой тело поконится, имеет место закон Паскаля:  $\sigma_{\alpha\beta} df_\beta = -p df_\alpha$ , откуда тензор напряжений  $\sigma_{\alpha\beta} = -p \delta_{\alpha\beta}$ . Что касается компонент  $T^{\alpha 0}$ , то в рассматриваемой СО они равны 0. Компонента  $T^{00}$  равна плотности энергии тела  $\varepsilon$ , а  $\varepsilon/c^2$  – плотность массы. Т.о., в рассматриваемой СО тензор энергии-импульса для данного участка тела имеет вид

$$T^{ik} = \begin{pmatrix} \varepsilon & 0 & 0 & 0 \\ 0 & p & 0 & 0 \\ 0 & 0 & p & 0 \\ 0 & 0 & 0 & p \end{pmatrix} \quad (183)$$

### 19.3 Тензор энергии-импульса в криволинейной СК

В криволинейных координатах интеграл (169) записывается в виде

$$S = \frac{1}{c} \int \Lambda \sqrt{-g} d\Omega. \quad (184)$$

Интегрирование производится по всему пространству и на заданном промежутке времени.

Дадим новый способ вычисления тензора энергии-импульса, который сразу приводит к симметричному выражению. Произведем в (184) преобразование от координат  $x^i$  к  $x'^i = x^i + \xi^i$ , где  $\xi^i$  – малые величины. При этом преобразовании компоненты  $g'^{ik}$  преобразуются, согласно

$$\begin{aligned} g'^{ik}(x'^l) &= g^{lm}(x^l) \frac{\partial x'^i}{\partial x^l} \frac{\partial x'^k}{\partial x^m} = g^{lm} \left( \delta_l^i + \frac{\partial \xi^i}{\partial x^l} \right) \left( \delta_m^k + \frac{\partial \xi^k}{\partial x^m} \right) \\ &\approx g^{ik}(x^l) + g^{im} \frac{\partial \xi^k}{\partial x^m} + g^{kl} \frac{\partial \xi^i}{\partial x^l}. \end{aligned}$$

Чтобы привести тензоры  $g'^{ik}$  и  $g^{ik}$  к функциям от одних координат, разложим  $g'^{ik}(x^l + \xi^l)$  по степеням  $\xi^l$ . Пренебрегая членами высшего порядка по  $\xi^l$ , находим

$$g'^{ik}(x^l) = g^{ik}(x^l) - \xi^l \frac{\partial g^{ik}}{\partial x^l} + g^{il} \frac{\partial \xi^k}{\partial x^l} + g^{kl} \frac{\partial \xi^i}{\partial x^l}.$$

Путем непосредственной проверки можно убедиться, что три последних члена могут быть написаны в виде  $\xi^{i;k} + \xi^{k;i}$ , т.о. находим окончательно

$$g'^{ik} = g^{ik} + \delta g^{ik}, \quad \delta g^{ik} = \xi^{i;k} + \xi^{k;i}. \quad (185)$$

$$g'_{ik} = g_{ik} + \delta g_{ik}, \quad \delta g_{ik} = -\xi_{i;k} - \xi_{k;i}. \quad (186)$$

Поскольку действие  $S$  – скаляр, оно не меняется при преобразовании СК. С другой стороны найдем вариацию  $\delta S$  при преобразовании СК. Пусть  $q$  – обозначают величины, определяющие ту физическую систему, к которой относится действие  $S$ . При преобразовании координат величины  $q$  меняются на  $\delta q$ . Однако при вычислении  $\delta S$  можно не писать членов, связанных с изменениями  $q$ . В силу «уравнений движения» физической системы эти члены взаимно сокращаются (приравнивание нулю вариации  $S$  по величинам  $q$ ). Достаточно выписать члены, связанные с изменение  $g_{ik}$ . Воспользуемся теоремой Гаусса и полагая на границах интегрирования  $\delta g^{ik} = 0$ , находим

$$\begin{aligned} \delta S &= \frac{1}{c} \int \left( \frac{\partial \sqrt{-g} \Lambda}{\partial g^{ik}} \delta g^{ik} + \frac{\partial \sqrt{-g} \Lambda}{\partial \frac{\partial g^{ik}}{\partial x^l}} \delta \frac{\partial g^{ik}}{\partial x^l} \right) d\Omega = \\ &= \frac{1}{c} \int \left( \frac{\partial \sqrt{-g} \Lambda}{\partial g^{ik}} - \frac{\partial}{\partial x^l} \frac{\partial \sqrt{-g} \Lambda}{\partial \frac{\partial g^{ik}}{\partial x^l}} \right) \delta g^{ik} d\Omega \end{aligned}$$

Введем теперь обозначение

$$\frac{1}{2} \sqrt{-g} T_{ik} = \frac{\partial \sqrt{-g} \Lambda}{\partial g^{ik}} - \frac{\partial}{\partial x^l} \frac{\partial \sqrt{-g} \Lambda}{\partial \frac{\partial g^{ik}}{\partial x^l}}, \quad (187)$$

тогда  $\delta S$  примет вид

$$\delta S = \frac{1}{2c} \int T_{ik} \delta g^{ik} \sqrt{-g} d\Omega = -\frac{1}{2c} \int T^{ik} \delta g_{ik} \sqrt{-g} d\Omega. \quad (188)$$

Замечаем, что  $g^{ik} \delta g_{ik} = -g_{ik} \delta g^{ik}$ , и поэтому  $T^{ik} \delta g_{ik} = -T_{ik} \delta g^{ik}$ . Подставляя сюда выражение (185) для  $\delta g^{ik}$  и пользуясь симметрией  $T_{ik}$  получаем:

$$\delta S = \frac{1}{2c} \int T_{ik} (\xi^{i;k} + \xi^{k;i}) \sqrt{-g} d\Omega = \frac{1}{c} \int T_{ik} \xi^{i;k} \sqrt{-g} d\Omega.$$

Преобразуем это выражение следующим образом:

$$\delta S = \frac{1}{c} \int (T_i^k \xi^i)_{;k} \sqrt{-g} d\Omega - \int \frac{1}{c} T_{i;k}^k \xi^i \sqrt{-g} d\Omega. \quad (189)$$

Первый интеграл с помощью (111) может быть написан в виде

$$\frac{1}{c} \int \frac{\partial}{\partial x^k} (\sqrt{-g} T_i^k \xi^i) d\Omega$$

и преобразован в интеграл по гиперповерхности. Поскольку на границах интегрирования  $\xi^i$  обращаются в нуль, то этот интеграл исчезает. Приравнивая  $\delta S$  нулю, находим:

$$\delta S = -\frac{1}{c} \int T_{i;k}^k \xi^i \sqrt{-g} d\Omega = 0.$$

В виду произвольности  $\xi^i$  отсюда следует, что

$$T_i^k{}_k = 0. \quad (190)$$

Сравнивая это уравнение с (172), мы видим, что тензор  $T_{ik}$  должен быть отождествлен с *тензором энергии-импульса*. По-прежнему, для макроскопических тел тензор энергии импульса равен

$$T_{ik} = (p + \varepsilon)u_i u_k - p g_{ik}. \quad (191)$$

Отметим, что  $T_{00} \geq 0$ .

## 20 Уравнения Эйнштейна

### 20.1 Вывод уравнений гравитационного поля

$\delta(S_m + S_g) = 0$ ,  $S_g$  и  $S_m$  – действия гравитационного поля и материи. Варьированию подлежат величины  $g_{ik}$ . Вычислим вариацию  $\delta S_g$ :

$$\begin{aligned} \delta \int R \sqrt{-g} d\Omega &= \delta \int g^{ik} R_{ik} \sqrt{-g} d\Omega = \\ &= \int (R_{ik} \sqrt{-g} \delta g^{ik} + R_{ik} g^{ik} \delta \sqrt{-g} + g^{ik} \sqrt{-g} \delta R_{ik}) d\Omega. \end{aligned}$$

Подставляя (106)

$$\delta \sqrt{-g} = -\frac{1}{2\sqrt{-g}} \delta g = -\frac{1}{2} \sqrt{-g} g_{ik} \delta g^{ik},$$

находим

$$\delta \int R \sqrt{-g} d\Omega = \int \left( R_{ik} - \frac{1}{2} g_{ik} R \right) \delta g^{ik} \sqrt{-g} d\Omega + \int g^{ik} \delta R_{ik} \sqrt{-g} d\Omega. \quad (192)$$

Для вычисления  $\delta R_{ik}$  заметим, что  $\delta \Gamma_{kl}^i$  образуют тензор ( $\delta \Gamma_{kl}^i A_k dx^l$  – разность векторов, получающихся при параллельном переносе векторов в одну точку – вектор). Воспользуемся локально-геодезической СК (все  $\Gamma_{kl}^i = 0$ ), с помощью (159) для  $R_{ik}$  имеем (помня, что первые производные от  $g_{ik}$  равны теперь 0):

$$g^{ik} \delta R_{ik} = g^{ik} \left( \frac{\partial}{\partial x^l} \delta \Gamma_{ik}^l - \frac{\partial}{\partial x^k} \delta \Gamma_{il}^i \right) = g^{ik} \frac{\partial}{\partial x^l} \delta \Gamma_{ik}^l - g^{il} \frac{\partial}{\partial x^l} \delta \Gamma_{ik}^k = \frac{\partial w^l}{\partial x^l},$$

где

$$w^l = g^{ik} \delta \Gamma_{ik}^l - g^{il} \delta \Gamma_{lk}^l.$$

Поскольку  $w^l$  – вектор, то мы можем написать полученное соотношение в любой СК:

$$g^{ik} \delta R_{ik} = \frac{1}{-g} \frac{\partial}{\partial x^l} (\sqrt{-g} w^l).$$

Следовательно второй интеграл в правой части (192) равен

$$\int g^{ik} \delta R_{ik} \sqrt{-g} d\Omega = \int \frac{\partial \sqrt{-g} w^l}{\partial x^l} d\Omega.$$

и по теореме Гаусса может быть преобразован в интеграл от  $w^l$  по гиперповерхности, охватывающей весь 4-объем. Поскольку на пределах интегрирования вариация поля равна 0, то весь интеграл исчезает. Т.о.

$$\delta S_g = -\frac{c^3}{16\pi k} \int \left( R_{ik} - \frac{1}{2} g_{ik} R \right) \delta g^{ik} \sqrt{-g} d\Omega. \quad (193)$$

Можно было бы исходить для действия поля из выражения:

$$S_g = -\frac{c^3}{16\pi k} \int G\sqrt{-g} d\Omega,$$

тогда мы получили бы

$$\delta S_g = -\frac{c^3}{16\pi k} \int \left( \frac{\partial(G\sqrt{-g})}{\partial g^{ik}} - \frac{\partial}{\partial x^l} \frac{\partial(G\sqrt{-g})}{\partial \frac{\partial g^{ik}}{\partial x^l}} \right) \delta g^{ik} d\Omega.$$

Сравнивая это с (193), находим

$$R_{ik} - \frac{1}{2}g_{ik}R = \frac{1}{\sqrt{-g}} \left( \frac{\partial(G\sqrt{-g})}{\partial g^{ik}} - \frac{\partial}{\partial x^l} \frac{\partial(G\sqrt{-g})}{\partial \frac{\partial g^{ik}}{\partial x^l}} \right). \quad (194)$$

Для вариации действия материи согласно (188)

$$\delta S_m = \frac{1}{2c} \int T_{ik} \delta g^{ik} \sqrt{-g} d\Omega. \quad (195)$$

Для макроскопических тел обычно для  $T_{ik}$  надо писать выражение (191). Из принципа наименьшего действия  $\delta S_m + \delta S_g = 0$  находим

$$-\frac{c^3}{16\pi k} \int \left( R_{ik} - \frac{1}{2}g_{ik}R - \frac{8\pi k}{c^4}T_{ik} \right) \delta g^{ik} \sqrt{-g} d\Omega = 0,$$

откуда ввиду произвольности  $\delta g^{ik}$

$$R_{ik} - \frac{1}{2}g_{ik}R = \frac{8\pi k}{c^4}T_{ik}, \quad (196)$$

или в смешанных компонентах

$$R_{ik} - \frac{1}{2}\delta_i^k R = \frac{8\pi k}{c^4}T_i^k. \quad (197)$$

Это и есть *уравнения гравитационного поля* – основные уравнения ОТО. Их называют *уравнениями Эйнштейна*.

Упрощая (197) по индексам  $i$  и  $k$ , находим ( $T_i^i \equiv T$ ):

$$R = -\frac{8\pi k}{c^4}T. \quad (198)$$

Поэтому уравнения поля можно написать также в виде

$$R_{ik} = \frac{8\pi k}{c^4} \left( T_{ik} - \frac{1}{2}g_{ik}T \right). \quad (199)$$

Уравнения Эйнштейна нелинейны – несправедлив принцип суперпозиции (только приближенно для слабых полей).

В пустом пространстве  $T_{ik} = 0$  и уравнения гравитационного поля сводятся к

$$R_{ik} = 0. \quad (200)$$

Но это не означает, что пустое пространство плоское (для этого требуется  $R_{iklm} = 0$ ) Тензор энергии-импульса для ЭМ-поля обладает свойством  $T_i^i = 0$ , т.о. при наличии одного только ЭМ-поля (без гравитирующих масс) скалярная кривизна пространства-времени равна 0.

Известно, что дивергенция тензора энергии-импульса равна 0:

$$T_{i;k}^k = 0. \quad (201)$$

Поэтому равна нулю и дивергенция левой части уравнения (197). Т.о. уравнения содержат в себе не только уравнения движения, но и законы сохранения энергии и импульса. Для полного определения распределения и движения материи следует добавить еще и уравнение состояния вещества (связывающее давление и плотность, а также температуру, но последнее в теории тяготения обычно несущественно).

Четыре координаты  $x^i$  могут быть подвергнуты произвольному преобразованию, поэтому независимыми остаются шесть из величин  $g_{ik}$ . В силу  $u_i u^i = 1$ , остается только три независимых величины из 4-скорости, входящей в тензор энергии-импульса. Таким образом мы имеем 10 уравнений поля для 10 независимых величин:

- 6 из компонент  $g_{ik}$
- 3 из компонент  $u^i$
- плотность материи  $\varepsilon/c^2$

Для гравитационного поля в пустоте остается всего 6 неизвестных величин  $g_{ik}$

## 20.2 Особенности структуры уравнений Эйнштейна

Система дифференциальных уравнений в частных производных второго порядка. Однако в уравнения входят вторые производные входят вторые производные по времени не от всех 10 компонент  $g_{ik}$ . Из (153) видно, что  $-\ddot{g}_{\alpha\beta}/2$  содержаться только в компонентах  $R_{0\alpha 0\beta}$ , вторые производные от компонент  $g_{0\alpha}$  и  $g_{00}$  вообще отсутствуют. Ясно, что получающийся путем упрощения тензор  $R_{ik}$  тоже содержит вторые производные по времени лишь от шести пространственных компонент  $g_{\alpha\beta}$ , которые входят лишь в уравнения

$$R_\alpha^\beta - \frac{1}{2}\delta_\alpha^\beta R = \frac{8\pi k}{c^4} T_\alpha^\beta. \quad (202)$$

Уравнения же

$$R_0^0 - \frac{1}{2}R = \frac{8\pi k}{c^4} T_0^0, \quad R_\alpha^0 = \frac{8\pi k}{c^4} T_\alpha^0, \quad (203)$$

содержат производные по времени лишь первого порядка. Более того, левые части уравнений (203) не содержат и первых производных  $\dot{g}_{0\alpha}$  и  $\dot{g}_{00}$  (а лишь производные  $\dot{g}_{\alpha\beta}$ ).

Начальные условия должны задавать распределение плотности материи и трех компонент ее скорости, а также еще 4 величин, характеризующих свободное (не связанное с материей) гравитационное поле (всего 8 величин), для свободного гравитационного поля в пустоте, остается всего 4 последние величины.

## 21 Псевдотензор энергии-импульса гравитационного поля

При отсутствии гравитационного поля закон сохранения энергии и импульса материи выражается уравнением

$$\frac{\partial T^{ik}}{\partial x^k} = 0,$$

обобщение этого уравнения на случай наличия гравитационного поля является уравнение (190):

$$T_{i;k}^k = \frac{1}{\sqrt{-g}} \frac{\partial(T_i^k \sqrt{-g})}{\partial x^k} - \frac{1}{2} \frac{\partial g_{kl}}{\partial x^i} T^{kl} = 0. \quad (204)$$

В таком виде, это уравнение не выражает закона сохранения. В гравитационном поле должен сохраняться не 4-импульс одной материи, а 4-импульс материи вместе с гравитационным полем. Для определения такой величины выберем СК так, чтобы в некоторой точке все первые производные  $g_{ik}$  по координатам обратились в нуль, тогда в этой точке второй член уравнения (204) обратится в нуль, а  $\sqrt{-g}$  можно вынести из-под знака производной:

$$\frac{\partial}{\partial x^k} T_i^k = 0 \text{ или } \frac{\partial}{\partial x^k} T^{ik} = 0.$$

Величины, тождественно удовлетворяющие данному уравнению, могут быть записаны в виде

$$T^{ik} = \frac{\partial}{\partial x^l} \eta^{ikl},$$

где

$$\eta^{ikl} = -\eta^{ilk}.$$

Нетрудно привести  $T^{ik}$  к такому виду. Исходя из уравнений поля:

$$T^{ik} = \frac{c^4}{8\pi k} \left( R^{ik} - \frac{1}{2} g^{ik} R \right),$$

а для  $R^{ik}$  имеем, согласно (153):

$$R^{ik} = \frac{1}{2} g^{im} g^{kp} g^{ln} \left( \frac{\partial^2 g_{lp}}{\partial x^m \partial x^n} + \frac{\partial^2 g_{mn}}{\partial x^l \partial x^p} - \frac{\partial^2 g_{ln}}{\partial x^m \partial x^p} - \frac{\partial^2 g_{mp}}{\partial x^l \partial x^n} \right)$$

После простых преобразований тензор  $T^{ik}$  может приведен к виду

$$T^{ik} = \frac{\partial}{\partial x^l} \left\{ \frac{c^4}{16\pi k} \frac{1}{-g} \frac{\partial}{\partial x^m} [(-g)(g^{ik}g^{lm} - g^{il}g^{km})] \right\}.$$

Стоящее в фигурных скобках как раз и есть  $\eta^{ikl}$ . Введем обозначения

$$h^{ikl} = \frac{\partial}{\partial x^m} \lambda^{iklm}, \quad (205)$$

$$\lambda^{iklm} = \frac{c^4}{16\pi k} (-g)(g^{ik}g^{lm} - g^{il}g^{km}); \quad (206)$$

Величины  $h^{ikl}$  антисимметричны по двум последним индексам:

$$h^{ikl} = -h^{ilk}. \quad (207)$$

Тогда можно написать

$$\frac{\partial h^{ikl}}{\partial x^l} = (-g)T^{ik},$$

это соотношение справедливо только в предположении  $\partial g_{ik}/\partial x^l = 0$ . В произвольной СК обозначим разность  $\partial h_{ikl}/\partial x^l - (-g)T^{ik}$  через  $(-g)t^{ik}$ , тогда по определению:

$$(-g)(T^{ik} + t^{ik}) = \frac{\partial h^{ikl}}{\partial x^l}. \quad (208)$$

$t^{ik}$  – симметричен:

$$t^{ik} = t^{ki}. \quad (209)$$

$t^{ik}$  явно выражается (довольно громоздко) через символы Кристоффеля или через производные от компонент метрического тензора. Величины  $t^{ik}$  не образуют тензора, однако ведут себя как тензор по отношению к линейным преобразованиям координат (как и  $\Gamma_{kl}^i$ ).

Из определения (208) следует:

$$\frac{\partial}{\partial x^k} (-g)(T^{ik} + t^{ik}) = 0. \quad (210)$$

Это значит, что имеет место закон сохранения:

$$P^i = \frac{1}{c} \int (-g)(T^{ik} + t^{ik}) dS_k. \quad (211)$$

При отсутствии гравитационного поля в галилеевых координатах данный интеграл переходит в обычный 4-импульс материи. Поэтому величины (211) должны быть отождествлены с полным 4-импульсом материи вместе с гравитационным полем. Совокупность величин  $t^{ik}$  называют *псевдотензором энергии импульса* гравитационного поля.

Интегрирование можно проводить по любой гиперповерхности, в частности по  $x^0 = \text{const}$ :

$$P^i = \frac{1}{c} \int (-g)(T^{i0} + t^{i0}) dV. \quad (212)$$

Симметрия по индексам  $i, k$  означает, что сохраняется и 4-момент импульса:

$$M^{ik} = \int (x^i dP^k - x^k dP^i) = \frac{1}{c} \int [x^i (T^{kl} + t^{kl}) - x^k (T^{il} + t^{il})] (-g) dS_l. \quad (213)$$

Выбирай СК, инерциальную в данном элементе объема, можно обратить все  $t^{ik}$  в нуль, с другой стороны можно получить отличные от нуля  $t^{ik}$  в плоском пространстве, воспользовавшись криволинейной СК. Не имеет смысла говорить об определенной локализации энергии гравитационного поля в пространстве!

Величины же  $P^i$  имеют вполне определенный смысл: выделим область пространства, включающую в себя рассматриваемые массы. В 4-пространстве с течением времени область прорезывает «канал», вне канала поле убывает, так что пространство асимптотически приближается к плоскому. В согласии с физическим смыслом величины  $P^i$  оказываются независимы от СК внутри канала. Так как  $t^{ik}$  являются тензором по отношению к линейным преобразованиям СК, то и  $P^i$  обладают тем же свойством, в частности по отношению к преобразованиям Лоренца.

4-импульс может быть выражен в виде интеграла по удаленной трехмерной поверхности, охватывающей все «пространство». Подставив (208) в (211), находим

$$P^i = \frac{1}{c} \int \frac{\partial h^{ikl}}{\partial x^l} dS_k.$$

Можно преобразовать в

$$P^i = \frac{1}{2c} \oint h^{ikl} df_{kl}. \quad (214)$$

Если в качестве области интегрирования в (211) выбрать гиперповерхность  $x^0 = \text{const}$ , то поверхность интегрирования оказывается чисто пространственной поверхностью:

$$P^i = \frac{1}{c} \oint h^{i0\alpha} df_\alpha. \quad (215)$$

Заметим, что как будет показано далее, величины  $h^{i0\alpha}$  убывают в стационарном случае на больших расстояниях от тел по закону  $1/r^2$ , так что интеграл (215) остается конечным при удалении поверхности интегрирования на бесконечность.

Аналогично для момента импульса можно получить выражение

$$M^{ik} = \frac{1}{c} \oint (x^i h^{k0\alpha} - x^k h^{i0\alpha} + \lambda^{i0\alpha k}) df_\alpha. \quad (216)$$

## 22 Синхронная система отсчета

### 22.1 Построение синхронной СО

Условие, допускающее синхронизацию хода часов в различных точках пространства  $g_{0\alpha} = 0$ , если кроме того  $g_{00} = 1$ , то временная координата  $x^0 = t$  представляет собой собственное время в каждой точке пространства<sup>7</sup>. Систему отсчета, удовлетворяющую условиям

$$g_{00} = 1, \quad g_{0\alpha} = 0 \quad (217)$$

назовем *синхронной*. Элемент интервала в такой СО дается выражением

$$ds^2 = dt^2 - \gamma_{\alpha\beta} dx^\alpha dx^\beta, \quad (218)$$

причем

$$\gamma_{\alpha\beta} = -g_{\alpha\beta}. \quad (219)$$

В синхронной СО линии времени являются геодезическими линиями в 4-пространстве. 4-вектор  $u^i = dx^i/ds$  касательный к мировой линии  $x^1, x^2, x^3 = \text{const}$ , имеет составляющие  $u^\alpha = 0, u^0 = 1$  и автоматически удовлетворяет геодезическим уравнениям

$$\frac{du^i}{ds} + \Gamma_{kl}^i u^k u^l = \Gamma_{00}^i = 0,$$

поскольку при условиях (217)  $\Gamma_{00}^\alpha, \Gamma_{00}^0$  равны нулю.

Легко видеть, что эти линии нормальны к гиперповерхностям  $t = \text{const}$ . 4-вектор нормали к такой гиперповерхности  $n_i = \partial t / \partial x^i$  имеет ковариантные компоненты  $n_\alpha = 0, n_0 = 1$ , соответствующие контравариантные компоненты при условии (217) тоже равны  $n^\alpha = 0, n^0 = 1$ , т.е. совпадают с компонентами 4-вектора  $u^i$  касательных к линиям времени.

Обратно, этими свойствами можно воспользоваться для геометрического построения синхронной СО. Такое построение возможно всегда (да еще и несколькими способами)! Аналитически преобразование к синхронной СО можно произвести при помощи уравнения Гамильтона-Якоби (опустим пока).

### 22.2 Уравнения Эйнштейна в СО

Введем обозначение

$$\kappa_{\alpha\beta} = \frac{\partial \gamma_{\alpha\beta}}{\partial t}. \quad (220)$$

Это 3-тензор, перемещение значков и ковариантное дифференцирование осуществляется в 3-пространстве с метрикой  $\gamma_{\alpha\beta}$ . Отметим, что

$$\kappa_\alpha^\alpha = \gamma^{\alpha\beta} \frac{\partial \gamma_{\alpha\beta}}{\partial t} = \frac{\partial}{\partial t} \ln \gamma, \quad \gamma \equiv |\gamma_{\alpha\beta}| = -g. \quad (221)$$

---

<sup>7</sup> в этом параграфе положим  $c = 1$

Для символов Кристоффеля находим выражения

$$\Gamma_{00}^0 = \Gamma_{00}^\alpha = \Gamma_{0\alpha}^0 = 0, \quad \Gamma_{\alpha\beta}^0 = \frac{1}{2}\kappa_{\alpha\beta}, \quad \Gamma_{0\beta}^\alpha = \frac{1}{2}\kappa_\beta^\alpha, \quad \Gamma_{\beta\gamma}^\alpha = \lambda_{\beta\gamma}^\alpha, \quad (222)$$

где  $\lambda_{\beta\gamma}^\alpha$  – 3-мерные символы Кристоффеля, образованные из тензора  $\gamma_{\alpha\beta}$  вычисление по формуле (159) приводит к следующим выражениям для  $R_{ik}$ :

$$R_{00} = -\frac{1}{2}\frac{\partial}{\partial t}\kappa_\alpha^\alpha - \frac{1}{4}\kappa_\alpha^\beta\kappa_\beta^\alpha, \quad R_{0\alpha} = \frac{1}{2}(\kappa_{\alpha;\beta}^\beta - \kappa_{\beta;\alpha}^\beta), \quad (223)$$

$$R_{\alpha\beta} = P_{\alpha\beta} + \frac{1}{2}\frac{\partial}{\partial t}\kappa_{\alpha\beta} + \frac{1}{4}(\kappa_{\alpha\beta}\kappa_\gamma^\gamma - 2\kappa_\alpha^\gamma\kappa_{\beta\gamma}).$$

Здесь  $P_{\alpha\beta}$  – трехмерный тензор Риччи, построенный из  $\gamma_{\alpha\beta}$  так же, как и  $R_{ik}$  строится из  $g_{ik}$ .

Уравнения Эйнштейна запишем в смешанных компонентах

$$R_0^0 = -\frac{1}{2}\frac{\partial}{\partial t}\kappa_\alpha^\alpha - \frac{1}{4}\kappa_\alpha^\beta\kappa_\beta^\alpha = 8\pi k\left(T_0^0 - \frac{1}{2}T\right), \quad (224)$$

$$R_\alpha^0 = \frac{1}{2}(\kappa_{\alpha;\beta}^\beta - \kappa_{\beta;\alpha}^\beta) = 8\pi kT_\alpha^0, \quad (225)$$

$$R_\alpha^\beta = -P_\alpha^\beta - \frac{1}{2\sqrt{\gamma}}\frac{\partial}{\partial t}(\sqrt{\gamma}\kappa_\alpha^\beta) = 8\pi k\left(T_\alpha^\beta - \frac{1}{2}\delta_\alpha^\beta T\right). \quad (226)$$

Характерным свойством синхронных систем отсчета является их нестационарность: в такой системе гравитационное поле не может быть постоянным. В постоянном поле было бы  $\kappa_{\alpha\beta} = 0$ , между тем при наличии материи обращение  $\kappa_{\alpha\beta}$  противоречило хотя бы уравнению (224). Заполняющая пространство материя не может, вообще говоря, покояться относительно синхронной СО. Частицы материи, в которой действуют силы давления, не движутся по геодезическим! Исключение «пылевидная» материя ( $p = 0$ ), частицы не взаимодействуют друг с другом (надо еще, чтобы и вращения не было).

Из уравнения (224) следует, что определитель метрического тензора  $-g = \gamma$  обратится в нуль за конечное время. Выражение в правой части при любом распределении материи положительно. Из (191) имеем

$$T_0^0 - \frac{1}{2}T = \frac{1}{2}(\varepsilon + 3p) + \frac{(p + \varepsilon)v^2}{1 - v^2}$$

Из (224) имеем

$$-R_0^0 = \frac{1}{2}\frac{\partial}{\partial t}\kappa_\alpha^\alpha + \frac{1}{4}\kappa_\alpha^\beta\kappa_\beta^\alpha \leq 0. \quad (227)$$

В силу алгебраического неравенства

$$\kappa_\alpha^\beta\kappa_\beta^\alpha \geq \frac{1}{3}(\kappa_\alpha^\alpha)^2$$

можно переписать (227) в виде

$$\frac{\partial}{\partial t} \kappa_\alpha^\alpha + \frac{1}{6} (\kappa_\alpha^\alpha)^2 \leq 0$$

или

$$\frac{\partial}{\partial t} \frac{1}{\kappa_\alpha^\alpha} \geq \frac{1}{6}. \quad (228)$$

Отсюда следует, поскольку  $\kappa_\alpha^\alpha = \partial \ln \gamma / \partial t$ , что определитель  $\gamma$  обращается в нуль (не быстрее, чем  $t^6$ ). Но эта особенность – фиктивная, связанная с СО, скалярные величины (плотность материи, инварианты тензора кривизны) остаются конечными. В синхронной СО линии времени непременно пересекаются друг с другом, но это геометрический, а не физический эффект.

## 23 Тетрадное представление уравнений Эйнштейна

Определение компонент тензора Риччи – громоздкая процедура. Один из выходов – выражение тензора кривизны в *тетрадном* виде.

Введем совокупность четырех линейно-независимых *реперных* 4-векторов  $e_{(a)}^i$  ( $a$  – номер вектора), подчиненных требованию

$$e_{(a)}^i e_{(b)i} = \eta_{ab}, \quad (229)$$

где  $\eta_{ab}$  – заданная постоянная симметричная матрица с сигнатурой  $+++--$ ; обратную матрицу обозначим  $\eta^{ab}$  ( $\eta^{ac} \eta_{cb} = \delta_b^a$ ).

Наряду с *тетрадой* векторов  $e_{(a)}^i$ , введем четверку *взаимных* с ними векторов  $e^{(a)i}$ , определенных условиями

$$e_i^{(a)} e_{(b)}^i = \delta_b^a, \quad (230)$$

т.е. каждый их векторов  $e_i^{(a)}$  ортогонален трем векторам  $e_{(b)}^i$  с  $b \neq a$ . Умножив (230) на  $e_{(a)}^k$ , получим  $(e_{(a)}^k e^{(a)i}) e_{(b)}^i = e_{(b)}^j$ , откуда видно, что

$$e_i^{(a)} e_{(a)}^k = \delta_i^k. \quad (231)$$

Умножив обе части равенства  $e_{(a)}^i e_{(c)i} = \eta_{ac}$  на  $\eta^{bc}$ , получим

$$e_{(a)}^i (\eta^{bc} e_{(c)i}) = \delta_a^b;$$

сравнив с (230), находи, что

$$e_i^{(b)} = \eta^{bc} e_{(c)i}, \quad e_{(b)i} = \eta_{bc} e_i^{(c)}. \quad (232)$$

Т.е. опускание и поднимание реперных индексов осуществляется матрицами  $\eta^{bc}$  и  $\eta_{bc}$ . Значение реперных векторов в том, что через них может быть

выражен метрический тензор: имеем  $e_i^{(a)} = g_{il}a^{(a)l}$ ; умножив это равенство на  $e_{(a)k}$  и использовав (231) и (232), найдем:

$$g_{ik} = e_{(a)i}e_k^{(a)} = \eta_{ab}e_i^{(a)}e_k^{(b)}. \quad (233)$$

Квадрат элемента интервала с метрическим тензором (233) принимает вид

$$ds^2 = \eta_{ab}(e_i^{(a)}dx^i)(e_k^{(b)}dx^k). \quad (234)$$

Матрица  $\eta_{ab}$  – произвольна, наиболее естественно – «галилеева» форма  $(1, -1, -1, -1)$ , при этом реперные векторы взаимно ортогональны (один – времениподобен, три – пространственноподобны). Но это на обязательно, в силу особенностей задачи (симметрии метрики), можно выбрать и неортогональную тетраду.

Тетрадные компоненты 4-вектора  $A^i$  (и тензоров, аналогично) определяются как «проекции» на реперные 4-векторы:

$$A_{(a)} = e_{(a)}^i A_i, \quad A^{(a)} = e_i^{(a)} A^i = \eta^{(ab)} A_{(b)}. \quad (235)$$

Обратное преобразование

$$A_i = e_i^{(a)} A_{(a)}, \quad A^i = e_{(a)}^i A^{(a)}. \quad (236)$$

Определение операции дифференцирования «вдоль направления  $a$ »:

$$\varphi_{,(a)} = e_{(a)}^i \frac{\partial \varphi}{\partial x^i}.$$

Определим «коэффициенты вращения Риччи»:

$$\gamma_{abc} = e_{(a)i;k}e_{(b)}^i e_{(c)}^k \quad (237)$$

и их линейные комбинации

$$\begin{aligned} \lambda_{abc} &= \gamma_{abc} - \gamma_{acb} = \\ &= (e_{(a)i;k} - e_{(a)k;i})e_{(b)}^i e_{(c)}^k = (e_{(a)i,k} - e_{(a)k,i})e_{(b)}^i e_{(c)}^k. \end{aligned} \quad (238)$$

Последнее равенство следует из (114). Обратное выражение:

$$\gamma_{abc} = \frac{1}{2}(\lambda_{abc} + \lambda_{bca} - \lambda_{cab}). \quad (239)$$

Эти величины обладают свойствами симметрии

$$\gamma_{abc} = -\gamma_{bac}, \quad \lambda_{abc} = \lambda_{acb}. \quad (240)$$

Определение тетрадных компонент тензора кривизны. Надо исходить из определения (150), примененного к ковариантным производным реперных векторов:

$$e_{(a)i;k;l} - e_{(a)i;l;k} = e_{(a)}^m R_{mikl}$$

или

$$R_{(a)(b)(c)(d)} = (e_{(a)i;k;l} - e_{(a)i;l;k})e_{(b)}^i e_{(c)}^k e_{(d)}^l.$$

Это выражение легко выразить через  $\gamma_{abc}$ , пользуясь  $e_{(a)i;k} = \gamma_{abc} e^{(b)i} e^{(c)k}$  и тем, что ковариантная производная от скалярной величины  $\gamma_{abc}$  совпадает с ее простой производной:

$$R_{(a)(b)(c)(d)} = \gamma_{abc,d} - \gamma_{abd,c} + \gamma_{abf}(\gamma_{cd}^f - \gamma_{dc}^f) + \gamma_{afc}\gamma_{bd}^f - \gamma_{af}\gamma_{bc}^f, \quad (241)$$

где в соответствии с общим правилом  $\gamma_{bc}^a = \eta^{ad}\gamma_{dbc}$ . Упрощение по паре индексов  $a$  и  $c$  дает искомые тетрадные представления тензора Риччи:

$$\begin{aligned} R_{(a)(b)} &= -\frac{1}{2}(\lambda_{ab,c}^c + \lambda_{ba,c}^c + \lambda_{ab,c}^c + \lambda_{cb,a}^c) + \lambda_{cd,b}^{cd}\lambda_{cda} + \lambda_{cd,b}^{cd}\lambda_{dca} - \\ &\quad -\frac{1}{2}(\lambda_b^{cd}\lambda_{acd} + \lambda_{cd}^c\lambda_{ab}^d + \lambda_{cd}^c\lambda_{ba}^d). \end{aligned} \quad (242)$$

## 24 Закон Ньютона

Малые скорости частиц и слабые гравитационные поля.

$$g_{00} = 1 + \frac{2\varphi}{c^2}$$

Для компонент тензора энергии-импульса можно воспользоваться выражением  $T_i^k = \mu c^2 u_i u^k$ , где  $\mu$  – плотность массы тела (сумма масс покоя частиц в единице объема). Для медленного движения можно положить  $u^\alpha = 0$ ,  $u^0 = u_0 = 1$ . Из всех компонент  $T_i^k$  остается только

$$T_0^0 = \mu c^2, \quad T_i^i = T = \mu c^2 \quad (243)$$

Уравнения Эйнштейна напишем в форме (199):

$$R_{ik} = \frac{8\pi k}{c^4} \left( T_{ik} - \frac{1}{2} g_{ik} T \right).$$

при  $i=k=0$

$$R_0^0 = \frac{4\pi k}{c^2} \mu.$$

При вычислении  $R_0^0$  по общей формуле (159), замечаем, что члены, содержащие произведения величин  $\Gamma_{kl}^i$ , имеют второй порядок малости. Члены, содержащие производные по  $x^0 = ct$  являются малыми по сравнению с производными по координатам  $a^\alpha$ . В результате остается  $R_0^0 = R_{00} = \partial\Gamma_{00}^\alpha/\partial x^\alpha$ . Подставляя

$$\Gamma_{00}^\alpha \approx -\frac{1}{2} g^{\alpha\beta} \frac{\partial g_{00}}{\partial x^\beta} = \frac{1}{c^2} \frac{\partial\varphi}{\partial x^\alpha},$$

находим

$$R_0^0 = \frac{1}{c^2} \frac{\partial\varphi}{\partial x^\alpha} \equiv \frac{1}{c^2} \Delta\varphi.$$

Таким образом, уравнения Эйнштейна дают:

$$\Delta\varphi = 4\pi k\mu. \quad (244)$$

Это и есть уравнение гравитационного поля в нерелятивистской механике – уравнение Пуассона. Его решение:

$$\varphi = -k \int \frac{\mu}{r} dV, \quad (245)$$

в частности для потенциала поля одной частицы с массой  $m$ :

$$\varphi = -\frac{km}{r}, \quad (246)$$

следовательно сила  $F = -m' \frac{\partial \varphi}{\partial r}$ , действующая на частицу массой  $m'$ , равна

$$F = -k \frac{mm'}{r^2}. \quad (247)$$

Это – *закон тяготения Ньютона!*

## 25 Центрально-симметричное гравитационное поле

Рассмотрим гравитационное поле: центрально-симметричным должно быть не только распределение, но и движение вещества! Метрика пространства-времени, т.е. выражение для интервала  $ds$ , должна быть одинакова во всех точках, находящихся на одинаковом расстоянии от центра. В евклидовом пространстве это расстояние – радиус-вектор, в неевклидовом пространстве (при наличии гравитационного поля) нет величины, которая обладала бы свойством радиус-вектора (одновременное равенство расстояния до центра и деленой на  $2\pi$  длине окружности). Поэтому выбор «радиус-вектора» теперь произведен.

В сферических координатах  $r, \theta, \varphi$  наиболее общим центрально-симметричным выражением для  $ds^2$  является

$$ds^2 = h(r, t) dr^2 + k(r, t)(\sin^2 \theta \cdot d\varphi^2 + d\theta^2) + l(r, t) dt^2 + a(r, t) dr dt, \quad (248)$$

где  $a, h, k, l$  – некоторые функции от «радиус-вектора»  $r$  и «времени»  $t$ . Ввиду произвольности в выборе СО в ОТО, мы можем подвергнуть координаты любому преобразованию, не нарушающему центральной симметрии  $ds$ ; это значит, что мы можем преобразовать координаты координаты  $r$  и  $t$  посредством формул

$$r = f_1(r', t'), \quad t = f_2(r', t'),$$

где  $f_1, f_2$  – любые функции от новых координат  $r', t'$ . Выберем координату  $r$  и время  $t$  т.о., чтобы коэффициент  $(a, r)$  обратился в нуль, а коэффициент

$k(r, t) = r^2$ . Последнее означает, что радиус-вектор  $r$  определен так, чтобы длина окружности с центром в начале координат была равна  $2\pi r$ . Остальные величины удобно будет записать как  $h = -e^\lambda$ ,  $l = c^2 e^\nu$ , где  $\lambda$  и  $\nu$  – некоторые функции от  $r$  и  $t$ :

$$ds^2 = e^\nu c^2 dt^2 - r^2(d\theta^2 + \sin^2 \theta \cdot d\varphi^2) - e^\lambda dr^2. \quad (249)$$

Подразумевая под  $x^0, x^1, x^2, x^3$  соответственно  $ct, r, \theta, \varphi$ , мы имеем следовательно для отличных от нуля компонент метрического тензора:

$$g_{00} = e^\nu, \quad g_{11} = -e^\lambda, \quad g_{22} = -r^2, \quad g_{33} = -r^2 \sin^2 \theta.$$

Очевидно, что

$$g^{00} = e^{-\nu}, \quad g_{11} = -e^{-\lambda}, \quad g^{22} = -r^{-2}, \quad g^{33} = -r^{-2} \sin^{-2} \theta.$$

По формуле (105) найдем величины  $\Gamma_{kl}^i$  (штрих – дифференцирование по  $r$ , а точка над буквой – дифференцирование по  $ct$ ):

$$\begin{aligned} \Gamma_{11}^1 &= \frac{\lambda'}{2}, \quad \Gamma_{10}^0 = \frac{\nu'}{2}, \quad \Gamma_{33}^2 = -\sin \theta \cos \theta, \quad \Gamma_{11}^0 = \frac{\dot{\lambda}}{2} e^{\lambda-\nu}, \\ \Gamma_{22}^1 &= -r e^{-\lambda}, \quad \Gamma_{00}^1 = \frac{\nu'}{2} e^{\lambda-\nu}, \quad \Gamma_{12}^2 = \Gamma_{13}^3 = \frac{1}{r}. \\ \Gamma_{23}^3 &= \operatorname{ctg} \theta, \quad \Gamma_{00}^0 = \frac{\dot{\nu}}{2}, \quad \Gamma_{10}^1 = \frac{\dot{\lambda}}{2}, \quad \Gamma_{33}^1 = -r \sin^2 \theta e^{-\lambda}. \end{aligned} \quad (250)$$

Все остальные компоненты  $\Gamma_{kl}^i$  (кроме тех, которые отличаются перестановкой индексов  $k, l$ ) равны нулю. Для составления уравнений надо вычислить по формуле (159) компоненты тензора  $R_k^i$ . Затем простые вычисления приводят к следующим формулам

$$\frac{8\pi k}{c^4} T_1^1 = -e^{-\lambda} \left( \frac{\nu'}{r} + \frac{1}{r^2} \right) + \frac{1}{r^2}, \quad (251)$$

$$\begin{aligned} \frac{8\pi k}{c^4} T_2^2 &= \frac{8\pi k}{c^4} T_3^3 = \\ &= -\frac{1}{2} e^{-\lambda} \left( \nu'' + \frac{v^2}{2} + \frac{\nu' - \lambda'}{r} - \frac{\nu' \lambda'}{2} \right) + \frac{1}{2} e^{-\nu} \left( \ddot{\lambda} + \frac{\dot{\lambda}^2}{2} - \frac{\dot{\lambda} \dot{\nu}}{2} \right), \end{aligned} \quad (252)$$

$$\frac{8\pi k}{c^4} T_0^0 = -e^{-\lambda} \left( \frac{1}{r^2} - \frac{\lambda'}{r} \right) + \frac{1}{r^2}, \quad (253)$$

$$\frac{8\pi k}{c^4} T_0^1 = -e^{-\lambda} \frac{\lambda'}{r}. \quad (254)$$

остальные компоненты уравнения (197) тождественно обращаются в 0.

Уравнения (251)–(254) могут быть проинтегрированы до конца в очень важном случае центрально-симметричного поля в пустоте, т.е. вне создающих его масс. Полагая в этом случае  $T_k^i = 0$ , получим:

$$e^{-\lambda} \left( \frac{\nu'}{r} + \frac{1}{r^2} \right) - \frac{1}{r^2} = 0, \quad (255)$$

$$e^{-\lambda} \left( \frac{\lambda'}{r} - \frac{1}{r^2} \right) + \frac{1}{r^2} = 0, \quad (256)$$

$$\dot{\lambda} = 0 \quad (257)$$

Уравнение (252) не выписывается, так как оно является следствием остальных трех уравнений. Из (257) следует, что  $\lambda$  не зависит от времени, складывая (255) и (256), находим  $\lambda' + \nu' = 0$ , т.е.

$$\lambda + \nu = f(t), \quad (258)$$

где  $f(t)$  – функция только от  $t$ . Выбрав интервал в виде (249), мы оставили за собой возможность произвольного преобразования времени вида  $t = f(t')$ . Такое преобразование эквивалентно прибавлению к  $\nu$  произвольной функции времени, с его помощью всегда можно обратить  $f(t)$  в 0, т.е. можно считать  $\lambda + \nu = 0$ . Отметим, что *центрально-симметричное поле в пустоте автоматически оказывается статическим*.

Уравнение (256) легко интегрируется и дает:

$$e^{-\lambda} = e^\nu = 1 + \frac{\text{const}}{r}. \quad (259)$$

Как и следовало ожидать при  $r \rightarrow \infty$   $e^{-\lambda} = e^\nu = 1$ , т.е. вдали от гравитирующих тел метрика оказывается галилеевой. Постоянную легко выразить через массу тела, потребовав, чтобы на больших расстояниях выполнялся закон Ньютона<sup>8</sup> Должно быть  $g_{00} = 1 + 2\varphi/c^2$ , где потенциал  $\varphi = -km/r$ . Отсюда  $\text{const} = -2km/c$ . Эту величину называют *гравитационным радиусом тела*:

$$r_g = \frac{2km}{c^2} \quad (260)$$

Окончательно находим пространственно-временную метрику в виде:

$$ds^2 = \left( 1 - \frac{r_g}{r} \right) c^2 dt^2 - r^2 (\sin^2 \theta d\varphi^2 + d\theta^2) - \frac{dr^2}{1 - r_g/r}. \quad (261)$$

Это решение найдено Шварцшильдом (1916). Эта метрика справедлива и в случае пульсации тела. Есть зависимость только от массы тела (как и в Ньютоновской теории).

---

<sup>8</sup>Для поля внутри сферической полости  $\text{const} = 0$ , иначе была бы особенность при  $r = 0$ , таким образом метрика внутри полости оказывается галилеевой, как и в ньютоновской теории

Пространственная метрика определяется выражением:

$$dl^2 = \frac{dr^2}{1 - r_g/r} + r^2(\sin^2 \theta d\varphi^2 + d\theta^2). \quad (262)$$

Геометрический смысл координаты  $r$  определяется тем, что длина окружности с центром в центре поля равна  $2\pi r$ . Расстояние между двумя точками  $r_1$  и  $r_2$  при одном и том же радиусе есть

$$\int_{r_1}^{r_2} \frac{dr}{\sqrt{1 - r_g/r}} > r_2 - r_1. \quad (263)$$

Далее, мы видим, что  $g_{00} \leq 1$ , в связи с (71)  $d\tau = \sqrt{g_{00}}dt/c$  следует

$$d\tau \leq dt. \quad (264)$$

Происходит «замедление» времени по сравнению с временем на бесконечности (где достигается равенство)

Приведем приближенное выражение для  $ds^2$  на больших расстояниях от начала координат:

$$ds^2 = ds_0^2 - \frac{2km}{c^2}(dr^2 + c^2dt^2). \quad (265)$$

Второй член представляет собой малую поправку к галилеевой метрике. На больших расстояниях все поля центрально-симметричны, поэтому (265) определяет метрику вдали от любой системы тел.

## 26 Движение в центрально-симметричном гравитационном поле

### 26.1 Движение частицы

Движение будет происходить в одной плоскости. Выберем плоскость  $\theta = \pi/2$ . Для определения траектории воспользуемся уравнениями Гамильтона-Якоби

$$g^{ik} \frac{\partial S}{\partial x^i} \frac{\partial S}{\partial x^k} - m^2 c^2 = 0, \quad (266)$$

здесь  $m$  – масса частицы (массу центрального тела обозначим как  $m'$ ). С метрическим тензором (261) получаем:

$$\left(1 - \frac{r_g}{r}\right)^{-1} \left(\frac{\partial S}{c \partial t}\right)^2 - \left(1 - \frac{r_g}{r}\right)^{-1} \left(\frac{\partial S}{\partial r}\right)^2 - \frac{1}{r^2} \left(\frac{\partial S}{\partial \varphi}\right)^2 - m^2 c^2 = 0, \quad (267)$$

где  $r_g = 2m'k/c^2$  – гравитационный радиус центрального тела. По общим правилам решения уравнения Гамильтона-Якоби ищем  $S$  в виде:

$$S = -\mathcal{E}_0 t + M\varphi + S_r(r) \quad (268)$$

с постоянными энергией  $\mathcal{E}_0$  и моментом импульса  $M$ . Подставив (268) в (267), найдем производную  $dS_r/dr$  и затем

$$S_r = \int \left[ \frac{\mathcal{E}_0^2}{c^2} \left( 1 - \frac{r_g}{r} \right)^{-2} \left( m^2 c^2 + \frac{M^2}{r^2} \right) \left( 1 - \frac{r_g}{r} \right)^{-1} \right]^{1/2} dr. \quad (269)$$

Зависимость  $r = r(t)$  дается (как известно из механики)  $\partial S/\partial \mathcal{E}_0 = \text{const}$ , откуда

$$ct = \frac{\mathcal{E}_0^2}{mc^2} \int \frac{dr}{\left( 1 - \frac{r_g}{r} \right) \left[ \left( \frac{\mathcal{E}_0}{mc^2} \right)^2 - \left( 1 + \frac{M^2}{m^2 c^2 r^2} \right) \left( 1 - \frac{r_g}{r} \right) \right]^{1/2}}. \quad (270)$$

Траектория дается уравнением  $\partial S/\partial M = \text{const}$ , откуда

$$\varphi = \int \frac{M}{r^2} \left[ \left( \frac{\mathcal{E}_0^2}{c^2} \right) - \left( m^2 c^2 + \frac{M^2}{r^2} \right) \left( 1 - \frac{r_g}{r} \right) \right]^{1/2} dr. \quad (271)$$

Для вычисления релятивистских поправок удобно исходить из выражения (269) радиальной части действия до его дифференцирования по  $M$ . Заменим переменную интегрирования согласно  $r(r - r_g) = r'^2$ ,  $r - \frac{r_g}{2} \approx r'$ , в результате  $M^2$ ,  $M^2/r'^2$ . В остальных же членах производим разложение по степеням  $r_g/r'$  и получаем с требуемой точностью:

$$S_r = \int \left[ \left( 2\mathcal{E}' m + \frac{\mathcal{E}'^2}{c^2} \right) + \frac{1}{r} (2m^2 m' k + 4\mathcal{E}' m r_g) - \frac{1}{r^2} \left( M^2 - \frac{3m^2 c^2 r_g^2}{2} \right) \right]^{1/2} dr, \quad (272)$$

где для краткости опустили штрихи у  $r'$  и ввели нерелятивистскую энергию  $\mathcal{E}'$  (без энергии покоя). Поправочные коэффициенты в первых двух членах отражаются лишь на изменение связи между энергией и моментом частицы и параметрами ньютоновской орбиты. Изменение же коэффициента при  $1/r^2$  приводит к систематическому *вековому смещению перигелия* орбиты. Траектория определяется уравнением  $\varphi + \frac{\partial S_r}{\partial M} = \text{const}$ , то изменение угла  $\varphi$  за время одного оборота планеты по орбите есть

$$\Delta\varphi = -\frac{\partial}{\partial M} \Delta S_r,$$

разлагая  $S_r$  по степеням поправки к коэффициенте при  $1/r^2$ , получим

$$\Delta S_r = \Delta S_r^{(0)} - \frac{3m^2 c^2 r_g^2}{4M} \frac{\partial \Delta S_r^{(0)}}{\partial M},$$

где  $\Delta S_r^{(0)}$  соответствует движению по несмещающемуся замкнутому эллипсу. Дифференцируя это соотношение по  $M$  и учитывая, что

$$-\frac{\partial}{\partial M} \Delta S_r^{(0)} = \Delta\varphi^{(0)} = 2\pi,$$

найдем

$$\Delta\varphi = 2\pi + \frac{3\pi m^2 c^2 r_g^2}{2M^2} = 2\pi + \frac{6\pi k^2 m^2 m'^2}{c^2 M^2}.$$

Второй член и представляет собой искомое угловое перемещение  $\delta\varphi$  ньютона-новского эллипса за время одного оборота. Выражая его через длину большой полуоси  $a$  и эксцентриситет эллипса  $e$  с помощью известной формулы  $M^2/(km'm^2) = a(1 - e^2)$ , получим <sup>9</sup>

$$\delta\varphi = \frac{6\pi k^2 m^2 m'^2}{c^2 M^2} \quad (273)$$

## 26.2 Распространение света

Путь света определяется уравнением эйконала (126)

$$g^{ik} \frac{\partial\psi}{\partial x^i} \frac{\partial\psi}{\partial x^k} = 0.$$

отличающимся от уравнением Гамильтона-Якоби только тем, что в нем надо положить  $m = 0$ . Поэтому траекторию луча можно получить из (271), положив в ней  $m = 0$ ; вместо энергии частицы  $\mathcal{E}_0$  надо писать частоту света  $\omega_0 = -\partial\psi/\partial t$ . Введя вместо постоянной  $M$  постоянную  $\rho = cM/\omega_0$ , получим

$$\varphi = \int \frac{dr}{r^2 \sqrt{\frac{1}{\rho^2} - \frac{1}{r^2} \left(1 - \frac{r_g}{r}\right)}}. \quad (274)$$

При  $r_g \rightarrow 0$  это уравнение дает  $r = \rho/\cos\varphi$  – уравнение прямой, проходящей на расстоянии  $\rho$  от начала координат. Для исследования релятивистских поправок поступим аналогично тому, как это было сделано для частицы. Для радиальной части эйконала имеем (ср. (269)):

$$\psi_r = \frac{\omega_0}{c} \int \sqrt{\frac{r^2}{(r - r_g)^2} - \frac{\rho^2}{r(r - r_g)}} dr.$$

Производя такие же преобразования, которые служил для перехода от (269) к (272) получим

$$\psi_r = \frac{\omega_0}{c} \sqrt{1 + \frac{2r_g}{r} - \frac{\rho^2}{r^2}}$$

Разлагая теперь подынтегральное выражение по степеням  $r_g/r$ , имеем

$$\psi_r = \psi_r^{(0)} + \frac{r_g \omega_0}{c} \int \frac{dr}{\sqrt{r^2 - \rho^2}} = \psi_r^{(0)} + \frac{r_g \omega_0}{c} \operatorname{Arch} \frac{r}{\rho},$$

---

<sup>9</sup>Числовые значения по формуле (273) для Меркурия и Земли 43.0"и 3.8"за 100 лет.

где  $\psi_r^{(0)}$  отвечает классическому прямолинейному лучу. Полное изменение  $\psi_r$  при распространении луча от некоторого очень большого  $R$  до ближайшей точки  $r = \rho$  и затем снова на расстояние  $R$  есть

$$\Delta\psi_r = \Delta\psi_r^{(0)} + 2\frac{r_g\omega_0}{c} \operatorname{Arch} \frac{R}{\rho}.$$

Изменение же полярного угла  $\varphi$  вдоль луча получается дифференцированием по  $M = \rho\omega_0/c$ :

$$\Delta\varphi = -\frac{\partial\psi_r}{\partial M} = -\frac{\partial\psi_r^{(0)}}{\partial M} + \frac{2r_g R}{\rho\sqrt{R^2 - \rho^2}}.$$

Переходя к пределу  $R \rightarrow \infty$  и замечая, что прямолинейному лучу соответствует  $\Delta\varphi = \pi$ , получим

$$\Delta\varphi = \pi + \frac{2r_g}{\rho}.$$

Это означает что под влиянием поля тяготения луч искривляется, а угол между асимптотами отличается от  $\pi$  на

$$\delta\varphi = \frac{2r_g}{\rho} = \frac{4km'}{c^2\rho}. \quad (275)$$

Луч, проходящий на расстоянии  $\rho$  от центра поля, отклоняется на угол  $\delta\varphi$ <sup>10</sup>.

## 27 Гравитационный коллапс сферического тела

В шварцшильдовской метрике (261)  $g_{00}$  обращается в 0, а  $g_{11}$  – в  $\infty$  при  $r = r_g$ . Возможно ли существование тел с «радиусом», меньшим гравитационного? Определитель  $g = -r^4 \sin^2 \theta$  не имеет никакой особенности. Мы увидим, что фактически невозможно осуществление при  $r < r_g$  жесткой системы отсчета.

Для выяснения истинного характера пространственно-временной метрики в этой области произведем преобразование координат вида

$$c\tau = \pm ct \pm \int \frac{f(r)dr}{1 - r_g/r}, \quad R = ct + \int \frac{dr}{(1 - r_g/r)f(r)}. \quad (276)$$

Тогда

$$ds^2 = \frac{1 - r_g/r}{1 - f^2}(c^2d\tau^2 - f^2dR^2) - r^2(d\theta^2 + \sin^2 \theta d\varphi^2).$$

---

<sup>10</sup>Для луча, проходящего мимо края Солнца,  $\delta\varphi = 1.75''$

Устраним особенность при  $r = r_g$ , выбрав  $f(r)$  так, чтобы было  $f(r_g) = 1$ . Если положить  $f(r) = \sqrt{r_g/r}$ , то новая СК будет и синхронной ( $g_{\tau\tau} = 1$ ). Выберем для определенности верхние знаки:

$$R - c\tau = \int \frac{(1 - f^2)dr}{(1 - r_g/r)f} = \int \sqrt{\frac{r}{r_g}} dr = \frac{2}{3} \frac{r^{3/2}}{r_g^{1/2}}$$

или (постоянная интегрирования полагаем равной 0)

$$r = \left[ \frac{3}{2}(R - c\tau) \right]^{2/3} r_g^{1/3} \quad (277)$$

Элемент интервала:

$$ds^2 = c^2 d\tau^2 - \frac{dR^2}{\left[ \frac{3}{2r_g}(R - c\tau) \right]^{2/3}} - \left[ \frac{3}{2}(R - c\tau) \right]^{4/3} r_g^{2/3} (d\theta^2 + \sin^2 \theta d\varphi^2). \quad (278)$$

В этих координатах особенность на шварцшильдовой сфере отсутствует (здесь этой особенности соответствует  $\frac{3}{2}(R - c\tau) = r_g$ ). Метрика – нестационарна. Линии времени являются геодезическими, другими словами покоящиеся относительно СО «пробные» частицы – это частицы, свободно движущиеся в данном поле. Заданным значениям  $r$  отвечают мировые ли-

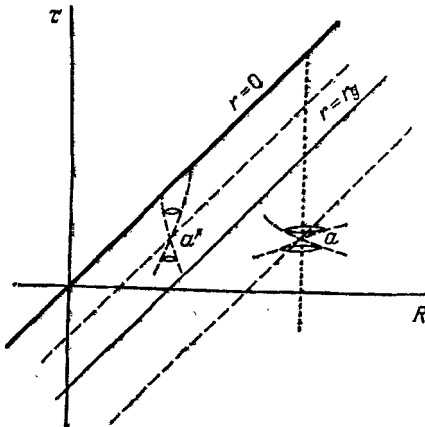


Рис. 7: Мировые линии частиц в окрестности  $r_g$

нии  $R - c\tau = \text{const}$  (наклонные линии на рис.27) Мировые линии частиц, покоящиеся относительно СО – вертикальные прямые, частицы передвигаются и падают за конечное собственное время в центр поля ( $r = 0$ ), где есть истинная особенность метрики.

Распространение радиальных световых сигналов:  $ds^2 = 0$  (при  $\theta, \varphi = \text{const}$  дает для производной  $d\tau/dR$  вдоль луча:

$$c \frac{d\tau}{dR} = \pm \left[ \frac{3}{2r_g} (r - c\tau) \right]^{-1/3} = \pm \sqrt{\frac{r_g}{r}}, \quad (279)$$

два знака отвечают двум границам светового конуса. При  $r > r_g$  (точка  $a$  на рис.27) наклон этих границ  $|cd\tau/dr| < 1$ , так что прямая  $r = \text{const}$  попадает внутрь конуса. В области же  $r < r_g$  (точка  $a'$ ) имеем  $|cd\tau/dr| > 1$  так что прямая  $r = \text{const}$  лежит вне конуса. Обе границы конуса на конечном расстоянии пересекают линию  $r = 0$ . Поскольку никакие причинно связанные события не могут лежать на мировой линии вне светового конуса, отсюда следует, что в области  $r < r_g$  никакие частицы не могут оставаться неподвижными. Все взаимодействия и сигналы за конечный промежуток времени  $\tau$  падают к центру.

Исследования условий равновесия показывают, что для тела достаточно большой массы может не существовать равновесного состояния. Такое тело должно неограниченно сжиматься (*гравитационный коллапс*).

В не связанной с телом галилеевой на бесконечности СО радиус центрального тела не может быть меньше, чем  $r_g$ . Это значит, что по часам удаленного наблюдателя радиус сжимающегося тела лишь асимптотически при  $t \rightarrow \infty$  стремиться к гравитационному радиусу. Частица на поверхности сжимающегося тела находится в поле постоянной массы  $m$ . При  $r - r_g$  силы тяготения становятся очень большими, а плотность тела (и давление) остается конечной. Пренебрегая силами давления, определим зависимость радиуса тела от времени, т.е. рассмотрим просто свободное падение свободной частицы в поле массы  $m$ . Зависимость  $r(t)$  дается (270), причем для чисто радиального движения  $M = 0$ . Если падение начинается на «расстоянии»  $r_0$  от центра с нулевой скоростью в момент  $t_0$ , то энергия частицы  $\mathcal{E}_0 = mc^2 \sqrt{1 - r_g/r_0}$  и для времени  $t$  достижения ею «расстояния»  $r$  имеем

$$c(t - t_0) = \sqrt{1 - r_g/r_0} \int_r^{r_0} \frac{dr}{(1 - r_g/r) \sqrt{r_g/r - r_g/r_0}}. \quad (280)$$

Этот интеграл расходится при  $r \rightarrow r_g$  как  $-r_g \ln(r - r_g)$ . Отсюда асимптотический закон приближения  $r$  к  $r_g$ :

$$r - r_g = \text{const} \cdot e^{-ct/r_g}. \quad (281)$$

Приближение коллапсирующего тела к гравитационному радиусу происходит по экспоненциальному закону с очень малым характерным временем  $\sim r_g/c$ .

Хотя скорость наблюдаемого извне сжатия стремится к нулю, скорость  $v$  падающих частиц, измеренная в их собственном времени, напротив, стре-

мится к скорости света. Действительно<sup>11</sup>

$$v^2 = \left( \frac{\sqrt{-g_{11}} dr}{\sqrt{g_{00}} dt} \right)^2.$$

Взяв  $g_{11}$  и  $g_{00}$  из (261), а  $dr/dt$  из (280), найдем

$$1 - \frac{v^2}{c^2} = \frac{1 - r_g/r}{1 - r_g/r_0}. \quad (282)$$

Приближение к гравитационному радиусу в сопутствующей СК занимает конечное время, это ясно уже из предварительного анализа, но можно непосредственно вычислить интеграл

$$c\tau = \int ds = \int \left( c^2 g_{00} \frac{dt^2}{dr^2} + g_{11} \right)^{1/2} dr.$$

Взяв  $dr/dt$  из (280), находим для собственного времени падения из  $r_0$  в  $r$ :

$$\tau - \tau_0 = \frac{1}{c} \int_r^{r_0} \left( \frac{r_g}{r} - \frac{r_g}{r_0} \right)^{-1/2} dr. \quad (283)$$

Этот интеграл сходится при  $r \rightarrow r_g$ .

Все частицы по собственному времени достигнут центра за конечное собственное время. Весь процесс сжатия под шварцшильдовой сферой не наблюдаем из внешней СО. Моменту прохождения поверхностью тела этой сферы отвечает  $t = \infty$  (весь процесс сжатия происходит за временной бесконечностью!). Частицы и лучи могут пересекать эту сферу (в сопутствующей СО) только в одном направлении – внутрь. Такую поверхность «одностороннего клапана» называют *горизонтом событий*.

По отношению ко внешнему наблюдателю сжатие к гравитационному радиусу сопровождается «самозамыканием» тела. Время распространения посылаемых с тела сигналов стремиться к бесконечности. Действительно  $ds^2 = 0$ , в шварцшильдовой сфере имеем  $c dt = dr/(1 - r_g/r)$ ; время от  $r$  до некоторого  $r_0 > r$  дается интегралом:

$$c \Delta t = \int_r^{r_0} \frac{dr}{1 - r_g/r} = r_0 - r + r_g \ln \frac{r_0 - r_g}{r - r_g}, \quad (284)$$

расходящимся при  $r \rightarrow r_g$ .

Интервалы собственного времени на поверхности тела сокращены по отношению к интервалам времени  $t$  бесконечно удаленного наблюдателя в отношении

$$\sqrt{g_{00}} = \sqrt{1 - \frac{r_g}{r}}; \quad (285)$$

---

<sup>11</sup> пользуясь  $v^\alpha = \frac{c dx^\alpha}{\sqrt{g_{00}}(dx^0 + g_{0\alpha}/g_{00} dx^\alpha)}$

при  $r \rightarrow r_g$  все процессы на теле по отношению к внешнему наблюдателю «застыают». Частота спектральной линии, испускаемой на теле, уменьшается не только из-за гравитационного красного смещения, но и из-за эффекта Доплера от движения источника к центру вместе с поверхностью шара. Когда радиус шара уже близок к  $r_g$  (скорость падения близка к  $c$ ), этот эффект уменьшает частоту в

$$\frac{\sqrt{1 - v^2/c^2}}{1 + v/c} \approx \frac{1}{2} \sqrt{1 - \frac{v^2}{c^2}} \quad (286)$$

раз. Под влиянием обоих эффектов частота излучаемого света стремится к нулю при  $r \rightarrow r_g$  по закону

$$\omega = \text{const} \left(1 - \frac{r_g}{r}\right). \quad (287)$$

С точки зрения удаленного наблюдателя коллапс приводит к возникновению «застывшего» тела, которое не посылает никаких сигналов и взаимодействует с внешним миром только своим статическим гравитационным полем. Такое образование называют *черной дырой* или *коллапсаром*.

## 28 Гравитационный коллапс пылевидной сферы

Выяснение хода изменения внутреннего состояния коллапсирующего тела требует решения уравнения Эйнштейна для гравитационного поля в материальной среде. Пренебрегая давлением вещества, используем уравнения состояния «пылевидной» материи. Можно использовать синхронную (одновременно и сопутствующую) СК. Сферически-симметричный элемент интервала

$$ds^2 = d\tau^2 - e^{\lambda(\tau, R)} dR^2 - r^2(\tau, R)(d\theta^2 + \sin^2 \theta d\varphi) \quad (288)$$

Функция  $r(\tau, R)$  – «радиус», определенный так, что  $2\pi r$  есть длина окружности. Вычисление компонент тензора Риччи для этой метрики приводит к следующей системе уравнений Эйнштейна:

$$-e^{-\lambda} r'^2 + 2r\ddot{r} + \dot{r}^2 + 1 = 0, \quad (289)$$

$$-\frac{e^{-\lambda}}{r}(2r'' - r'\lambda') + \frac{\dot{r}\dot{\lambda}}{r} + \ddot{\lambda} + \frac{\dot{\lambda}^2}{2} + \frac{2\ddot{r}}{r} = 0, \quad (290)$$

$$-\frac{e^{-\lambda}}{r^2}(2rr'' + r'^2 - rr'\lambda') + \frac{1}{r^2}(r\dot{r}\dot{\lambda} + \dot{r}^2 + 1) = 8\pi k\varepsilon, \quad (291)$$

$$2\dot{r}' - \dot{\lambda}r' = 0, \quad (292)$$

где штрих означает дифференцирование по  $R$ , а точка – по  $\tau$ .

Уравнение (292) непосредственно интегрируется по времени, давая

$$e^\lambda = \frac{r'^2}{1 + f(R)}, \quad (293)$$

где  $f(R)$  – произвольная функция, удовлетворяющая условию  $1 + f > 0$ , подставляя это выражение в (289), получим

$$2r\ddot{r} + \dot{r}^2 - f = 0$$

Первый интеграл этого уравнения есть

$$\dot{r}^2 = f(R) + \frac{F(R)}{r}, \quad (294)$$

где  $F(R)$  – еще одна произвольная функция. Отсюда

$$\tau = \pm \int \frac{dr}{\sqrt{f + F/r}}.$$

Получающуюся в результате интегрирования зависимость  $r(\tau, R)$  можно представить в параметрическом виде

$$r = \frac{F}{2f}(\operatorname{ch} \eta - 1), \quad \tau_0(R) - \tau = \frac{F}{2f^{2/3}}(\operatorname{sh} \eta - \eta), \quad f > 0 \quad (295)$$

$$r = \frac{F}{-2f}(1 - \cos \eta), \quad \tau_0(R) - \tau = \frac{F}{2(-f)^{3/2}}(\eta - \sin \eta), \quad f < 0 \quad (296)$$

где  $\tau_0(R)$  – снова произвольная функция. Если же  $f = 0$ , то

$$r = \left( \frac{9F}{4} \right)^{1/3} (\tau_0(R) - \tau)^{2/3}, \quad f = 0 \quad (297)$$

Во всех случаях, подставив (293) в (291) и исключив  $f$  с помощью (294) получим выражение для плотности материи:

$$8\pi k\varepsilon = \frac{F'}{r'r^2}. \quad (298)$$

Фигурируют три независимых функций, но их число может быть сведено к двум, с помощью произвольного преобразования  $R = R(R')$ . Эти функции как раз и определяют радиальному распределению плотности и радиальной скорости материи.

Поскольку СО сопутствует материи, то каждой частице вещества отвечает определенное значение  $R$ , функция  $r(\tau, R)$  определяет закон движения данной частицы, а  $\dot{r}$  есть ее радиальная скорость. Важное свойство полученного решения состоит в том, что задание входящих в него произвольных функций в интервале от 0 до некоторого  $R_0$  полностью определяет поведение сферы этого радиуса, он не зависит от значений этих функций при  $R > R_0$ . автоматически получается решение внутренней задачи для любой конечной сферы.

## 29 Гравитационный коллапс несферических и вращающихся тел

### 29.1 Нарушение сферической симметрии

- Качественная картина для тел с небольшими отклонениями от сферической симметрии та же.
- Возмущения в симметрии нарастают в процессе коллапса.
- Если возмущения малы, то они и останутся небольшими и в момент достижения телом гравитационного радиуса.

За горизонтом событий никаких возмущений мы не увидим! Останутся лишь внешние возмущения гравитационного поля, которые должны рассеяться в виде гравитационных волн. Останется ли асимметрия под горизонтом событий – вопрос не ясен до сих пор.

### 29.2 Вращение коллапсара

Должен сохраняться момент импульса. Возмущение, связанное с вращением тела описывается добавкой к шварцшильдовскому метрическому тензору

$$g_{03} = \frac{2kM}{r} \sin^2 \theta.^{12} \quad (299)$$

Получающееся поле уже не статично, а лишь стационарно. Можно утверждать, что с точки зрения внешнего наблюдателя, свойства возникающего в результате коллапса образования не зависят ни от каких характеристик первоначального тела, за исключением лишь его полных массы  $m$  и момента  $M$ .<sup>13</sup> Гравитационное поле вращающегося коллапсара дается аксиально-симметричной метрикой *Керра*.

$$\begin{aligned} ds^2 = & \left(1 - \frac{r_g r}{\rho^2}\right) dt^2 - \frac{\rho^2}{\Delta} dr^2 - \rho^2 d\theta^2 - \\ & - \left(r^2 + a^2 + \frac{r_g r a^2}{\rho^2} \sin^2 \theta\right) \sin^2 \theta d\varphi^2 + \frac{2r_g r a}{\rho^2} \sin^2 \theta d\varphi dt, \end{aligned} \quad (300)$$

где введены обозначения

$$\Delta = r^2 - r_g r + a^2, \quad \rho^2 = r^2 + a^2 \cos^2 \theta, \quad (301)$$

а  $r_g$  по-прежнему равно  $2mk$ . Эта метрика зависит от двух параметров:  $m$  и  $a$ . На больших расстояниях с точностью до членов  $\sim 1/r$  имеем

$$g_{00} \approx 1 - \frac{r_g}{r}, \quad g_{03} \approx \frac{r_g a}{r} \sin^2 \theta;$$

<sup>12</sup>В этом параграфе  $c = 1$

<sup>13</sup>Мы не рассматриваем тел, несущих на себе электрический заряд

сравнение первого выражения с (265), а второго с (299) показывает, что  $m$  – масса тела, а  $a$  связан с моментом  $M$  соотношением

$$M = ma \quad (= mac \text{ в обычных единицах}). \quad (302)$$

Метрика переходит в Шварцишильдову при  $a = 0$ . Есть симметрия по времени (при  $t \rightarrow -t, a \rightarrow -a$ ). Определитель метрического тензора из (300):

$$-g = \rho^4 \sin^2 \theta. \quad (303)$$

Метрика (300) имеет фиктивные особенности, но в шварцишильдовом случае на поверхности  $r = r_g$  происходит одновременное обращение  $g_{00} = 0$  и  $g_{11} = \infty$ , в метрике Керра эти две поверхности разделены.  $g_{00} = 0$  при  $\rho^2 = rr_g$ ; больший из двух корней этого квадратного уравнения есть

$$r_0 = \frac{r_g}{2} + \sqrt{\left(\frac{r_g}{2}\right)^2 - a^2 \cos^2 \theta} \quad (g_{00} = 0). \quad (304)$$

Обращение  $g_{11}$  в бесконечность имеет место при  $\Delta = 0$ ; больший из двух корней этого квадратного уравнения

$$r_{hor} = \frac{r_g}{2} + \sqrt{\left(\frac{r_g}{2}\right)^2 - a^2} \quad (g_{11} = \infty). \quad (305)$$

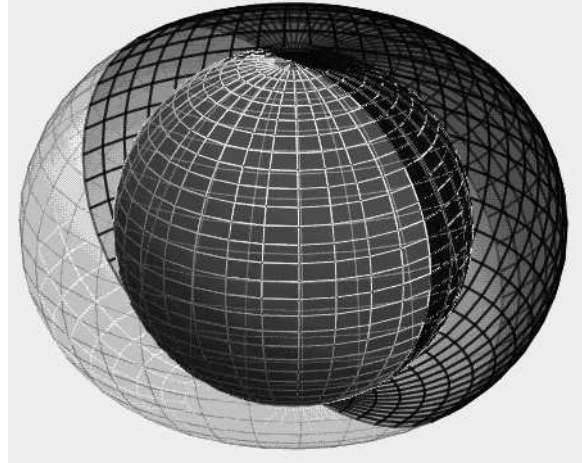


Рис. 8: Эргосфера вращающейся черной дыры

Поверхность  $r = r_0$  обозначим  $S_0$  (представляет собой сплюснутую фигуру вращения), Поверхность  $r = r_{hor}$  обозначим  $S_{hor}$  (представляет собой сферу), заключена внутри  $S_0$ , касаются друг друга в полюсах. Обе поверхности существуют только при  $a \leq r_g/2$ . При  $a > r_g/2$  появляются такие особенности метрики<sup>14</sup>, которые нарушают принцип причинности.

---

<sup>14</sup>Например, замкнутые времениподобные траектории (можно отправиться в прошлое и попасть в будущее!)

Потеря смысла метрикой Керра при  $a > r_g/2$  означает, что значение

$$a_{max} = \frac{r_g}{2}, \quad M_{max} = \frac{mr}{2} \quad (306)$$

дает верхнюю границу возможных значений момента вращения коллапсара. Соответствующие предельные радиусы

$$r_0 = \frac{r_g}{2}(1 + \sin \theta), \quad r_{hor} = \frac{r_g}{2}. \quad (307)$$

Покажем, что  $S_{hor}$  является горизонтом событий. Предварительно покажем с более общей точки зрения, что свойством одностороннего пропускания обладает всякая *нулевая гиперповерхность* – нормаль к которой в каждой ее точке является нулевым 4-вектором. Пусть гиперповерхность  $f(x^i) = \text{const}$ , нормаль к ней направлена вдоль 4-градиента  $n_i = \partial f / \partial x^i$ . Для нулевой гиперповерхности имеем  $n_i n^i = 0$ . Это значит, что направление нормали лежит в самой гиперповерхности, т.е.  $df = n_i dx^i = 0$ , это равенство выполняется, когда направление  $dx^i$  и  $n^i$  совпадают, при этом элемент длины на гиперповерхности  $ds = 0$ . Гиперповерхность касается светового конуса, построенного из данной точки. Таким образом, построенные световые конусы (например, в сторону будущего) лежат целиком по одну из сторон. Это свойство как раз и означает, что мировые линии частиц или световых лучей могут пересекать гиперповерхность лишь в одну сторону. Это выражение носит тривиальный характер, отражающий невозможность движения со скоростью, большей скорости света (простейший пример, гиперплоскость  $x = t$  в плоском пространстве-времени).

Нетривиальная ситуация возникает, когда нулевая гиперповерхность не простирается на пространственную бесконечность. Ее сечения ( $t = \text{const}$ ) представляют собой замкнутые пространственные поверхности. Такой же является и поверхность  $S_{hor}$  в поле Керра. Условие  $n_i n^i = 0$  для гиперповерхности  $f(r, \theta) = \text{const}$  имеет вид

$$g^{11} \left( \frac{\partial f}{\partial r} \right)^2 + g^{22} \left( \frac{\partial f}{\partial \theta} \right)^2 = \frac{1}{\rho^2} \left[ \Delta \left( \frac{\partial f}{\partial r} \right)^2 + \left( \frac{\partial f}{\partial \theta} \right)^2 \right] = 0 \quad (308)$$

Это уравнение выполняется на  $S_{hor}$  (для которой  $\partial f / \partial \theta = 0$ ,  $\Delta = 0$ ), но не выполняется на  $S_0$ .

Продолжение метрики Керра под горизонт событий (как это было сделано для метрики Шварцшильда) не имеет физического смысла. Эффекты несферичности в сопутствующей СО нарастают, и поэтому нет никаких оснований ожидать, что поле под горизонтом могло определяться всего лишь полной массой и моментом тела.

### 29.3 Эргосфера

Основное свойство эргосферы – никакая частица не может оставаться в покое по отношению к СО удаленного наблюдателя: при  $r, \theta, \varphi = \text{const}$  имеем

$ds^2 < 0$ , т.е. интервал не времениподобен, как это д.б. для мировой линии частицы, переменная  $t$  теряет свой временной характер. Жесткая СО не может простираться от бесконечности внутрь эргосферы.

В эргосфере невозможно  $\varphi = \text{const}$  (в шварцшильдовской метрике невозможно  $r = \text{const}$ ), но возможно  $r = \text{const}$ . Более того, частицы и световые лучи могут двигаться как с уменьшением, так и с увеличением  $r$ , выходя во внешнее пространство.

Из-за вращательного движения частиц естественная форма представления метрики в эргосфере:

$$ds^2 = \left( g_{00} - \frac{g_{03}^2}{g_{33}} \right) dt^2 + g_{11} dr^2 + g_{22} d\theta^2 + g_{33} \left( d\varphi + \frac{g_{03}}{g_{33}} dt \right)^2. \quad (309)$$

Коэффициент при  $dt^2$

$$g_{00} - \frac{g_{03}^2}{g_{33}} = \frac{\Delta}{r^2 + a^2 + r_g r a^2 \sin^2 \theta / \rho^2}$$

положителен везде вне  $S_{Hor}$  (и не обращается в нуль при  $S_0$ ); интервал  $ds$  на  $r = \text{const}$ ,  $\theta = \text{const}$ ,  $d\varphi = -(g_{03}/g_{33})dt$  времениподобен. Величина

$$-\frac{g_{03}}{g_{33}} = \frac{r_g a r}{\rho^2(r^2 + a^2) + r_g r a^2 \sin^2 \theta} \quad (310)$$

играет роль «угловой скорости вращения эргосферы» относительно внешней СО (направление совпадает с направлением вращения центрального тела). Обратим внимание, что интервалы собственного времени не обращаются в нуль вместе с  $g_{00}$  – поверхность  $S_0$  не является поверхностью бесконечного красного смещения.

Энергия частицы, определенная как производная  $-\partial S/\partial \tau$  от действия по собственному времени (синхронизированному вдоль траектории) всегда положительна. При движении частицы в поле, не зависящем от  $t$ , сохраняется энергия  $\mathcal{E}_0 = -\partial S/\partial t$ ; эта величина совпадает с ковариантной компонентой 4-импульса  $p_0 = m u_0 = m g_{0i} dx^i$  (здесь  $m$  – масса частицы). Тот факт, что переменная  $t$  (время по удаленным часам) не имеет в эргосфере временно-го характера, приводит к своеобразной ситуации: в этой области  $g_{00} < 0$ , и поэтому величина

$$\mathcal{E}_0 = m (g_{00} u^0 + g_{03} u^3) = m \left( g_{00} \frac{dt}{ds} + g_{03} \frac{d\varphi}{ds} \right)$$

может быть отрицательной. Поскольку во внешнем пространстве  $t$  – время, то  $\mathcal{E}_0$  не может быть отрицательной, то частица с  $\mathcal{E}_0 < 0$  не может попасть в эргосферу извне. Возможный источник возникновение такой частицы – распад влетающего в эргосферу тела, скажем, на две части: одна часть захватывается на орбиту с «отрицательной энергией», эта часть не может выйти из эргосферы и захватывается внутрь горизонта. Вторая часть может

выйти во внешнее пространство; поскольку  $\mathcal{E}_0$  – аддитивная сохраняющаяся величина, то энергия этой частицы окажется больше энергии первоначального тела – произойдет извлечение энергии из вращающейся черной дыры!

$S_0$  не является особой для 4-метрики, но пространственная метрика имеет особенность (в СО (300)): вне  $S_0$ , где переменная  $t$  имеет временной характер, метрический тензор вычисляется по (78) и элемент пространственного расстояния имеет вид

$$dl^2 = \frac{\rho^2}{\Delta} + \rho^2 d\theta^2 + \frac{\Delta \sin^2 \theta}{1 - r/r_g/\rho^2} d\varphi^2. \quad (311)$$

Вблизи  $S_0$  длины параллелей ( $\theta = \text{const}$ ,  $r = \text{const}$ ) стремятся к бесконечности по закону  $2\pi \sin^2 \theta / \sqrt{g_{00}}$ . Здесь же стремится к бесконечности и разность показания часов (134) при их синхронизации вдоль этого замкнутого контура.

### 30 Гравитационное поле вдали от тел

Рассмотрим стационарное гравитационное поле на больших расстояниях  $r$  от создающего его тела и определим первые члены его разложения по степеням  $1/r$  Метрика пространства в слабом поле «почти галилеева»:

$$g_{00}^{(0)} = 1, \quad g_{0\alpha}^{(0)} = 0, \quad g_{\alpha\beta}^{(0)} = -\delta_{\alpha\beta}. \quad (312)$$

Соответственно этому представим  $g_{ik}$  в виде

$$g_{ik} = g_{ik}^{(0)} + h_{ik}, \quad (313)$$

где  $h_{ik}$  – малые поправки, определяющие гравитационное поле. Условимся опускать и поднимать индексы тензора  $h_{ik}$  с помощью «невозмущенной» метрики:  $h_i^k = g^{(0)kl} h_{il}$ . При необходимо отличать  $h^{ik}$  от поправок в контравариантных компонентах метрического тензора  $g^{ik}$ . Поправки определяются решением уравнений

$$g_{il} g^{lk} = (g_{il}^{(0)} + h_{il}) g^{lk} = \delta_i^k.$$

С точностью до величин второго порядка малости находим

$$g^{ik} = g^{ik(0)} - h^{ik} + h_l^i h^{lk}. \quad (314)$$

С той же точностью определитель метрического тензора

$$g = g^{(0)} \left( 1 + h + \frac{1}{2} h^2 - \frac{1}{2} h_k^i h_i^k \right), \quad (315)$$

где  $h \equiv h_i^i$ .

Малость  $h_{ik}$  не фиксирует однозначного выбора СО. Оно будет выполнено и после любого преобразования  $x'^i = x^i + \xi^i$ , где  $x^i$  – малые величины. Тензор  $h_{ik}$  переходит (186) при этом в

$$h'_{ik} = h_{ik} - \frac{\partial x^i}{\partial x_k} - \frac{\partial x_k}{\partial x^i}, \quad (316)$$

где  $\xi_i = g_{ik}^{(0)} \xi^k$  (ввиду постоянства  $g^{(0)ik}$  ковариантные производные сводятся к обычным).

В первом приближении малые добавки даются сопутствующими членами метрики Шварцшильда. Если Шварцшильдова метрика представлена в виде (261), первые члены разложения при больших  $r$  даются (265). Переходя от сферических координат к декартовым ( $dr = n_\alpha dx^\alpha$ ,  $\mathbf{n}$  – единичный вектор в направлении  $\mathbf{r}$ ), получим

$$h_{00}^{(1)} = \frac{r_g}{r}, \quad h_{\alpha\beta}^{(1)} = -\frac{r_g}{r} n_\alpha n_\beta, \quad h_{0\alpha}^{(1)} = 0, \quad (317)$$

где  $r_g = 2km/c^2$ .

Члены, пропорциональные  $1/r^2$  имеют двоякое происхождение: часть членов возникает в результате нелинейности уравнений Эйнштейна, остальные члены второго порядка возникают как соответствующие решения линеаризованных уравнений поля. Поскольку последние зависят только от массы тела, то только от нее зависят эти члены второго порядка. Ясно, что эти члены можно получить путем разложения шварцшильдовой метрики. В тех же координатах найдем:

$$h_{00}^{(2)} = 0, \quad h_{\alpha\beta}^{(2)} = -\left(\frac{r_g}{r}\right)^2 n_\alpha n_\beta, \quad (318)$$

Остальные члены второго порядка возникают как соответствующие решения линеаризованных уравнений поля. Произведем линеаризацию уравнений, выписывая сначала формулы в более общем виде, чем понадобится здесь (не учитывая сразу стационарности поля).

При малых  $h_{ik}$  величины  $\Gamma_{kl}^i$  тоже малы, поэтому, пренебрегая степенями выше первой, мы можем оставить в тензоре кривизны (153) только члены в первой скобке:

$$R_{iklm} = \frac{1}{2} \left( \frac{\partial^2 h_{im}}{\partial x^k \partial x^l} + \frac{\partial^2 h_{kl}}{\partial x^i \partial x^m} - \frac{\partial^2 h_{il}}{\partial x^k \partial x^m} - \frac{\partial^2 h_{km}}{\partial x^i \partial x^l} \right). \quad (319)$$

Для тензора Риччи с той же точностью

$$R_{ik} = g^{lm} R_{limk} \approx g^{lm(0)} R_{limk},$$

или

$$R_{ik} = \frac{1}{2} \left( -g^{lm(0)} \frac{\partial^2 h_{ik}}{\partial x^l \partial x^m} + \frac{\partial^2 h_i^l}{\partial x^k \partial x^l} + \frac{\partial^2 h_k^l}{\partial x^k \partial x^m} - \frac{\partial^2 h^l}{\partial x^i \partial x^k} \right). \quad (320)$$

Это выражение можно упростить, наложив на  $h_{ik}$  четыре дополнительных (по числу произвольных функций  $\xi^i$ ) условия

$$\frac{\partial \psi_i^k}{\partial x^k} = 0, \quad \psi_i^k = h_i^k - \frac{1}{2} \delta_i^k h. \quad (321)$$

Тогда три последних члена в (320) взаимно сокращаются и остается

$$R_{ik} = -\frac{1}{2} g^{lm(0)} \frac{\partial^2 h_{ik}}{\partial x^l \partial x^m} \quad (322)$$

В стационарном случае, когда  $h_{ik}$  не зависят от времени (322) сводится к  $R_{ik} = \Delta h_{ik}/2$ , где  $\Delta$  – оператор Лапласа по пространственным координатам. Уравнения Эйнштейна для поля в пустоте сводятся, таким образом, к уравнениям Лапласа

$$\Delta h_{ik} = 0, \quad (323)$$

с дополнительными условиями (321), принимающими вид

$$\frac{\partial}{\partial x^\beta} \left( h_\alpha^\beta - \frac{1}{2} \delta_\alpha^\beta \right) = 0, \quad (324)$$

$$\frac{\partial}{\partial x^\beta} h_0^\beta = 0. \quad (325)$$

Эти условия все еще не фиксируют вполне однозначного выбора СО. Если  $h_{ik}$  удовлетворяют условиям (324) и (325), то таким же условиям будут удовлетворять и  $h'_{ik}$  (316), если только

$$\Delta \xi^i = 0. \quad (326)$$

Компонента  $h_{00}$  должна даваться скалярным решением трехмерного уравнения Лапласа. Такое решение, пропорциональное  $1/r^2$  имеет вид  $\mathbf{a} \nabla (1/r)$ , где  $\mathbf{a}$  – постоянный вектор. Но член такого вида в  $h_{00}$  всегда может быть ликвидирован путем простого смещения начала координат.

Компоненты  $h_{0\alpha}$  даются векторным решением уравнения Лапласа:

$$h_{0\alpha} = \lambda_{\alpha\beta} \frac{\partial}{\partial x^\beta} \frac{1}{r}$$

где  $\lambda_{\alpha\beta}$  – постоянный тензор. Условие (325) дает

$$\lambda_{\alpha\beta} \frac{\partial^2}{\partial x^\alpha \partial x^\beta} \frac{1}{r} = 0,$$

откуда следует, что  $\lambda_{\alpha\beta}$  должны иметь вид  $a_{\alpha\beta} + \lambda \delta_{\alpha\beta}$ , где  $a_{\alpha\beta}$  – антисимметричный тензор. Решение вида  $\lambda \frac{\partial}{\partial x^\alpha} \frac{1}{r}$  может быть исключено преобразованием с  $\xi^0 = \lambda/r$ ,  $\xi^\alpha = 0$ . Поэтому реальным смыслом обладает лишь решение

$$h_{0\alpha} = a_{\alpha\beta} \frac{\partial}{\partial x^\beta} \frac{1}{r}.$$

Аналогичными рассуждениями можно показать, что надлежащим преобразованием пространственных координат всегда можно исключить величины  $h_{\alpha\beta}$ , даваемые тензорным решением уравнения Лапласа.

Тензор  $a_{\alpha\beta}$  связан с тензором полного момента  $M_{\alpha\beta}$  выражением

$$h_{0\alpha}^{(2)} = \frac{2k}{c^3} M_{\alpha\beta} \frac{\partial}{\partial x^\beta} \frac{1}{r} = \frac{2k}{c^3} M_{\alpha\beta} \frac{n_\beta}{r^2}. \quad (327)$$

Это выражение получается в результате вычисления интеграла (216). Подчеркнем, что в общем случае, когда поле вблизи тела может и не быть слабым,  $M_{\alpha\beta}$  – момент импульса тела вместе с гравитационным полем, лишь если поле слабо, его вкладом в момент можно пренебречь.

Формулы (317), (318) и (327) дают ответ с точностью до членов порядка  $\frac{1}{r^2}$ . Ковариантные компоненты метрического тензора:

$$g_{ik} = g_{ik}^{(0)} + h_{ik}^{(1)} + h_{ik}^{(2)}. \quad (328)$$

Формула (327) может быть переписана в векторном виде

$$\mathbf{g} = \frac{2k}{c^3 r^2} [\mathbf{n} \mathbf{M}], \quad (329)$$

где вектор  $\mathbf{M}$  – вектор полного момента тела. В стационарном гравитационном поле на частицу действует «кориолисова сила», такая же какая действовала бы на частицу в СО, вращающейся с угловой скоростью

$$\boldsymbol{\Omega} = \frac{c}{2} \sqrt{g_{00}} \operatorname{rot} \mathbf{g}.$$

Поэтому можно сказать, что в поле вращающегося тела на удаленную частицу действует кориолисова сила, отвечающая угловой скорости:

$$\boldsymbol{\Omega} \approx \frac{c}{2} \operatorname{rot} \mathbf{g} = \frac{k}{c^2 r^3} [\mathbf{M} - 3\mathbf{n}(\mathbf{M}\mathbf{n})]. \quad (330)$$

Применим выражения (317) для вычисления полной энергии гравитирующего тела по интегралу (215). Вычислив нужные коэффициенты  $h^{ikl}$  по формуле (205), (206) получим с требуемой точностью

$$h^{\alpha 0\beta} = 0$$

$$h^{00\alpha} = \frac{c^4}{16\pi k} \frac{\partial}{\partial x^\beta} (g^{00} g^{\alpha\beta}) = \frac{mc^2}{8\pi} \frac{\partial}{\partial x^\beta} \left( -\frac{\delta^\alpha \beta}{r} + \frac{x^\alpha x^\beta}{r^3} \right) = \frac{mc^2}{4\pi} \frac{n^\alpha}{r^2}.$$

Интегрируя теперь в (215) по сфере радиуса  $r$ , получим окончательно:

$$P^\alpha = 0, \quad P^0 = mc \quad (331)$$

– результат, который следовало ожидать. Он является отражением факта равенства «тяжелой» и «инертной» масс.

В случае постоянного гравитационного поля оказывается возможным вывести простое выражение для полной энергии материи вместе с полем в виде интеграла только по пространству, занятому материей. Получить его можно из выражения (справедливого только, когда все величины на зависят от  $x^0$ ):

$$R_0^0 = \frac{1}{\sqrt{-g}} \frac{\partial}{\partial x^\alpha} (\sqrt{-g} g^{i0} \Gamma_{0i}^\alpha). \quad (332)$$

Интегрируя  $R_0^0 \sqrt{-g}$  по трехмерному пространству и применив теорему Гаусса, получим

$$\int R_0^0 \sqrt{-g} dV = \oint \sqrt{-g} g^{i0} \Gamma_{0i}^\alpha df_\alpha.$$

Взяв достаточно удаленную поверхность интегрирования и воспользовавшись на ней выражениями (317) для  $g_{ik}$ , получим

$$\int R_0^0 \sqrt{-g} dV = \frac{4\pi k}{c^2} m = \frac{4\pi k}{c^3} P^0.$$

Замечая, что согласно уравнениям поля,

$$R_0^0 = \frac{8\pi k}{c^4} \left( T_0^0 - \frac{1}{2} T \right) = \frac{4\pi k}{c^4} (T_0^0 - T_1^1 - T_2^2 - T_3^3),$$

получаем исходную формулу

$$P^0 = mc = \frac{1}{c} \int (T_0^0 - T_1^1 - T_2^2 - T_3^3) \sqrt{-g} dV \quad (333)$$

Эта формула выражает полную энергию материи и постоянного гравитационного поля через тензор энергии-импульса одной только материи.

### 31 Уравнения движения системы тел во втором приближении

Далее мы увидим, что гравитационные волны появятся лишь в пятом приближении по  $1/c$ . следовательно, система гравитирующих тел может быть описана с помощью функции Лагранжа с точностью до членов порядка  $1/c^4$  (в отличие от э-м поля!, где это возможно только до членов 2-го порядка). Произведем вывод функции Лагранжа системы тел с точностью до членов 2-го порядка (постньютоновское приближение). Пренебрегаем размерами и структурой тел. С точностью до величин порядка  $1/c^2$  поле вдали от тел дается полученными выражениями  $h_{ik}^{(1)}$ . Поскольку поле  $h_{ik}^{(1)}$  представляет решение линеаризованных уравнений Эйнштейна, то для него справедлив принцип суперпозиции. Вдали от тел поле получается просто суммированием полей каждого из них:

$$h_\alpha^\beta = -\frac{2}{c^2} \varphi \delta_\alpha^\beta, \quad (334)$$

$$h_0^0 = \frac{2}{c^2} \varphi, \quad h_0^\alpha = 0, \quad (335)$$

где

$$\varphi(\mathbf{r}) = -k \sum_a \frac{m_a}{|\mathbf{r} - \mathbf{r}_a|}$$

есть ньютонов потенциал системы точечных тел. Выражение для интервала

$$ds^2 = \left(1 + \frac{2}{c^2} \varphi\right) c^2 dt^2 - \left(1 - \frac{2}{c^2} \varphi\right) (dx^2 + dy^2 + dz^2). \quad (336)$$

В ньютоновском приближении учитывался только  $g_{00}$ . Для получения исключенных уравнений достаточно знать компоненты  $h_{\alpha\beta}$  с полученной в (334) точностью ( $\sim 1/c^2$ ), смешанные компоненты необходимо иметь с точностью до  $\sim 1/c^3$ , а временную  $h_{00}$  – до  $\sim 1/c^4$ .

Пренебрегая размерами тел выписываем в криволинейных координатах

$$T^{ik} = \sum_a \frac{m_a c}{\sqrt{-g}} \frac{dx^i}{ds} \frac{dx^k}{dt} \delta(\mathbf{r} - \mathbf{r}_a) \quad (337)$$

Компонента

$$T_{00} = \sum_a \frac{m_a c^3}{\sqrt{-g}} g_{00}^2 \frac{dt}{ds} \delta(\mathbf{r} - \mathbf{r}_a)$$

в первом приближении (галилеевы  $g_{ik}$ ) равна  $\sum_a m_a c^2 \delta(\mathbf{r} - \mathbf{r}_a)$ ; в следующем приближении (подставляем  $g_{ik}$  из (336))

$$T_{00} = \sum_a m_a c^2 \left(1 + \frac{5\varphi_a}{c^2} + \frac{v_a^2}{2c^2}\right) \delta(\mathbf{r} - \mathbf{r}_a), \quad (338)$$

где  $\mathbf{v}$  – обычная трехмерная скорость ( $v^\alpha = dx^\alpha/dt$ ), а  $\varphi_a$  – потенциал поля в точке  $\mathbf{r}_a$ .

Для компонент  $T_{\alpha\beta}$  и  $T_{0\alpha}$  то для них в том же приближении достаточно первых членов разложения выражений (337):

$$T_{\alpha\beta} = \sum_a m_a v_{a\alpha} v_{a\beta} \delta(\mathbf{r} - \mathbf{r}_a), \quad T_{0\alpha} = \sum_a m_a c v_{a\alpha} \delta(\mathbf{r} - \mathbf{r}_a). \quad (339)$$

Переходим к вычислению компонент тензора  $R_{ik}$  по формуле  $R_{ik} = g^{lm} R_{limk}$  с  $R_{limk}$  из (153). Главные члены  $R_{00}$  порядка  $1/c^2$ , наряду с ними мы должны сохранить и члены  $\sim 1/c^4$ . Результат

$$\begin{aligned} R_{00} = & \frac{1}{c} \frac{\partial}{\partial t} \left( \frac{\partial h_0^\alpha}{\partial x^\alpha} - \frac{1}{2c} \frac{\partial h_\alpha^\alpha}{\partial t} \right) + \frac{1}{2} \Delta h_{00} + \frac{1}{2} h^{\alpha\beta} \frac{\partial^2 h_{00}}{\partial x^\alpha \partial x^\beta} - \\ & - \frac{1}{4} \left( \frac{\partial h_{00}}{\partial x^\alpha} \right)^2 - \frac{1}{4} \frac{\partial h_{00}}{\partial x^\beta} \left( 2 \frac{\partial h_\beta^\alpha}{\partial x^\alpha} - \frac{\partial h_\alpha^\alpha}{\partial x^\beta} \right). \end{aligned}$$

Еще не было дополнительного условия на  $h_{ik}$ , налагая

$$\frac{\partial h_0^\alpha}{\partial x^\alpha} - \frac{1}{2c} \frac{\partial h_\alpha^\alpha}{\partial t} = 0, \quad (340)$$

убираем из  $R_{00}$  члены, содержащие  $h_{0\alpha}$ , и получаем с требуемой точностью

$$R_{00} = \frac{1}{2} \Delta h_{00} + \frac{2}{c^4} \varphi \Delta \varphi - \frac{2}{c^4} (\nabla \varphi)^2. \quad (341)$$

Для  $R_{0\alpha}$  (сохраняя члены до  $\sim 1/c^3$ ) аналогичным образом получим

$$R_{0\alpha} = \frac{1}{2c} \frac{\partial^2 h_\alpha^\beta}{\partial t \partial x^\beta} + \frac{1}{2} \frac{\partial^2 h_0^\beta}{\partial x^\alpha \partial x^\beta} - \frac{1}{2c} \frac{\partial^2 h_\beta^\alpha}{\partial t \partial x^\alpha} + \frac{1}{2} \Delta h_{0\alpha}$$

и с учетом условия (340):

$$R_{0\alpha} = \frac{1}{2} \Delta h_{0\alpha} + \frac{1}{2c^3} \frac{\partial \varphi}{\partial t \partial x^\alpha} \quad (342)$$

С помощью полученных выражений (338)-(342) составим уравнения Эйнштейна:

$$R_{ik} = \frac{8\pi k}{c^4} \left( T_{ik} - \frac{1}{2} g_{ik} T \right). \quad (343)$$

Временная компонента дает

$$\frac{1}{2} \Delta h_{00} + \frac{2}{c^4} \varphi \Delta \varphi - \frac{2}{c^4} (\nabla \varphi)^2 = \frac{8\pi k}{c^4} \sum_a m_a c^2 \left( 1 + \frac{5\varphi_a}{c^2} + \frac{v_a^2}{2c^2} \right) \delta(\mathbf{r} - \mathbf{r}_a); \quad (344)$$

с помощью тождества

$$4(\nabla \varphi)^2 = 2\Delta(\varphi^2) - 4\varphi \Delta \varphi$$

и уравнения ньютоновского потенциала

$$\Delta \varphi = 4\pi k i \sum_a m_a \delta(\mathbf{r} - \mathbf{r}_a) \quad (345)$$

переписываем это уравнение в виде

$$\Delta \left( h_{00} + \frac{2}{c^4} \varphi^2 \right) = \frac{8\pi k}{c^2} \sum_a m_a \left( 1 + \frac{5\varphi_a}{c^2} + \frac{v_a^2}{2c^2} \right) \delta(\mathbf{r} - \mathbf{r}_a). \quad (346)$$

После проведения всех вычислений мы заменили в правой части уравнения (346)  $\varphi_a$  на

$$\varphi'_a = -k \sum_b' \frac{m_b}{|\mathbf{r}_a - \mathbf{r}_b|},$$

т.е. на потенциал, создаваемый в точке  $a$  всеми телами, за исключением тела  $m_a$ . Эта операция соответствует «перенормировке» всех масс, в результате

которой они принимают свои истинные значения, учитывая создаваемые телами поля.

Решение уравнения (346) может быть написано сразу, учитывая соотношение:

$$\Delta \frac{1}{r} = -4\pi\delta(\mathbf{r}). \quad (347)$$

Таким образом, найдем

$$h_{00} = \frac{2\varphi}{c^2} + \frac{2\varphi^2}{c^4} - \frac{2k}{c^4} \sum_a \frac{m_a \varphi'_a}{|\mathbf{r} - \mathbf{r}_a|} - \frac{3k}{c^4} \sum_a \frac{m_a v_a^2}{|\mathbf{r} - \mathbf{r}_a|}. \quad (348)$$

Смешанная компонента уравнения (343) дает

$$\Delta h_{0\alpha} = -\frac{16\pi k}{c^3} \sum_a m_a v_{a\alpha} \delta(\mathbf{r} - \mathbf{r}_a) - \frac{1}{c^3} \frac{\partial^2 \varphi}{\partial t \partial x^\alpha}. \quad (349)$$

Решение этого линейного уравнения есть

$$h_{0\alpha} = \frac{4k}{c^3} \sum_a \frac{m_a v_{a\alpha}}{|\mathbf{r} - \mathbf{r}_a|} - \frac{1}{c^3} \frac{\partial^2 f}{\partial t \partial x^\alpha},$$

где  $f$  – решение вспомогательного уравнения

$$\Delta f = \varphi = -\sum \frac{km_a}{|\mathbf{r} - \mathbf{r}_a|}.$$

Учитывая соотношение  $\Delta r = 2/r$ , находим

$$f = -\frac{k}{2} \sum_a m_a |\mathbf{r} - \mathbf{r}_a|,$$

и затем, после простого вычисления, окончательно получаем

$$h_{0\alpha} = \frac{k}{2c^3} \sum_a \frac{m_a}{|\mathbf{r} - \mathbf{r}_a|} [7v_{a\alpha} + (\mathbf{v}_a \mathbf{n}_a) n_{a\alpha}], \quad (350)$$

где  $\mathbf{n}_a$  – единичный вектор в направлении вектора  $\mathbf{r} - \mathbf{r}_a$ . Выражения (334), (348), (350) достаточны для вычисления искомой функции Лагранжа с точностью до членов 2-го порядка. Функция Лагранжа одного тела в гравитационном поле, создаваемом другими телами:

$$L_a = -m_a c \frac{ds}{dt} = -m_a c^2 \left( 1 + h_{00} + 2h_{0\alpha} \frac{v_a^\alpha}{c} - \frac{v_a^2}{c^2} + h_{\alpha\beta} \frac{v_a^\alpha v_a^\beta}{c^2} \right)^{1/2}.$$

Раскладывая радикал и опустив несущественную постоянную  $-m_a c^2$ , переписываем с требуемой точностью:

$$L_a = \frac{m_a v_a^2}{2} + \frac{m_a v_a^4}{8c^2} - m_a c^2 \left( \frac{h_{00}}{2} + h_{0\alpha} \frac{v_a^\alpha}{c} + \frac{1}{2c^2} h_{\alpha\beta} v_a^\alpha v_a^\beta - \frac{h_{00}^2}{8} + \frac{h_{00}}{4c^2} v_a^2 \right). \quad (351)$$

Значения всех  $h_{ik}$  берутся в точке  $\mathbf{r}_a$ ; члены, обращающиеся в бесконечность, опускаем.

Полная функция Лагранжа  $L$  не равна сумме функций  $L_a$ ! Но  $L_a$  составлена так, что приводит к правильным значениям сил  $\mathbf{f}_a$ , действующих на каждое тело при заданном движении всех остальных. Для этого вычисляем силы  $\mathbf{f}_a$ :

$$\mathbf{f}_a = \left( \frac{\partial L_a}{\partial \mathbf{r}} \right)_{\mathbf{r}=\mathbf{r}_a}$$

После этого легко составить такую общую функцию  $L$ , из которой все те же силы  $\mathbf{f}_a$  получаются взятием частных производных  $\partial L / \partial \mathbf{f}_a$ . Окончательный результат:

$$L = \sum_a \frac{m_a v_a^2}{2} + \sum_a \sum_b' \frac{3km_a m_b v_a^2}{2c^2 r_{ab}} + \sum_a \frac{m_a v_a^4}{8c^2} + \sum_a \sum_b' \frac{km_a m_b}{2r_{ab}} - \sum_a \sum_b' \frac{km_a m_b}{4c^2 r_{ab}} [7(\mathbf{v}_a \mathbf{v}_b) + (\mathbf{v}_a \mathbf{n}_{ab})(\mathbf{v}_b \mathbf{n}_{ab})] - \sum_a \sum_b' \sum_c' \frac{k^2 m_a m_b m_c}{2c^2 r_{ab} r_{ac}}, \quad (352)$$

где  $r_{ab} = |\mathbf{r} - \mathbf{r}_a|$ ,  $\mathbf{n}_{ab}$  – единичный вектор в направлении  $\mathbf{r} - \mathbf{r}_a$ , а штрих у суммы означает, что должен быть опущен член с  $b = a$  или  $c = a$

## 32 Слабые гравитационные волны

### 32.1 Волновое уравнение

Конечность скорости распространения взаимодействий приводит к возможности гравитационных волн. Рассмотрим слабое гравитационное поле:

$$g_{ik} = g_{ik}^{(0)} + h_{ik}. \quad (353)$$

С точностью до величин первого порядка

$$g^{ik} = g^{ik(0)} - h^{ik}, \quad (354)$$

а определитель тензора  $g_{ik}$ :

$$g = g^{(0)}(1 + h), \quad (355)$$

где  $h = h_i^i$ ; все операции поднимания и опускания значков производятся по невозмущенной метрике  $g_{ik}^{(0)}$ . Условие малости  $h_{ik}$  оставляет возможность произвольных преобразований СО вида  $x'^i = x^i + \xi^i$  с малыми  $\xi^i$ , при этом

$$h'_{ik} = h_{ik} - \frac{\partial \xi_i}{\partial x^k} - \frac{\partial \xi_k}{\partial x^i} \quad (356)$$

Воспользовавшись этим произволом, налагаем на  $h_{ik}$  дополнительное условие

$$\frac{\partial \psi_i^k}{\partial x^k} = 0, \quad \psi_i^k = h_i^k - \frac{1}{2} \delta_i^k h, \quad (357)$$

после чего тензор Риччи принимает простой вид

$$R_{ik} = \frac{1}{2} \square h_{ik}, \quad (358)$$

где  $\square$  обозначает оператор д'Аламбера:

$$\square = -g^{lm(0)} \frac{\partial^2}{\partial x^l \partial x^m} = \Delta - \frac{1}{c^2} \frac{\partial^2}{\partial t^2}.$$

Условия (357) все еще не фиксируют однозначного выбора СО: если некоторые  $h_{ik}$  удовлетворяют этим условиям, то им же будут удовлетворять и  $h'_{ik}$  (357), если только  $\xi^i$  являются решениями уравнения

$$\square \xi^i = 0. \quad (359)$$

Приравняв выражение (358) нулю, найдем уравнение гравитационного поля в пустоте в виде

$$\square h_i^k = 0. \quad (360)$$

Это – обычное волновое уравнение. Гравитационные волны распространяются в пустоте со скоростью света.

## 32.2 Плоская гравитационная волна

Поле меняется вдоль одного направления в пространстве  $x^1 = x$ . Уравнения (360) превращается в

$$\left( \frac{\partial^2}{\partial x^2} - \frac{1}{c^2} \frac{\partial^2}{\partial t^2} \right) h_i^k = 0, \quad (361)$$

решением которых является любая функция от  $t \pm x/c$ . Дополнительные условия (357) дают в этом случае  $\dot{\psi}_i^1 - \dot{\psi}_i^0 = 0$ , где точка над буквой означает дифференцирование по  $t$ . Эти равенства можно проинтегрировать, постоянные интегрирования отбросить (нас интересует только переменная часть поля), получим соотношение между компонентами:

$$\psi_1^1 = \psi_1^0, \quad \psi_2^1 = \psi_2^0, \quad \psi_3^1 = \psi_3^0, \quad \psi_0^1 = \psi_0^0. \quad (362)$$

Как было указано, условия (357) не определяют однозначно СО, преобразованием вида  $x'^i = x^i + \xi^i(t - xc)$  можно обратить в нуль четыре величины:  $\psi_1^0, \psi_2^0, \psi_3^0, \psi_2^1 + \psi_3^1$ . Из равенств (362) следует, что при этом обратятся в 0 также и компоненты  $\psi_1^1, \psi_2^1, \psi_3^1, \psi_0^0$ . Остающиеся величины  $\psi_2^3, \psi_2^2 - \psi_3^3$ , то их нельзя обратить в нуль никаким выбором СО, поскольку при преобразовании (356) с  $\xi_i = \xi_i(t - xc)$  эти компоненты вообще не меняются. Заметим, что обращается в нуль и  $\psi \equiv \psi_i^i$ , а поэтому  $\psi_i^i = h_i^k$ .

Плоская гравитационная волна определяется двумя величинами  $h_{23}, h_{22} = -h_{33}$  – поперечная волна, поляризация которой определяется симметричным тензором 2-го ранга в плоскости  $yz$  и сумма диагональных членов которого  $h_{22} + h_{33}$  равна 0. В качестве двух независимых поляризаций можно выбрать случаи, в которых отлична от нуля одна из двух величин  $h_{23}$  и  $(h_{22} - h_{33})/2$ . Такие две поляризации отличаются друг от друга поворотом на угол  $\pi/4$  в плоскости  $yz$ .

### 32.3 Псевдотензор энергии-импульса плоской гравитационной волны

Компоненты  $t^{ik}$  – величины второго порядка малости, можно пренебречь членами еще более высокого порядка: для плоской волны все отличные от нуля члены в  $t^{ik}$  заключены в члене

$$t^{ik} = \frac{c^4}{32\pi k} h_q^{n,i} h_n^{q,k}. \quad (363)$$

Поток энергии в волне определяется величинами  $-cgt^{0\alpha} \approx ct^{0\alpha}$ . В плоскости, распространяющейся вдоль оси  $x^1$ , в которой отличные от нуля  $h_{23}$  и  $h_{22} = -h_{33}$  зависят только от разности  $t - x/c$ , этот поток направлен вдоль той же оси  $x^1$  и равен

$$ct^{01} = \frac{c^3}{16\pi k} \left[ \dot{h}_{23}^2 + \frac{1}{4}(\dot{h}_{22} - \dot{h}_{33})^2 \right]. \quad (364)$$

Начальные условия для произвольного поля гравитационных волн должны задаваться четырьмя произвольными функциями координат.

## 33 Гравитационные волны в искривленном пространстве-времени

Рассмотрим распространение малых возмущений на фоне произвольной (негалиеевой) «невозмущенной» метрики  $g_{ik}^{(0)}$ . Напишем снова  $g_{ik}$  в виде (353), найдем, что поправка первого порядка к символам Кристоффеля выражается через поправки  $h_{ik}$ :

$$\Gamma_{kl}^{i(1)} = \frac{1}{2}(h_{k;l}^i + h_{l;k}^i - h_{kl}^{i;l}), \quad (365)$$

здесь и далее все тензорные операции производятся с помощью негалиеевой метрики  $g_{ik}^{(0)}$ . Для поправок к тензору кривизны получается

$$R_{klm}^{i(1)} = \frac{1}{2}(h_{k;m;l}^i + h_{m;k;l}^i - h_{km;l}^{i;l} - h_{k;l;m}^i - h_{l;k;m}^i + h_{kl;m}^{i;l}) \quad (366)$$

Отсюда поправки к тензору Риччи получаются из соотношения

$$R_{ik}^{(1)} = R_{ilk}^{l(1)} = \frac{1}{2}(h_{i;k;l}^l + h_{k;i;l}^l - h_{ik;l}^{i;l} - h_{i;l;k}). \quad (367)$$

Точная метрика в пустоте должна удовлетворять точным уравнениям Эйнштейна  $R_{ik} = 0$ , поскольку невозмущенная метрика  $g_{ik}^{(0)}$  удовлетворяет уравнениям  $R_{ik}^{(0)} = 0$ , то для возмущения получается уравнение  $R_{ik}^{(1)} = 0$ , т.е.

$$h_{i;k;l}^l + h_{k;i;l}^l - h_{ik;l}^{i;l} - h_{i;l;k}^l = 0. \quad (368)$$

В общем случае произвольных гравитационных волн упрощение до формы (360) невозможно. Это можно, однако сделать в важном случае волн большой частоты: длина волны  $\lambda$  и период колебаний  $\lambda/c$  малы по сравнению с характерными расстояниями  $L$  и характерными временами  $L/c$  на которых меняется «фоновое поле». Каждое дифференцирование компонент  $h_{ik}$  увеличивает порядок величины в отношении  $L/\lambda$  по сравнению с производными от невозмущенной метрики  $g_{ik}^{(0)}$ . Если ограничиться точностью до членов двух наибольших порядков  $(L/\lambda)^2$  и  $(L/\lambda)$ , то в (368) можно менять порядок дифференцирования; разность

$$h_{i;k;l}^l - h_{i;l;k}^l \approx h_m^l R_{ikl}^{m(0)} - h_i^m R_{mkl}^{i(0)}$$

имеет порядок  $(L/\lambda)$ , между тем, каждое из выражений  $h_{i;k;l}^l$ ,  $-h_{i;l;k}^l$  содержит члены больших порядков. Наложив теперь на  $h_{ik}$  дополнительные условия

$$\psi_{i;k}^k = 0 \quad (369)$$

(аналогичные (357)), получим уравнение

$$h_{ik; ;l}^{;l} = 0, \quad (370)$$

обобщающее уравнение (360). Условие (369) не фиксирует однозначный выбор координат, последние можно подвергнуть преобразованию  $x'^i = x^i + \xi^i$ , где малые величины  $\xi^i$  удовлетворяют уравнению  $\xi'^{i;k}_{;k} = 0$ . Этими преобразованиями можно наложить на  $h_{ik}$  также и условие  $h \equiv h_i^i = 0$ . Тогда  $\psi_i^k = h_i^k$ , так что  $h_i^k$  подчинены условиям

$$h_{i;k}^k = 0, \quad h = 0. \quad (371)$$

Круг все еще допустимых преобразований суживается требованием  $\xi'^{i;i} = 0$ .

Псевдотензор  $t^{ik}$  содержит наряду с невозмущенной частью  $t^{ik(0)}$  также и члены различных порядков по  $h_{ik}$ . Мы приедем к выражению, аналогичному (363), если рассмотрим величины  $t^{ik}$ , усредненными по 4-пространству с размерами, большими по сравнению с  $\lambda$ , но малыми по сравнению с  $L$ . Такое усреднение ( $\langle \dots \rangle$ ) не затрагивает  $g_{ik}^{(0)}$  и обращает в нуль все члены, линейные по быстро осцилирующим величинам  $h_{ik}$ . Из квадратичных членов сохраним лишь члены наиболее высокого (второго) порядка по  $1/\lambda$  – это члены, квадратичные по производным  $h_{ik,l} \equiv \partial h_{ik}/\partial x^l$ . При такой степени точности из всех членов 2-го порядка остается лишь

$$\langle t^{ik(2)} \rangle = \frac{c^4}{32\pi k} \langle h_q^{n,i} h_n^{q,k} \rangle. \quad (372)$$

С той же точностью  $\langle t_i^{i(2)} \rangle = 0$ .

Обладая определенной энергией, гравитационная волна сама является источником некоторого дополнительного гравитационного поля. Вместе с создающей его энергией это поле – эффект 2-го порядка по  $h_{ik}$ . Но в случае

высокочастотных волн эффект существенно усиливается, псевдотензор  $t^{ik}$  квадратичен по производным от  $\lambda^{-2}$ . В таком случае можно сказать, что сами волны создают поле, на котором они распространяются. Для вывода уравнения, определяющего эту метрику, надо учесть в разложении  $R_{ik}$  не только линейные, но и квадратичные по  $h_{ik}$  члены:  $R_{ik} = R_{ik}^{(0)} + R_{ik}^{(1)} + R_{ik}^{(2)}$ . Усредненные уравнения поля  $\langle R_{ik} \rangle = 0$  принимают вид (усреднение уничтожает лишь линейные члены):

$$R_{ik}^{(0)} = -R_{ik}^{(2)}, \quad (373)$$

причем в  $R_{ik}^{(2)}$  надо сохранить лишь члены второго порядка по  $q/\lambda$ . При усреднении остается

$$\left\langle \left( R^{ik} - \frac{1}{2}g^{ik}R \right)^{(2)} \right\rangle = -\frac{8\pi k}{c^4} \langle t^{ik(2)} \rangle,$$

поскольку  $\langle t_i^{i(2)} \rangle = 0$ , с той же точностью:

$$\langle R_{ik}^{(2)} \rangle = -\frac{8\pi k}{c^4} \langle t_{ik}^{(2)} \rangle,$$

используя (372), получим окончательно уравнение (373) в виде

$$R_{ik}^{(0)} = \frac{1}{4} \langle h_{q,i}^n h_{n,k}^q \rangle. \quad (374)$$

Если фон создается самими волнами, уравнения (374) и (370) должны решаться совместно. Оценка выражений в обеих частях уравнения (374) показывает, что радиус кривизны фоновой метрики по своему порядку  $L$  связан с длиной волны и порядком величины ее поля  $h$  согласно  $\lambda/L \sim h$ .

## 34 Излучение гравитационных волн

Рассмотрим слабое гравитационное поле, создаваемое телами, движущимися с малыми скоростями. Благодаря наличию материи уравнения гравитационного поля будут отличаться от простого волнового уравнения (360) наличием в правой части членов, происходящих от тензора энергии-импульса материи:

$$\frac{1}{2} \square \psi^k = \frac{8\pi k}{c^4} \tau_i^k, \quad (375)$$

где  $\psi_i^k = h_i^k - \frac{1}{2}\delta_i^k h$ , а  $\tau_i^k$  условно обозначает дополнительные выражения, получающиеся в при переходе от точных уравнений тяготения к случаю слабых полей. Можно убедиться, что  $\tau_0^0$  и  $\tau_\alpha^\alpha$  получаются из соответствующих компонент  $T_i^k$  путем выделения из них величин нужного порядка малости. Величины  $\tau_\beta^\alpha$  содержат также и члены второго порядка малости

из  $R_i^k - \delta_i^k R/2$ . Величины  $\psi_i^k$  удовлетворяют условию (357)  $\partial\psi_i^k/\partial x^k = 0$ . Из (375) следует, что такое же уравнение имеет место и для  $\tau_i^k$ :

$$\frac{\partial\tau_i^k}{\partial x^k} = 0. \quad (376)$$

Это уравнение заменяет общее соотношение  $T_{i;k}^k = 0$ . Уравнение (375) по форме совпадают с уравнением запаздывающих потенциалов, их общее решение

$$\psi_i^k = -\frac{4k}{c^4} \int (\tau_i^k)_{t-R/c} \frac{dV}{R}. \quad (377)$$

Поскольку скорости всех тел в системе малы, то для поля на больших расстояниях можно написать

$$\psi_i^k = -\frac{4k}{c^4 R_0} \int (\tau_i^k)_{t-R_0/c} dV, \quad (378)$$

где  $R_0$  – расстояние от начала координат, расположенного где-нибудь внутри системы. Индекс  $t - R_0/c$ , показывающий что значение  $\tau$  надо брать в этот момент времени, в дальнейшем будем опускать.

Для вычисления этих интегралов воспользуемся уравнениями (376), опуская индексы у  $\tau_i^k$  и выделяя пространственные и временные компоненты, пишем (376) в виде

$$\frac{\partial\tau_{\alpha\gamma}}{\partial x^\gamma} - \frac{\partial\tau_{\alpha 0}}{\partial x^0} = 0, \quad \frac{\partial\tau_{0\gamma}}{\partial x^\gamma} - \frac{\partial\tau_{00}}{\partial x^0} = 0. \quad (379)$$

Умножив первое уравнение на  $x^\beta$ , проинтегрируем по всему пространству

$$\frac{\partial}{\partial x^\gamma} \int \tau_{\alpha 0} x^\beta dV = \int \frac{\partial\tau_{\alpha\gamma}}{\partial x^\gamma} x^\beta dV = \int \frac{\partial\tau_{\alpha\gamma} x^\beta}{\partial x^\gamma} dV - \int \tau_{\alpha\beta} dV.$$

Поскольку на бесконечности  $\tau_{ik} = 0$ , то первый интеграл, будучи преобразован по теореме Гаусса, исчезает. Полусумма оставшегося равенства и его же с переставленными индексами дает:

$$\int \tau_{\alpha\beta} dV = -\frac{1}{2} \frac{\partial}{\partial x^0} \int (\tau_{\alpha\beta} x^\beta + \tau_{\beta 0} x^\alpha) dV.$$

Далее умножим второе из уравнений (379) на  $x^\alpha x^\beta$  и тоже проинтегрируем по всему пространству. Аналогичное преобразование приводит к равенству

$$\frac{\partial}{\partial x^0} \int \tau_{00} x^\alpha x^\beta dV = - \int (\tau_{\alpha 0} x^\beta + \tau_{\beta 0} x^\alpha) dV.$$

Сравнивая оба полученных результата, находим

$$\int \tau_{\alpha\beta} dV = \frac{1}{2} \left( \frac{\partial}{\partial x^0} \right)^2 \int \tau_{00} x^\alpha x^\beta dV. \quad (380)$$

Таким образом, интегралы от всех  $\tau_{\alpha\beta}$  оказываются выражеными через интегралы, содержащие только компоненту  $\tau_{00}$ , а она с достаточной точностью совпадает с компонентой  $T_{00}$  и, соответственно

$$\tau_{00} = \mu c^2. \quad (381)$$

Подставляя это в (380) и вводя время  $t = x^0/c$ , переписываем (378) в виде

$$\psi_{\alpha\beta} = -\frac{2k}{c^4 R_0} \frac{\partial^2}{\partial t^2} \int \mu x^\alpha x^\beta dV. \quad (382)$$

На больших расстояниях от тел в небольших участках пространства можно рассматривать волну как плоскую. Вычислим поток энергии, излучаемый системой в направлении, например,  $x^1$ , воспользовавшись формулой (364). В эту формулу входят только компоненты  $h_{23} = \psi_{23}$  и  $h_{22} - h_{33} = \psi_{22} - \psi_{33}$ . Из (382) находим для них выражения

$$h_{23} = -\frac{2k}{3c^4 R_0} \ddot{D}_{23}, \quad h_{22} - h_{33} = -\frac{2k}{3c^4 R_0} (\ddot{D}_{22} - \ddot{D}_{33}) \quad (383)$$

(точка означает дифференцирование по времени), где введен тензор квадрупольного момента масс

$$D_{\alpha\beta} = \int \mu (3x^\alpha x^\beta - r^2 \delta_{\alpha\beta}) dV. \quad (384)$$

В результате находим плотность потока энергии в направлении оси  $x^1$  в виде

$$ct^{10} = \frac{k}{36\pi c^5 R_0^2} \left[ \left( \frac{\dot{\ddot{D}}_{22} - \dot{\ddot{D}}_{33}}{2} \right) + \dot{\ddot{D}}_{33}^2 \right]. \quad (385)$$

Поток энергии в элемент телесного угла в данном направлении получится отсюда умножением на  $R_0^2 do$ . Два члена в этом выражении отвечают излучению волн двух независимых поляризаций. Для записи в инвариантном виде (независящем от направления излучения) введем трехмерный единичный тензор поляризации плоской гравитационной волны  $e_{\alpha\beta}$ , определяющий, какие именно из компонент  $h_{\alpha\beta}$  отличны от 0 (в калибровке  $h_{ik}$ , в которой  $h_{0\alpha} = h_{00} = h = 0$ ). Тензор поляризации симметричен и удовлетворяет условиям

$$e_{\alpha\alpha} = 0, \quad e_{\alpha\beta} n_\beta = 0, \quad e_{\alpha\beta} e_{\alpha\beta} = 1, \quad (386)$$

где  $\mathbf{n}$  – единичный вектор в направлении распространения волны; первые два условия выражают тензорность и поперечность волны. С помощью этого тензора интенсивность излучения заданной поляризации в телесный угол  $do$  запишется в виде

$$dI = \frac{k}{72\pi c^5} (\dot{\ddot{D}}_{\alpha\beta} e_{\alpha\beta})^2 do. \quad (387)$$

Это выражение зависит от направления  $\mathbf{n}$  неявным образом – через условие поперечности  $e_{\alpha\beta} n_\beta = 0$ . Суммарное угловое распределение излучения всех поляризаций получается суммированием (387) по поляризациям или, что то же, усреднением по поляризациям и умножением результата на 2 (число независимых поляризаций).

Усреднение осуществляется формулой

$$\begin{aligned} \overline{e_{\alpha\beta}e_{\gamma\delta}} &= \frac{1}{4} \{ n_{\alpha}n_{\beta}n_{\gamma}n_{\delta} + (n_{\alpha}n_{\beta}\delta_{\gamma\delta} + n_{\gamma}n_{\delta}\delta_{\alpha\beta}) - \\ &- (n_{\alpha}n_{\gamma}\delta_{\beta\delta} + n_{\beta}n_{\gamma}\delta_{\alpha\delta} + n_{\alpha}n_{\delta}\delta_{\beta\gamma} + n_{\beta}n_{\delta}\delta_{\alpha\gamma}) - \delta_{\alpha\beta}\delta_{\gamma\delta} + (\delta_{\alpha\gamma}\delta_{\beta\delta} + \delta_{\beta\gamma}\delta_{\alpha\delta}) \}. \end{aligned} \quad (388)$$

Выражение справа – тензор, составленный из единичного тензора и компонент вектора  $\mathbf{n}$ , обладающей требуемой симметрией по своим индексам, дающий единицу при упрощении па парам индексов  $\alpha, \gamma$  и  $\beta, \delta$ , и обращающийся в нуль при скалярном умножении на  $\mathbf{n}$ . В результате находим:

$$dI = \frac{k}{36\pi c^5} \left[ \frac{1}{4}(\dot{D}_{\alpha\beta}n_{\alpha}n_{\beta})^2 + \frac{1}{2}\dot{D}_{\alpha\beta}^2 - \dot{D}_{\alpha\beta}\dot{D}_{\alpha\gamma}n_{\beta}n_{\gamma} \right] do. \quad (389)$$

Полное излучение по всем направлениям (потеря энергии,  $(d\mathcal{E}/dt)$ , можно найти усреднив  $dI/do$  по направлениям  $\mathbf{n}$  и умножив результат на  $4\pi$ :

$$-\frac{d\mathcal{E}}{dt} = \frac{k}{45c^5}\dot{D}_{\alpha\gamma}^2. \quad (390)$$

Отметим, что излучение гравитационных волн оказывается эффектом пятого порядка по  $1/c$ . Это обстоятельство, вместе с малостью гравитационной постоянной  $k$ , приводит к чрезвычайной малости эффекта.

Два тела, притягивающиеся по закону Ньютона, движутся по круговым орбитам вокруг общего центра инерции. Для них

$$-\frac{d\mathcal{E}}{dt} = I = \frac{32k\mu^2\omega^6r^4}{5c^5} = \frac{32k^4m_1^2m_2^2(m_1+m_2)}{5c^5r^3}.$$

Это приводит к вековому сближению тел:

$$\dot{r} = \frac{2r^2}{km_1m_2}\frac{d\mathcal{E}}{dt} = -\frac{64k^3m_1m_2(m_1+m_2)}{5c^5r^3}.$$

## 35 Изотропное пространство

### 35.1 Космологическая постоянная

Ньютоновская механика не применима к плоскому бесконечному пространству (бесконечный потенциал в каждой точке). Сделаем замечание по поводу определения действия для гравитационного поля. Требования для действия будут по-прежнему удовлетворены, если к скаляру  $G$  добавить постоянный член:

$$S_g = -\frac{c^3}{16\pi k} \int (G + 2\Lambda) \sqrt{-g} d\Omega, \quad (391)$$

где  $\Lambda$  – новая постоянная с размерностью  $\text{см}^{-2}$ . Такое изменение приведет к появлению в уравнениях Эйнштейна дополнительного члена  $\Lambda g_{ik}$ :

$$R_{ik} - \frac{1}{2} R g_{ik} = \frac{8\pi k}{c^4} T_{ik} + \Lambda g_{ik}. \quad (392)$$

Если приписать «космологической постоянной» очень малое значение, то наличие этого члена не будет существенно сказываться на гравитационных полях в не слишком больших областях пространства-времени, но приведет к новым типам «космологических решений»<sup>15</sup>. Достаточно убедительных оснований (теоретических и наблюдательных) для введения такого видоизменения уравнений нет, а это изменение несет глубокий физический смысл – наличие неустранимой кривизны пространства-времени, не связанной с материей.

На больших участках Вселенная однородна и изотропна (это приближение) по данным о распределении галактик и реликтового излучения. Мы увидим, что основным свойством такой Вселенной – нестационарность.

### 35.2 Метрика изотропного пространства

Введем трехмерный метрический тензор  $\gamma_{\alpha\beta}$

$$dl^2 = \gamma_{\alpha\beta} dx^\alpha dx^\beta. \quad (393)$$

Кривизна пространства полностью определяется его трехмерным тензором кривизны  $P_{\alpha\beta\gamma\delta}$ , который в случае полной изотропии должен выражаться только через метрический тензор  $\gamma_{\alpha\beta}$ , а поэтому в силу своих свойств симметрии должен иметь вид

$$P_{\alpha\beta\gamma\delta} = \lambda(\gamma_{\alpha\gamma}\gamma_{\beta\delta} - \gamma_{\alpha\delta}\gamma_{\beta\gamma}), \quad (394)$$

где  $\lambda$  – постоянная. Тензор Риччи  $P_{\alpha\beta} = P_{\alpha\gamma\beta}^\gamma$  равен

$$P_{\alpha\beta} = 2\lambda\gamma_{\alpha\beta}, \quad (395)$$

---

<sup>15</sup>В частности появляются стационарные решения

а скалярная кривизна

$$P = 6\lambda. \quad (396)$$

Таким образом, свойства кривизны изотропного пространства определяются лишь одной постоянной. Возможны три случая:

1. Пространство постоянной положительной кривизны ( $\lambda > 0$ )
2. Пространство постоянной отрицательной кривизны ( $\lambda < 0$ )
3. Плоское пространство ( $\lambda = 0$ )

### 35.3 Пространство с положительной кривизной

Проведем геометрическую аналогию с гиперсферой. Уравнение гиперсферы в четырехмерном пространстве

$$x_1^2 + x_2^2 + x_3^2 + x_4^2 = a^2, \quad (397)$$

элемент длины выражается как

$$dl^2 = dx_1^2 + dx_2^2 + dx_3^2 + dx_4^2. \quad (398)$$

Рассматривая теперь координаты  $x_1, x_2, x_3$  как три пространственных и исключая из  $dl^2$  фиктивную координату  $x_4$  с помощью (397), получаем

$$dl^2 = dx_1^2 + dx_2^2 + dx_3^2 + \frac{(x_1 dx_1 + x_2 dx_2 + x_3 dx_3)^2}{a^2 - x_1^2 - x_2^2 - x_3^2} \quad (399)$$

Из этого выражения легко вычислить постоянную  $\lambda$ . Поскольку заранее известно, что тензор  $P_{\alpha\beta}$  одинаковый вид во всем пространстве, то достаточно вычислить его только для точек, находящихся вблизи начала координат, где

$$\gamma_{\alpha\beta} = \delta_{\alpha\beta} + \frac{x_\alpha}{x_\beta} a^2.$$

Так как первые производные от  $\gamma_{\alpha\beta}$  и трехмерные символы Кристоффеля  $\lambda_{\beta\gamma}^\alpha$  в начале координат обращаются в нуль, что вычисление по общей формуле (159) оказывается очень простым и дает в результате

$$\lambda = \frac{1}{a^2}. \quad (400)$$

Величину  $a$  можно назвать «радиусом кривизны» пространства. Введем вместо  $x_1, x_2, x_3$  соответствующие им «сферические» координаты  $r, \theta, \varphi$ . Тогда элемент длины примет вид

$$dl^2 = \frac{dr^2}{1 - r^2/a^2} + r^2(\sin^2 \theta d\varphi^2 + d\theta^2). \quad (401)$$

Начало координат может быть выбрано в любой точке пространства. Длина окружности в этих координатах  $2\pi r$ , а поверхность сферы  $4\pi r^2$ . Длина же «радиуса» окружности (или сферы) равна

$$\int_0^r \frac{dr}{\sqrt{1 - r^2/a^2}} = a \arcsin \frac{r}{a}, \quad (402)$$

т.е. больше  $r$ . Отношение длины окружности к радиусу в таком пространстве меньше  $2\pi$ . Другую удобную формулу  $dl^2$  имеет в «четырехмерных сферических координатах», получающихся, если вместо  $r$  ввести «угол»  $\chi$  согласно  $r = a \sin \chi$  ( $\chi$  меняется в пределах от 0 до  $\pi$ ).

$$dl^2 = a^2 [d\chi^2 + \sin^2 \chi (\sin^2 \theta d\varphi^2 + d\theta^2)]. \quad (403)$$

Координата  $\chi$  измеряет расстояние от начала координат, равное  $a\chi$ . Поверхность сферы в этих координатах равна  $4\pi a^2 \sin^2 \chi$ . Мы видим, что по мере удаления от начала координат величина поверхности сферы сначала сначала увеличивается, но не достигнет на расстоянии  $\pi a/2$  максимального значения  $4\pi a^2$ . Вслед за этим она начинает уменьшаться пока не превратится в точку на «противоположном полюсе» пространства на расстоянии  $\pi a$  – наибольшем расстоянии, которое может существовать в таком пространстве. Объем пространства с положительной кривизной равен

$$V = \int_0^{2\pi} \int_0^\pi \int_0^\pi a^3 \sin^2 \chi \sin \theta d\chi d\theta d\varphi,$$

откуда

$$V = 2\pi^2 a^3. \quad (404)$$

Пространство положительной кривизны оказывается «замкнутым само в себе», конечным по объему, но не имеющим границ. Интересно отметить, что в таком пространстве суммарный электрический заряд должен быть равен 0. А также  $P^i$  обращается в 0 для всего пространства.

### 35.4 Пространство с отрицательной кривизной

Постоянная  $\lambda$  становится отрицательной, если  $a$  мнимо. Во всех предыдущих формулах надо заменить  $a$  на  $ia$ . Геометрия на четырехмерной псевдосфере с мнимым радиусом.

$$\lambda = -\frac{1}{a^2} \quad (405)$$

$$dl^2 = \frac{dr^2}{1 + r^2/a^2} + r^2(\sin^2 \theta d\varphi^2 + d\theta^2), \quad (406)$$

где координата  $r$  может пробегать все значения от 0 до  $\infty$ . Отношение длины окружности к радиусу теперь больше, чем  $2\pi$ . Выражение, аналогичное

(403), получится, если ввести координату  $\chi$  согласно  $r = a \operatorname{sh} \chi$  ( $\chi$  меняется здесь от 0 до  $\infty$ ):

$$dl^2 = a^2 [d\chi^2 + \operatorname{sh}^2 \chi (\sin^2 \theta d\varphi^2 + d\theta^2)]. \quad (407)$$

Поверхность сферы равна теперь  $4\pi a^2 \operatorname{sh}^2 \chi$  и при увеличении  $\chi$  возрастает неограниченно. Объем пространства – бесконечен.

### 36 Закрытая изотропная модель

Наиболее удобна – «сопутствующая» СО, движущаяся в каждой точке с веществом. СО – сама материя. В виду полной эквивалентности всех направлений –  $g_{0\alpha} = 0$ .  $ds^2 = g_{00}(dx^0)^2 - dl^2$ . Компонента  $g_{00}$  – функция только от  $x^0$ , поэтому всегда можно выбрать временную координату так, чтобы  $g_{00} = 1$ :

$$ds^2 = c^2 dt^2 - dl^2. \quad (408)$$

$t$  – синхронное собственное время в каждой точке пространства.

В закрытом пространстве (с положительной кривизной) радиус кривизны  $a$  зависит от времени:

$$ds^2 = c^2 dt^2 - a^2(t) [d\chi^2 + \sin^2 \chi (\sin^2 \theta d\varphi^2 + d\theta^2)] \quad (409)$$

Функция  $a(t)$  определяется уравнениями Эйнштейна. Для их решения введем величину  $\eta$ :

$$c dt = a d\eta. \quad (410)$$

Тогда

$$ds^2 = a^2(\eta) [d\eta^2 - d\chi^2 - \sin^2 \chi (\sin^2 \theta d\varphi^2 + d\theta^2)]. \quad (411)$$

Вычислим компоненты  $R_{ik}$  (координатами  $x^0, x^1, x^2, x^3$  являются  $\eta, \chi, \theta, \varphi$ ). Компоненты метрического тензора:

$$g_{00} = a^2, \quad g_{11} = -a^2, \quad g_{22} = -a^2 \sin^2 \chi, \quad g_{33} = -a^2 \sin^2 \chi \sin^2 \theta$$

Величины  $\Gamma_{kl}^i$ :

$$\Gamma_{00}^0 = \frac{a'}{a}, \quad \Gamma_{\alpha\beta}^0 = -\frac{a'}{a^3} g_{\alpha\beta}, \quad \Gamma_{0\beta}^\alpha = \frac{a'}{a} \delta_\beta^\alpha, \quad \Gamma_{\alpha 0}^0 = \Gamma_{00}^\alpha = 0,$$

где штрих означает дифференцирование по  $\eta$  (компоненты  $\Gamma_{\beta\gamma}^\alpha$  нет надобности вычислять в явном виде). По общей формуле (159) получим

$$R_0^0 = \frac{3}{a^4} (a'^2 - aa'').$$

Из соображений симметрии, заранее очевидно, что  $R_{0\alpha} = 0$ . Для компонент  $R_\alpha^\beta$  замечаем, что если выделить в них члены, содержащие только  $g_{\alpha\beta}$  (т.е.

$\Gamma_{\beta\gamma}^\alpha$ ), то эти члены должны составить компоненты трехмерного тензора  $P_\alpha^\beta$  (395, 400):

$$R_\alpha^\beta = -P_\alpha^\beta + \dots = -\frac{2}{a^2}\delta_\alpha^\beta + \dots,$$

где многоточие подразумевает члены, содержащие также и  $g_{00}$ . В результате вычисления последних получим

$$R_\alpha^\beta = -\frac{1}{a^4}(2a^2 + a'^2 + aa'')\delta_\alpha^\beta,$$

и затем

$$R = R_0^0 + R_\alpha^\alpha = -\frac{6}{a^3}(a + a'').$$

Поскольку в выбранной СО материя неподвижна, то  $u^\alpha = 0$ ,  $u^0 = 1/a$  и из (191) имеем  $T_0^0 = \varepsilon$ , где  $\varepsilon$  – плотность энергии материи. Подставляя полученные выражения в уравнение

$$R_0^0 - \frac{1}{2}R = \frac{8\pi k}{c^4}T_0^0,$$

получим

$$\frac{8\pi k}{c^4}\varepsilon = \frac{3}{a^4}(a^2 + a'^2). \quad (412)$$

Сюда входят две неизвестные функции  $\varepsilon$  и  $a$ , поэтому необходимо получить еще одно уравнение. Удобно выбрать уравнение  $T_{0;i}^i = 0$  (одно из четырех уравнений (190), содержащихся в уравнениях поля). Пользуясь (191) для тензора энергии-импульса, мы тем самым пренебрегаем всеми процессами диссипации энергии, приводящими к возрастанию энтропии. Можно считать энтропию постоянной. Воспользуемся термодинамическим соотношением  $\mathcal{E} = T dS - p dV$ . При постоянной энтропии имеем просто  $\mathcal{E} = -p dV$  ( $p$  – давление). Вводя плотность энергии  $\varepsilon = \mathcal{E}/V$  находим

$$d\varepsilon = -(\varepsilon + p)\frac{dV}{V}.$$

Объем пространства пропорционален кубу радиуса кривизны, поэтому  $dV/V = 3da/a = 3d\ln a$ , можем записать

$$-\frac{d\varepsilon}{\varepsilon + p} = 3d\ln a,$$

или, интегрируя,

$$3\ln a = -\int \frac{d\varepsilon}{\varepsilon + p} + \text{const} \quad (413)$$

Если связь между  $\varepsilon$  и  $p$  известна (состояние материи), то уравнение (413) определяет  $\varepsilon$  как функцию от  $a$ . Тогда из (412) мы можем определить  $\eta$  в виде

$$\eta = \pm \int \frac{da}{a\sqrt{\frac{8\pi k}{3c^4}(\varepsilon a^2 - 1)}}. \quad (414)$$

Уравнения (413), (414) решают в общем виде задачу об определении метрики в изотропной закрытой модели.

Если материя распределена в пространстве в виде отдельных тел, считая их скорости малыми, можно просто положить  $\varepsilon = \mu c^2$ , давление «газа», состоящего из этих тел крайне мало, им можно пренебречь. Уравнения состояния «пылевидной» материи:

$$\varepsilon = \mu c^2, \quad p = 0.$$

Интегрирование в (413) дает  $\mu a^3 = \text{const}$  – сохранение суммы  $M$  масс тел (без учета их гравитационного взаимодействия) во всем пространстве. Поскольку объем пространства в замкнутой модели  $V = 2\pi^2 a^3$ , то  $\text{const} = M/2\pi^2$ .

$$\mu a^3 = \frac{M}{2\pi^2} \quad (415)$$

Подставив (415) в (414) и произведя интегрирование, получим

$$a = a_0(1 - \cos \eta), \quad (416)$$

где постоянная

$$a_0 = \frac{2kM}{3\pi c^2}.$$

Для связи  $t$  и  $\eta$  находим из (410)

$$t = \frac{a_0}{c}(\eta - \sin \eta). \quad (417)$$

Уравнения (416) и (417) определяют зависимость в параметрическом виде  $a(t)$ . Функция возрастает от 0 при  $t = 0 (\eta = 0)$  до максимального значения  $a = 2a_0$ , достигаемого при  $t = \pi a_0/c (\eta = \pi)$ , затем снова убывает до 0 при  $t = 2\pi a_0/c (\eta = 2\pi)$ . При  $\eta \ll 1$ , имеем приближенно  $a = a_0\eta^2/2$ ,  $t = a_0\eta^3/6c$ , так что

$$a \approx \left( \frac{9a_0 c^2}{2} \right)^{1/3} t^{2/3}. \quad (418)$$

При этом плотность вещества

$$\mu = \frac{1}{6\pi k t^2} = 8 \cdot 10^5 t^2. \quad (419)$$

В этом пределе зависимость  $\mu(t)$  носит универсальный характер и не зависит от  $a_0$ .

При  $a \rightarrow 0$  плотность обращается в бесконечность, но при  $\mu \rightarrow \infty$  давление тоже становится большим, поэтому можно рассматривать второй предельный случай состояния материи

$$p = \varepsilon/3.$$

Из формулы (413) получим

$$\varepsilon a^4 = \text{const} \equiv \frac{3c^4 a_1^2}{8\pi k} \quad (420)$$

( $a_1$  – новая постоянная), после чего уравнения (414) и (410) приводят к зависимости

$$a = a_1 \sin \eta, \quad t = \frac{a_1}{c} (1 - \cos \eta).$$

Так как это решение имеет смысл при очень больших значениях  $\varepsilon$  (малых  $a$ ), то положим  $\eta \ll 1$ . Тогда  $a \approx a_1 \eta$ ,  $t \approx a_1 \eta^2 / 2c$ , так что

$$a = \sqrt{2a_1 ct}. \quad (421)$$

При этом

$$\frac{\varepsilon}{c^2} = \frac{3}{32\pi k t^2} = \frac{4.5 \cdot 10^5}{t^2}. \quad (422)$$

Эта зависимость снова не содержит никаких параметров.

Таким образом у модели есть две особые точки ( $a = 0$ ). Нет и физического смысла продолжать метрику за особую точку (при  $t < 0$  величина  $a(t)$  становится мнимой).

### 37 Открытая изотропная модель

Решение для открытой модели получается аналогично предыдущему. Вместо (409) имеем теперь

$$ds^2 = c^2 dt^2 - a^2(t) [d\chi^2 + \operatorname{sh}^2 \chi (d\theta^2 + \sin^2 \theta d\varphi^2)] \quad (423)$$

Вводим снова вместо  $t$  величину  $\eta$ , согласно  $c dt = a d\eta$ ; тогда получаем

$$ds^2 = a^2(\eta) [d\eta^2 - d\chi^2 - \operatorname{sh}^2 \chi (d\theta^2 + \sin^2 \theta d\varphi^2)]. \quad (424)$$

Это выражение может быть формально получено из (411) заменой  $\eta, \chi, a$  на  $i\eta, i\chi, ia$ , поэтому уравнения поля можно получить просто путем этой же замены из (412), (413). Уравнение (413) сохраняет при этом свой прежний вид:

$$3 \ln a = - \int \frac{d\varepsilon}{\varepsilon + p} + \text{const}, \quad (425)$$

а вместо (412) имеем

$$\frac{8\pi k}{c^4} \varepsilon = \frac{3}{a^4} (a'^2 - a^2). \quad (426)$$

Соответственно этому находим вместо (414)

$$\eta = \pm \int \frac{da}{a \sqrt{\frac{8\pi k}{3c^4} \varepsilon a^2 + 1}}. \quad (427)$$

Для пылевидной материи получаем отсюда

$$a = a_0 (\operatorname{ch} \eta - 1), \quad t = \frac{a_0}{c} (\operatorname{sh} \eta - \eta), \quad (428)$$

$$\mu a^3 = \frac{3c^2}{4\pi k} a_0. \quad (429)$$

Отметим, что преобразованием

$$r = Ae^\eta \sinh \chi, \quad c\tau = Ae^\eta \cosh \chi, \quad Ae^\eta = \sqrt{c^2\tau^2 - r^2}, \quad \operatorname{th} \chi = \frac{r}{c\tau}$$

выражение (424) приводится к «комфорно-галилееву» виду

$$ds^2 = f(r, \tau)[c^2 d\tau^2 - dr^2 - r^2(d\theta^2 + \sin^2 \theta d\varphi^2)].$$

В случае (428) получим (положив  $A = a_0/2$ ):

$$ds^2 = \left(1 - \frac{a_0}{2\sqrt{c^2\tau^2 - r^2}}\right)^4 [c^2 d\tau^2 - dr^2 - r^2(d\theta^2 + \sin^2 \theta d\varphi^2)].$$

При больших значениях  $\sqrt{c^2\tau^2 - r^2}$  (чemu соответствуют  $\eta \gg 1$ ) эта метрика стремится к галилеевой, что естественно, ввиду стремления радиуса кривизны к бесконечности. В координатах  $r, \theta, \varphi, \tau$  материя не неподвижна, а ее распределение не однородно; при этом распределение и движение материи оказываются центрально-симметричными вокруг произвольной точке пространства, выбранной за начало координат  $r, \theta, \varphi$ .

Формулы (428) определяют в параметрическом виде зависимость  $a(t)$ : радиус кривизны меняется монотонно от нуля при  $(t = 0)(\eta = 0)$  до бесконечности при  $(t = \infty)(\eta = \infty)$ . Плотность материи убывает от бесконечного значения при  $t = 0$  (при  $\eta \ll 1$  закон этого убывания дается той же приближенной формулой (419), что и в закрытой модели).

Для больших плотностей решение (428), (429) неприменимо, и надо снова обратиться к случаю  $p = \varepsilon/3$ . При этом снова получится соотношение

$$\varepsilon a^4 = \text{const} \equiv \frac{3c^4 a_1^2}{8\pi k}, \quad (430)$$

а для зависимости  $a(t)$  находим

$$a = a_1 \sinh \eta, \quad t = \frac{a_1}{c} (\cosh \eta - 1),$$

при  $\eta \ll 1$ :

$$a = \sqrt{2a_1 ct}. \quad (431)$$

Таким образом открытая модель имеет всего одну особую точку (начало).

**Плоское пространство** Предельный случай – бесконечный радиус кривизны

$$ds^2 = c^2 dt^2 - b^2(t)(dx^2 + dy^2 + dz^2), \quad (432)$$

зависящий от времени множитель пространственной метрики не меняет, и простым преобразованием координат может быть приведен к единице.

$$\frac{8\pi k}{c^2} \varepsilon = \frac{3}{b^2} \left(\frac{db}{dt}\right)^2, \quad 3 \ln b = - \int \frac{d\varepsilon}{p + \varepsilon} + \text{const.}$$

Для случая малых давлений находим

$$\mu b^3 = \text{const}, \quad b = \text{const} \cdot t^{2/3}. \quad (433)$$

При малых  $t$  надо опять рассматривать случай  $p = \varepsilon/3$ , при котором получаем

$$\varepsilon b^4 = \text{const}, \quad b = \text{const} \cdot \sqrt{t}. \quad (434)$$

Таким образом и в этом случае метрика имеет одну особую точку ( $t = 0$ ).

Отметим, что все найденные изотропные решения существуют лишь при отличной от нуля плотности материи. В математическом отношении они являются случаем более общего класса решений, содержащего три физически различные произвольные функции пространственных координат.

## 38 Красное смещение

Основная черта всех моделей – нестационарность. Изменение радиуса кривизны приводит к изменению всех вообще расстояний между телами. Это видно из обстоятельства, что элемент пространственного расстояния  $dl$  пропорционален  $a$ . При увеличении  $a$  в таком пространстве тела «разбегаются». С точки зрения наблюдателя пространство будет выглядеть так, как если бы все тела двигались бы в радиальных направлениях, удаляясь от наблюдателя. Скорость разбегания (в данный момент  $t$ ) пропорциональна расстоянию между телами. Это предсказание теории следует сопоставить с эффектом космологического красного смещения. Истолковав это смещение как доплеровское, мы приходим к заключению о разбегании галактик.

Рассмотрим распространение лучей света в изотропном пространстве. Уравнение распространения  $ds = 0$ . Точку, откуда выходит луч света, выберем в качестве начала координат  $\chi, \theta, \varphi$ . Из соображений симметрии очевидно, что лучи будут распространяться «радиально», т.е. вдоль линии  $\theta = \text{const}$ ,  $\varphi = \text{const}$ . Положим в (411) и (424)  $d\theta = d\varphi = 0$ , получим  $ds^2 = a^2(d\eta^2 - d\chi^2)$ . Приравнивая нулю, находим  $d\eta = \pm d\chi$ , или интегрируя:

$$\chi = \pm\eta + \text{const}. \quad (435)$$

Знак плюс соответствует лучу, распространяющемуся из начала координат, а минус – лучу, приходящему в начало координат. Это уравнение справедливо и для закрытой и для открытой модели. В открытой модели луч, вышедший из некоторой точки, неограниченно удаляется от нее. В закрытой модели, вышедший из исходной точки свет в конце концов может дойти до «противоположного полюса» пространства ( $\chi$  меняется от 0 до  $\pi$ ), затем луч начнет приближаться к исходной точке. Обходу луча «вокруг пространства» и возвращению в исходную точку соответствовало бы изменение  $\chi$  от 0 до  $2\pi$ . Из (435) следует, что  $\eta$  должно измениться на  $2\pi$ , но это невозможно (за исключением случая выхода луча в момент  $\eta = 0$ ). Таким образом

луч не мог бы успеть возвратиться в исходную точку обойдя «вокруг пространства».

Лучу, приходящему в точку наблюдения соответствует уравнение (435) со знаком минус перед  $\eta$ . Если момент прихода луча в эту точку есть  $t(\eta_0)$ , то при  $\eta = \eta_0$  должно быть  $\chi = 0$ , так что уравнение распространения таких лучей имеет вид

$$\chi = \eta_0 - \eta. \quad (436)$$

Отсюда видно, что к наблюдателю, находящемуся в точке  $\chi = 0$  могут дойти к моменту времени  $t(\eta_0)$  лучи, вышедшие из точек, находящихся на «расстояниях», не превышающих  $\chi = \eta_0$ . Этот результат, относящийся как к открытой, так и к закрытой моделям, весьма существен. В каждый момент времени физическому наблюдению доступна лишь часть пространства, соответствующая  $\chi \ll \eta$ . «Видимая область» пространства представляет собой сечение четырехмерного пространства-времени световым конусом. Это сечение оказывается конечным для открытой и закрытой модели. В этом смысле разница между моделями оказывается менее глубокой, чем это могло бы показаться на первый взгляд.

Чем более удалена от наблюдателя наблюдаемая им в данный момент область пространства, тем более ранним моментам времени она соответствует. Представим себе сферическую поверхность, являющуюся геометрическим местом точек, из которых свет вышел в момент времени  $t(\eta - \chi)$  и наблюдается в начале координат в момент  $t(\eta)$ . Площадь этой поверхности равна  $4\pi a^2(\eta - \chi) \sin^2 \chi$  (в закрытой модели) или  $4\pi a^2(\eta - \chi) \operatorname{sh}^2 \chi$  (в открытой модели). По мере удаления от наблюдателя площадь «видимой сферы» сначала возрастает от нуля, затем достигает максимума, после чего снова уменьшается, обращаясь в нуль при  $\chi = \eta$  (где  $a(\eta - \chi) = a(0) = 0$ ). Это значит, что сечение световым конусом не только конечно, но и замкнуто. Она как бы замыкается в точке «противоположной» наблюдателю. Ее можно увидеть при наблюдении в любом направлении в пространстве. В этой точке  $\epsilon \rightarrow \infty$ , так что наблюдению доступна, в принципе, материя на всех ступенях ее эволюции.

Полное наблюдаемое количество материи равно в открытой модели

$$M_{obs} = 4\pi \int_0^\eta \mu a^3 \operatorname{sh}^2 \chi d\chi.$$

Подставив  $\mu a^3$  из (429), получим

$$M_{obs} = \frac{3c^2 a_0}{2k} (\operatorname{sh} \eta \operatorname{ch} \eta - \eta). \quad (437)$$

Эта величина неограниченно возрастает при  $\eta \rightarrow \infty$ . В закрытой модели возрастание  $M_{obs}$  ограничено полной массой  $M$ , в этом случае получим

$$M_{obs} = \frac{M}{\pi} (\eta - \sin \eta \cos \eta). \quad (438)$$

По мере возрастания  $\eta$  от 0 до  $\pi$  эта величина возрастает от 0 до  $M$ , в дальнейшем же увеличение  $M_{obs}$  фиктивно и соответствует тому, что в «сжимающемся» мире удаленные тела наблюдались бы дважды (по свету, «обошедшему пространство» с двух сторон).

Рассмотрим изменение частоты света при его распространении в изотропном пространстве. Пусть в некоторой точке пространства происходят два события, разделенные промежутком времени  $dt = a(\eta) d\eta/c$ . Если в моменты этих событий отправляются световые сигналы, наблюдаемые в другой точке пространства, то между моментами их наблюдения пройдет промежуток времени тому же изменению  $d\eta$  величины  $\eta$ , что и в точке отправления. Это следует из уравнения (435), согласно которому изменение величины  $\eta$  за время распространения луча света из одной точки в другую зависит только от разности координат  $\chi$  этих точек. Но поскольку за время распространения сигнала радиус кривизны  $a$  изменится, то промежутки времени  $t$  между моментами отправления двух сигналов и моментами их наблюдения будут различными; отношение этих промежутков равно отношению соответствующих значений  $a$ . Отсюда следует, что периоды световых колебаний, измеренные в мировом времени  $t$ , меняются вдоль луча пропорционально  $a$ , таким образом вдоль распространения луча справедливо

$$\omega a = \text{const.} \quad (439)$$

Предположим, что в момент времени  $t(\eta)$  мы наблюдаем свет, испущенный источником на расстоянии, соответствующему  $\chi$ . Момент его испускания согласно (435)  $t(\eta - \chi)$ . Если  $\omega_0$  частота света в момент его испускания, то наблюдаемая частота

$$\omega = \omega_0 \frac{a(\eta - \chi)}{a(\eta)}. \quad (440)$$

При монотонно возрастающей  $a(\eta)$  имеем  $\omega < \omega_0$ , т.е. происходит уменьшение частоты света. Это явление *красного смещения* представляет собой, по существу, эффект Доплера от взаимного «разбегания» галактик.

Величина красного смещения  $\omega/\omega_0$  зависит от расстояния, на котором находится источник. При не слишком больших расстояниях можно разложить  $a(\eta - \chi)$  в ряд по степеням  $\chi$ :

$$\frac{\omega}{\omega_0} = 1 - \chi \frac{a'(\eta)}{a(\eta)},$$

штрих означает дифференцирование по  $\eta$ . Произведение  $\chi a(\eta)$  является не чем иным, как расстоянием  $l$  до наблюдаемого источника. «Радиальный» элемент длины  $dl = a d\chi$ ; при интегрировании этого соотношения возникает вопрос, каким способом физического наблюдения определяется расстояние, в зависимости от этого надо брать значения  $a$  в разных точках пути интегрирования в разные моменты времени. Но при «малых расстояниях» можно пренебречь изменением  $a$  вдоль пути интегрирования и писать просто  $l = a\chi$ . В результате находим для относительной величины изменения

частоты:

$$z = \frac{\omega_0 - \omega}{\omega_0} = \frac{H}{c}l, \quad (441)$$

где введено обозначение

$$H = c \frac{a'(\eta)}{a^2(\eta)} = \frac{1}{a} \frac{da}{dt} \quad (442)$$

для так называемой *постоянной Хаббла*. Эта величина не зависит при заданном моменте от  $l$ . Если рассматривать красное смещение как результат эффекта Доплера, можно определить скорости  $v$  галактик, с которыми они удаляются от наблюдателя. Написав  $z = v/c$  и сравнив с (441), находим

$$v = Hl \quad (443)$$

Принятое в настоящее время значение<sup>16</sup>

$$H \approx 70.1 \pm 1.3 \text{ км/с} \cdot \text{Мпк}^{-1}, \quad \frac{1}{H} \quad (444)$$

Подставляя в уравнение (426)  $\varepsilon = \mu c^2$  и  $H = ca'/a^2$ , получим для открытой модели

$$\frac{c^2}{a^2} = H^2 - \frac{8\pi k}{3}\mu. \quad (445)$$

Комбинируя это уравнение с равенством

$$H = \frac{c \operatorname{sh} \eta}{a_0 (\operatorname{ch} \eta - 1)^2} = \frac{c}{a} \operatorname{cth} \frac{\eta}{2},$$

получим

$$\operatorname{ch} \frac{\eta}{2} = H \sqrt{\frac{3}{8\pi k \mu}}. \quad (446)$$

Для закрытой модели аналогично

$$\frac{c^2}{a^2} = \frac{8\pi k}{3}\mu - H^2, \quad (447)$$

$$\cos \frac{\eta}{2} = H \sqrt{\frac{3}{8\pi k \mu}}. \quad (448)$$

Сравнивая (445) и (447), мы видим, что кривизна пространства отрицательна или положительна, смотря по тому, отрицательна или положительна разность  $8\pi k \mu / 3 - H^2$ . Эта разность обращается при  $\mu = \mu_k$ , где  $\mu_k$  – *критическая плотность*:

$$\mu_k = \frac{3H^2}{8\pi k}. \quad (449)$$

С учетом значения постоянной Хаббла получим  $\mu_k \approx 1 \cdot 10^{-29} \text{ г/см}^3$ .

---

<sup>16</sup>Данные 2008 г